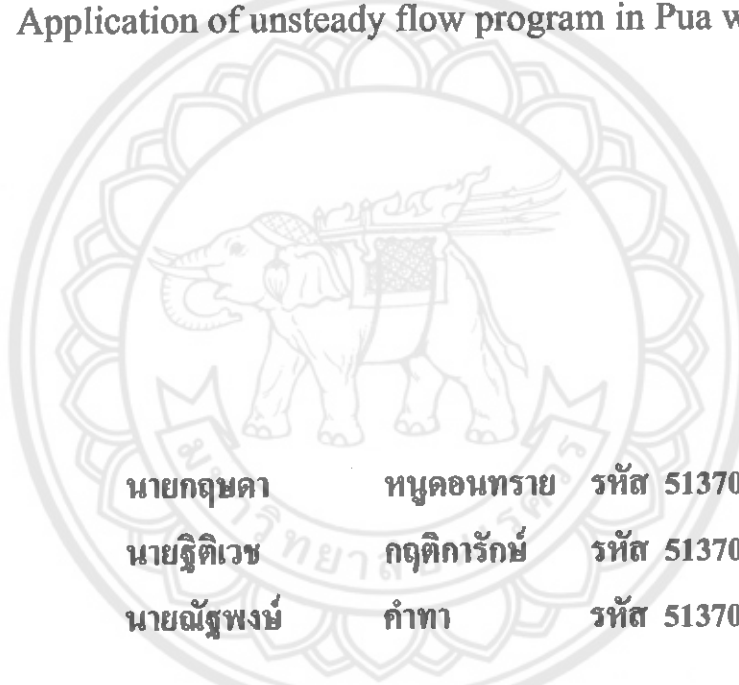




การประยุกต์โปรแกรมการไหลไม่คงตัวสำหรับลุ่มน้ำแม่น้ำป้าและลำน้ำสาขา

Application of unsteady flow program in Pua watershed



นายกฤษดา หมุดอนนทราย รหัส 51370027
นายธีติเวช กฤติการักษ์ รหัส 51370164
นายณัฐพงษ์ คำทา รหัส 51370171

| | | |
|---------------------------|----------------|--------------|
| ห้องสมุดคณะวิศวกรรมศาสตร์ | วันที่รับ..... | ๑๐ ก.ค. ๒๕๕๕ |
| เลขทะเบียน..... | ๑๖๐๗๓๘๙๒ | |
| เลขเรียกหนังสือ..... | ผร. | |
| มหาวิทยาลัยแม่ฟ้าฯ ๑๒๘๔ | | |

๒๕๕๔

ปริญญาอินพันธ์นี้เป็นส่วนหนึ่งของการศึกษาหลักสูตรปริญญาวิศวกรรมศาสตรบัณฑิต

สาขาวิชาชีวกรรมโยธา ภาควิชาชีวกรรมโยธา

คณะวิศวกรรมศาสตร์ มหาวิทยาลัยแม่ฟ้าฯ

ปีการศึกษา ๒๕๕๔



ใบรับรองปริญญาบัตร

| | | | |
|-------------------|--|---------------|--|
| ชื่อหัวข้อโครงการ | การประยุกต์โปรแกรมการไฟล์ไม่คงตัวสำหรับคุณแม่ป่วยและลูกน้ำสาวา | | |
| ผู้ดำเนินโครงการ | นายกฤชดา หนูคอนทราบ | รหัส 51370027 | |
| | นายธีรวิช กลุติการักษ์ | รหัส 51370164 | |
| | นายณัฐพงษ์ คำทำ | รหัส 51370171 | |
| ที่ปรึกษาโครงการ | รศ.ดร. สมบัติ ชื่นชุกเลิ่น | | |
| สาขาวิชา | วิศวกรรมโยธา | | |
| ภาควิชา | วิศวกรรมโยธา | | |
| ปีการศึกษา | 2554 | | |

คณะวิศวกรรมศาสตร์ มหาวิทยาลัยราชภัฏ อนุมัติให้ปริญญาบัตรนี้เป็นส่วนหนึ่ง
ของการศึกษาตามหลักสูตรวิศวกรรมศาสตรบัณฑิต สาขาวิชาวิศวกรรมโยธา

.....ที่ปรึกษาโครงการ

(รศ.ดร. สมบัติ ชื่นชุกเลิ่น)

.....กรรมการ

(รศ.ดร. สงวน ปีทุมธรรมกุล)

.....กรรมการ

(ผศ.ดร. นิรันดร์ แตะกระโทก)

| | | | |
|--------------------------|--|---------------|--|
| ชื่อหัวข้อโครงการ | การประยุกต์โปรแกรมการไหลไม่คงตัวสำหรับคุณน้ำปีวและลำน้ำสาขา | | |
| ผู้ดำเนินโครงการ | นายกฤษดา หนูดอนทรัพ | รหัส 51370027 | |
| | นายธิติเวช กฤติการักษ์ | รหัส 51370164 | |
| | นายณัฐพงษ์ คำทา | รหัส 51370171 | |
| ที่ปรึกษาโครงการ | รศ.ดร. สมบัติ ชื่นญูกลิน | | |
| สาขาวิชา | วิศวกรรมไอลชา | | |
| ภาควิชา | วิศวกรรมไอลชา | | |
| ปีการศึกษา | 2554 | | |

บทคัดย่อ

โครงการนี้เป็นการศึกษาเกี่ยวกับการใช้โปรแกรมการจำลอง HEC-RAS หาความสัมพันธ์ของระดับน้ำและปริมาณน้ำรายวันในสูญแแม่น้ำปีว เป็นแบบจำลองสำหรับวิเคราะห์ทางค้านชลศาสตร์ในหนึ่งมิติ ประกอบด้วยการจำลองการไหลแบบไม่คงตัว Unsteady Flow

โดยการวิเคราะห์โปรแกรมได้นำผลไปประยุกต์กับลำน้ำปีว กิโลเมตรที่ 19+063.59 ใส่ค่า อัตราการไหลที่คำแนะนำดังนี้ที่ท้ายฝายปีวและจุดบรรจบลำน้ำขวางกับลำน้ำปีว กิโลเมตรที่ 13+234 ส่วนบริเวณปากแม่น้ำปีว ณ จุดบรรจบลำน้ำปีวและแม่น้ำน่าน ได้ใช้ค่าระดับน้ำรายวันแต่ ในการปฏิศึกษามิฉะนั้นข้อมูลระดับน้ำรายวันในคำแนะนำนั้น จึงใช้การเทียบค่าระดับน้ำรายวันจากสถานี N64 บ้านพากวง ตามระยะทาง จากผลการทดสอบได้ค่าสัมประสิทธิ์ความชุกรของแม่น้ำ 0.025 แล้วนำไปค่าสัมประสิทธิ์ดังกล่าวมาประยุกต์กับโปรแกรมเพื่อหาพื้นที่น้ำท่วม ปี พ.ศ. 2537 ข้อมูลน้ำรายวันจากสถานี N50 กิโลเมตรที่ 13+034 ไปประยุกต์ใช้กับปี พ.ศ. 2553 เพื่อหาค่าระดับน้ำและพื้นที่น้ำท่วมได้พื้นที่น้ำท่วม 2.455 ตารางกิโลเมตร สามารถนำไปใช้ประโยชน์ในการกำหนดค่าความสูงของพังก์กันน้ำตามแนวราบทองคลื่น เพื่อป้องกันและบรรเทาภัยทางด้านน้ำ

Project title : Application of unsteady flow program for Pua watershed

Name : Mr.Kritsada Nudonsai

: Mr.Thitivet Krittigarux

: Mr.Nuttapong Kumtha

Project adviser : Mr.Sombat chuenchooklin

Major : Civil Engineering

Department : Civil Engineering

Academic Year : 2011

Abstract

This project is a study about the program of HEC-RAS model finding the relationship between water level and daily rainfall in Pua River. This model is to analyze the hydraulics in one dimension which includes unsteady flow model.

In Analysis process, apply the program at kilometer 19+063.59 in Pua River. We will fill the flow value of upstream in the end of Pua Dam and the confluence of Kwang and Pua River at kilometer 13+234. Whereas, the entrance of Pua River at the confluence of Pua and Nan River will use dairy rainfall data. Unless there is the data of case study, we will compare the daily water level from station N64 BanPhaKwang along distance. The test result show the value of roughness coefficient of Manning is 0.025 and then apply this value to the program for detect flooding area. We apply the daily water data from station N50 at kilometer 13+034 in 2537 A.D to this in 2553 A.D. for seeking the water level and flooding area and get the data of flooding area in 2.455 sq. kilometer. This is useful to determine the level of cut-off wall along river bank for flood prevention and mitigation.

กิตติกรรมประกาศ

โครงการนี้สำเร็จขึ้นมาได้ คณะสูจัดทำด้วยความพยายามอย่างมาก ท่านอาจารย์ สมบัติ ชื่นชูกลีน อาจารย์ที่ปรึกษาโครงการ ที่เคยช่วยเหลือและแนะนำแนวทางการปฏิบัติที่ถูกต้อง ให้กำปรึกษา เพื่อแก้ไขปัญหา และขอขอบพระคุณคณะอาจารย์ ครูช่าง มหาวิทยาลัยนเรศวร ทุกท่าน ที่เคยให้ความรู้ ความหลักวิชาการแก่คณะสูจัดทำโครงการ

สุดท้ายนี้ขอขอบพระคุณบุคลากรที่เคยให้การสนับสนุน ช่วยเหลือ ให้กำปรึกษา ทั้ง ทางด้านการเงิน และค่ายเป็นกำลังใจให้มายได้ตลอด



คณะสูจันนิน โครงการนิเทศกรรม

นายกฤญา หนูคงธรรม

นายธนิติเวช กฤติการรักษ์

นายณัฐพงษ์ คำทา

มีนาคม 2555

สารบัญ

| | หน้า |
|--------------------------------------|-----------|
| ในรับรองปริญญาบัตรนี้ | ก |
| บทคัดย่อภาษาไทย | ข |
| บทคัดย่อภาษาอังกฤษ | ค |
| กิตติกรรมประกาศ | ง |
| สารบัญ | ๑ |
| สารบัญตาราง | ๒ |
| สารบัญรูป | ๓ |
| สารบัญสัญลักษณ์และอักษรย่อ | ๔ |
| | |
| บทที่ 1 บทนำ | ๑ |
| 1.1 ความเป็นมาและความสำคัญของโครงการ | ๑ |
| 1.2 วัตถุประสงค์ของโครงการ | ๑ |
| 1.3 ประโยชน์ที่คาดว่าจะได้รับ | ๒ |
| 1.4 ขอบข่ายงาน | ๒ |
| 1.5 แผนการดำเนินงาน | ๓ |
| 1.6 รายละเอียดงบประมาณตลอดโครงการ | ๓ |
| | |
| บทที่ 2 หลักการและทฤษฎี | ๔ |
| 2.1 การแบ่งชนิดของการให้ผลทางน้ำปีค | ๔ |
| 2.2 การแบ่งชนิดการให้ผลตามตำแหน่ง | ๕ |
| | |
| บทที่ 3 วิธีดำเนินโครงการ | ๒๘ |
| 3.1 ภูมิศาสตร์ | ๒๘ |
| 3.2 วิธีดำเนินงานวิจัย | ๒๘ |
| 3.3 ขั้นตอนการดำเนินงานตามผังงาน | ๒๙ |

สารบัญ (ต่อ)

| | หน้า |
|---|-----------|
| บทที่ 4 ผลการทดลองและวิเคราะห์ | 39 |
| 4.1 ผลการทดลองและวิเคราะห์ | 39 |
| 4.2 ข้อมูลและผลการวิเคราะห์วิจัย | 43 |
| | |
| บทที่ 5 บทสรุปและข้อเสนอแนะ | 66 |
| 5.1 สรุปผล | 66 |
| 5.2 ข้อเสนอแนะ | 66 |
| | |
| เอกสารอ้างอิง | 67 |
| | |
| ภาคผนวก | 68 |



สารบัญตาราง

| ตารางที่ | หน้า |
|---|------|
| 2.1 ชนิดของการไฟด้ในทางน้ำเพื่อความเวลาและตำแหน่ง | 8 |
| 2.2 สัมประสิทธิ์ปร่างตอนม่อ | 18 |
| 2.3 ค่าปรับแก้ต่างๆสำหรับคำนวณสัมประสิทธิ์ความบรุษของ Manning | 19 |
| 3.1 อัตราการไฟรายวันที่กำหนดเป็นเงื่อนไข บริเวณต้นน้ำท้ายฝายปีว กิโลเมตรที่ 19+063.59 | 32 |
| 3.2 อัตราการไฟรายวันที่กำหนดเป็นเงื่อนไข ลำน้ำขว้าง กิโลเมตรที่ 13+324 | 33 |
| 3.3 ระดับน้ำรายวันที่กำหนดเป็นเงื่อนไขบริเวณปากแม่น้ำ จุดบรรจบแม่น้ำน่าน กิโลเมตรที่ 0+000 | 34 |
| 3.4 ระดับน้ำที่สถานี N50 และการสอนเทียบหาสัมประสิทธิ์ค่าความบรุษของแม่น้ำ (ค่า $n = 0.025$) โดยมีค่าไกด์เดียงกับค่าระดับจริงมากที่สุด | 35 |
| 4.1 ระดับน้ำที่สถานี N50 และการสอนเทียบหาสัมประสิทธิ์ค่าความบรุษของแม่น้ำ (สมมติค่า $n = 0.025$) | 40 |
| 4.2 แสดงตำแหน่ง และค่า n ในกิโลเมตรต่างๆ | 45 |
| 5.1 การหาค่าระดับน้ำที่สถานี N64 บ้านนาขวางบริเวณปากแม่น้ำปีว จุดบรรจบแม่น้ำน่าน | 70 |
| 5.2 วันที่น้ำท่วมปี 2553 | 70 |
| 5.3 ค่าอัตราการไฟลุ่งสุด จุดบรรจบลำน้ำปีวและลำน้ำขว้าง | 70 |
| 5.4 ตำแหน่งค่าพิกัดที่เลือก | 114 |
| 5.5 ระดับน้ำที่สถานี N50 และการสอนเทียบหาสัมประสิทธิ์ค่าความบรุษของแม่น้ำ (สมมติค่า $n = 0.035$) | 116 |
| 5.6 ระดับน้ำที่สถานี N50 และการสอนเทียบหาสัมประสิทธิ์ค่าความบรุษของแม่น้ำ (สมมติค่า $n = 0.030$) | 118 |

สารบัญรูป

| รูปที่ | หน้า |
|--|------|
| 3.1 ผังแสดงการดำเนินโครงการ | 29 |
| 3.2 พื้นที่ศึกษา แผนภูมิประเภท จากภาพถ่ายทางอากาศ กรมแผนที่ทหาร อ.ปีว จังหวัดน่าน | 30 |
| 3.3 ภาพถ่ายทางอากาศ Google earth บริเวณแม่น้ำปีว อำเภอปีว จังหวัดน่าน | 30 |
| 3.4 ภาพตัดขวางในแบบจำลอง อุ่มน้ำปีว จังหวัดน่าน | 31 |
| 3.5 ตัวอย่างภาพตัดขวางในแบบจำลองที่ กิโลเมตร 0+000 อุ่มน้ำปีว จังหวัดน่าน | 31 |
| 3.6 หน้าตัดตามยาวแม่น้ำปีว กิโลเมตรที่ 0+000-19+063.59 อุ่มน้ำปีว จังหวัดน่าน | 32 |
| 3.7 กราฟเปรียบเทียบระดับน้ำจากค่าจริงและค่าจำลอง | 37 |
| 4.1 กราฟเปรียบเทียบระดับน้ำจากค่าจริงและค่าจำลอง | 42 |
| 4.2 Main Chanel Distance (km) | 44 |
| 4.3 ผลการจำลองหน้าตัดการไหลที่คิวน้ำในแม่น้ำปีว ณ วันที่มีอัตราการไหลสูงสุด ปี 2553 | 44 |
| 4.4 แสดงภาคตัดขวางสะพานในกิโลเมตรต่างๆ ในลำน้ำปีว | 48 |
| 4.5 แสดงข้อมูลของฝายลำน้ำปีว | 58 |
| 4.6 แสดงภาคตัดขวางของฝายลำน้ำปีว | 59 |
| 4.7 แสดงรูปตัดตามยาวในวันที่มีน้ำมาก วันที่ 8 สิงหาคม 2553 | 61 |
| 4.8 แสดงการเปรียบเทียบลักษณะการกระจายความเร็วตามระยะทางในวันที่ 8 สิงหาคม ลำน้ำปีว | 62 |
| 4.9 ภาพสามมิติ แสดงภาพพื้นที่น้ำท่วมในวันที่ 8 สิงหาคม 2553 ในวันที่มีปริมาณน้ำมากที่สุด | 63 |
| 4.10 ภาพแสดงพื้นที่น้ำท่วมทั้งหมด ปี 2553 ทั้งหมด 8.098 ตารางกิโลเมตร | 65 |

นิยามศัพท์

| | |
|-------------------------|---|
| Q | Volume flow rate คือ อัตราการไหล มีหน่วยเป็น $m^3/\text{วินาที}$ แยกเป็นการไหลคงที่ (Steady flow) คือ การไหลที่มีความลึกของการไหลที่มีหน้าตัดค้านใดค้านหนึ่งไม่มีการเปลี่ยนแปลงในช่วงที่พิจารณาหน้าตัดใดหน้าตัดหนึ่งไม่มีการเปลี่ยนแปลงในช่วงพิจารณา การไหลไม่คงที่ (Unsteady flow) คือ การไหลที่มีความลึกของการไหลที่หน้าตัดใดหน้าตัดหนึ่งมีการเปลี่ยนแปลงในช่วงเวลา |
| v | คือความเร็วในการไหลในทางน้ำ深ปีด มีหน่วยเป็น $m/\text{วินาที}$ |
| g | คือ ความเร่งเนื่องจากแรงโน้มถ่วงของโลก เท่ากับ 9.81 m/vinath^2 |
| D | คือ ความลึกคลาสตอร์ (Hydraulic depth) มีค่าเท่ากับ A/T โคลที่ A คือพื้นที่หน้าตัดการไหล และ T คือ ความกว้างผิวน้ำอิสระบนหน้าตัดการไหล |
| N_R | Reynolds number หมายถึงอัตราส่วนระหว่างแรงเฉือนด้วยแรงเนื่องจากความหนืด |
| R | คือ รัศมีชลศาสตร์ (Hydraulic depth) มีค่าเท่ากับ A/T |
| P | คือ เส้นขอบเปียก (Watted parameter) |
| μ | คือ ความหนืดพลวต (Dynamic viscosity) หรือ สัมประสิทธิ์ความหนืด(Coefficient of viscosity) |
| Z | คือ ระดับห้องน้ำของทางน้ำปีดเหนือระดับอ้างอิง (ฟุต, เมตร) |

นิยามศัพท์(ต่อ)

| | |
|-------|---|
| y | คือ ความลึกของการไหล (Pressure head = p/y) |
| H_L | คือ การสูญเสียพลังงาน(Head loss) ระหว่างหน้าด้ด A หน้าด้ด B |
| S | คือ ความลาดของเส้นพลังงาน |
| L | คือ ระยะระหว่างหน้าด้ด A และหน้าด้ด B |
| C_d | คือ สัมประสิทธิ์การไหลขึ้นอยู่กับเงื่อนไขการไหลขึ้นฝาย |
| L | คือ ความยาวสันฝาย |
| H | คือความสูงของระดับน้ำเหนือสันฝาย |
| V_o | คือ ความเร็วในการไหลในทางน้ำเปิดทางค้านเหนือสันฝาย |
| n | คือ สัมประสิทธิ์ Manning |
| W.S.P | Water surface profile คือ ค่าระดับผิวน้ำที่วัดได้หรือคำนวณได้ในทางน้ำเป็นที่พิจารณา |

บทที่ 1

บทนำ

1.1 ความเป็นมาและความสำคัญของโครงการ

แม่น้ำปัวและลำน้ำสาขา มีค่าน้ำเดินทางน้ำในเทือกเขาดอยอุคต้า ทางด้านทิศตะวันออกของจังหวัดปัว ซึ่งมีสภาพพื้นที่เป็นเทือกเขาสูงสลับซับซ้อน มีป่าที่มีความอุดมสมบูรณ์ที่มีทั้งพืชพรรณและสัตว์ป่าที่มีความสำคัญต่อระบบนิเวศน์ ในแต่ละปีปริมาณน้ำฝนที่ตกมีปริมาณน้ำฝนแตกต่างกันออกไปขึ้นอยู่กับสภาพอากาศในแต่ละปี จึงทำให้ประสบปัญหาอุทกภัย มาก่อนอื่น แตกต่างกันไป สร้างความเสียหายต่อชีวิตและทรัพย์สินของประชาชนเป็นอย่างมาก และเพื่อการกักเก็บน้ำในปริมาณที่สูงเพื่อนำมาใช้ประโยชน์ในฤดูแล้ง จึงนำปริมาณน้ำฝนราชวันของปีที่มากสุดนำมาใช้การแก้ไขปัญหา เพื่อจะได้ทราบปริมาณน้ำและหารือกักเก็บน้ำเพื่อใช้ประโยชน์ในการอุปโภคบริโภค อีกทั้งยังใช้เพื่อการเกษตรซึ่งเป็นอาชีพหลักของคนในประเทศไทย อีกทั้งยังแก้ไขปัญหา หรือハウซิป้องกันการเกิดอุทกภัย เพื่อลดความเสียหายที่เกิดขึ้นต่อชีวิตและทรัพย์สินของประชาชน อีกทั้งยังก่อให้เกิดประโยชน์ในด้านการบริหารจัดการน้ำ ในด้านของวิธีแก้ไขปัญหาจึงนำไปโปรแกรม HEC-RAS มาใช้ในการจำลองและออกแบบการไหลของน้ำในลำน้ำ แบบการไหลไม่คงตัว (Unsteady flow)

1.2 วัตถุประสงค์

1.2.1 เพื่อวิเคราะห์ผิวน้ำในลำน้ำปัวด้วยการใช้โปรแกรม HEC-RAS

1.2.2 เพื่อทราบถึงแบบจำลองการไหลของน้ำใน แม่น้ำปัว

1.2.3 เพื่อทราบถึงลักษณะของผิวน้ำปัว และพื้นที่น้ำท่วมบริเวณฝั่งซ้ายและฝั่งขวาของผิวน้ำ

1.2.4 เพื่อรับรู้เรื่องมูลและศึกษาลักษณะของผิวน้ำ และรูปตัดต่างๆ ของ แม่น้ำปัว

1.3 ผลที่คาดว่าจะได้รับ

1.3.1 สามารถใช้โปรแกรม HEC-RAS ในการจำลองการไหลแบบไม่คงตัว

1.3.2 สามารถใช้โปรแกรม HEC-RAS เข้ามาร่วมในงานชลประทาน

1.3.3 ทราบถึงลักษณะพิเศษน้ำและพื้นที่น้ำท่วมนริเวณอุบลฯ เม่น้ำปัว รวมทั้งพื้นที่หน้าดดต่างๆ ของลำน้ำปัวและลำน้ำสาขา

1.4 ขอบข่ายงาน

1.4.1 กรอกข้อมูลที่ได้ไปเก็บรวบรวมมาของเม่น้ำปัวและลำน้ำสาขา ลงในโปรแกรมโภบายศิริ ข้อมูลน้ำ และพิกัดจุดต่างๆ จากการค้นคว้าข้อมูลและศึกษาแผนที่ เพื่อหารูปตัดของลำน้ำปัวและลำน้ำสาขา เพื่อประเมินพื้นที่น้ำท่วมทั้งฝั่งซ้ายและฝั่งขวาของเม่น้ำปัว โดยใช้โปรแกรม HEC-RAS ในการทำแบบจำลอง



1.5 แผนการดำเนินงาน

| กิจกรรม | พฤศจิกายน | ธันวาคม | มกราคม | กุมภาพันธ์ | มีนาคม |
|---|-----------|---------|--------|------------|--------|
| 1.การนำเสนอโครงการ | ↔ | | | | |
| 2.ตรวจ/ คัดเลือกปริมาณ น้ำฝนรายวัน | ↔ | | | | |
| 3.ตรวจสอบ ข้อมูลจาก สำนักงานที่ เกี่ยวข้อง | | ↔ | | | |
| 4.วิเคราะห์ ข้อมูล/ปัญหาที่ เกิดขึ้น | | | ↔ | | |
| 5.เพียนโครงการ | | | | ↔ | |

1.6 รายละเอียดงบประมาณตลอดโครงการ

- | | |
|-----------------------|---------------------------|
| 1. จัดทำรูปเล่ม | 1,000 บาท |
| 2. ค่าเดินทาง | 1,000 บาท |
| 3. อุปกรณ์คอมพิวเตอร์ | 1,000 บาท |
| รวมเป็นเงิน | 3,000 บาท (สามพันบาทถ้วน) |

บทที่ 2

หลักการและทฤษฎีเบื้องต้น

โครงการนี้เป็นการศึกษาด้านชลศาสตร์ของการไหลแบบไม่คงตัว โดยใช้สูญเสียป่า อำเภอป่า จังหวัดน่าน เป็นกรณีศึกษา โดยใช้ข้อมูลปริมาณน้ำฝนรายวัน ในปีที่มากสุด เพื่อหาค่าการไหล ที่ไม่มีข้อมูลน้ำรายวัน ในช่วงเวลาที่เกิดน้ำหลัก โดยการใช้โปรแกรม HEC-RAS Version 4.1 ใน การจำลองรูปแบบการไหลของแม่น้ำป่าและลำน้ำสาขา ด้วยการวิเคราะห์การไหลหลักและชก ศาสตร์หน้าตัดการไหลของน้ำในแม่น้ำ และบนพื้นที่น้ำท่วมลึกลง โดยแบบจำลอง HEC-RAS ซึ่ง พัฒนาโดยศูนย์วิศวกรรมอุทกวิทยา สหพันธ์วิศวกรแห่งสหรัฐอเมริกา (Hydrologic Engineering Center: HEC, US Army Corps of Engineers) ได้นำมาใช้ในการจำลองการไหลของน้ำและการไหล หลักในลำแม่น้ำป่า เพื่อประกอบการวางแผนบรรเทาปัญหาอุทกภัยในท้องที่อำเภอป่า จังหวัด น่าน โดยการจำลองการไหลแบบไม่คงตัวอีกนิด ด้วยข้อมูลสภาพน้ำจากสถานีที่มีอยู่ แล้วนำผลที่ได้ จากการจำลองมาวิเคราะห์แผนยุทธศาสตร์ การจัดการบรรเทาปัญหาอุทกภัยในพื้นที่ดังกล่าว ที่มัก ประสบปัญหาอุทกภัยในช่วงฤดูน้ำหลักเป็นประจำ เนื่องจากยังไม่มีแหล่งเก็บน้ำที่พอเพียงทาง ตอนบนของพื้นที่สูญเสีย ในการศึกษาได้นำการสังเคราะห์เส้นขั้นความสูงของพื้นที่จากการแปล ภาพถ่ายทางอากาศและจำแนกการใช้ประโยชน์ที่ดินจากข้อมูลความเที่ยบราบจะสูง

2.1 การแบ่งชนิดของการไหลทางน้ำเปิด

การไหลในทางน้ำเปิดสามารถแบ่งได้หลายวิธี ได้แบ่งการไหลในทางน้ำเปิดตามการเปลี่ยนแปลงตามความลึกของการไหล ซึ่งเรียกว่ากับเวลา (Time) และตำแหน่ง (Space) ดังนี้ คือ

การแบ่งชนิดการไหลตามเวลา (Classification with respect to time) สามารถแบ่งออกได้ 2 ชนิดคือ

2.1.1. **การไหลคงที่ (Steady flow)** คือ การไหลที่มีความลึกของการไหลที่หน้าตัดคงที่ ตลอดน้ำ ไม่มีการเปลี่ยนแปลงในช่วงที่พิจารณา

2.1.2. **การไหลไม่คงที่ (Unsteady flow)** คือ การไหลที่มีความลึกของการไหลที่หน้าตัดได หน้าตัดหนึ่ง มีการเปลี่ยนแปลงในช่วงเวลาที่พิจารณา

2.2 การแบ่งชนิดการไหลตามตำแหน่ง (Classification with respect to space)

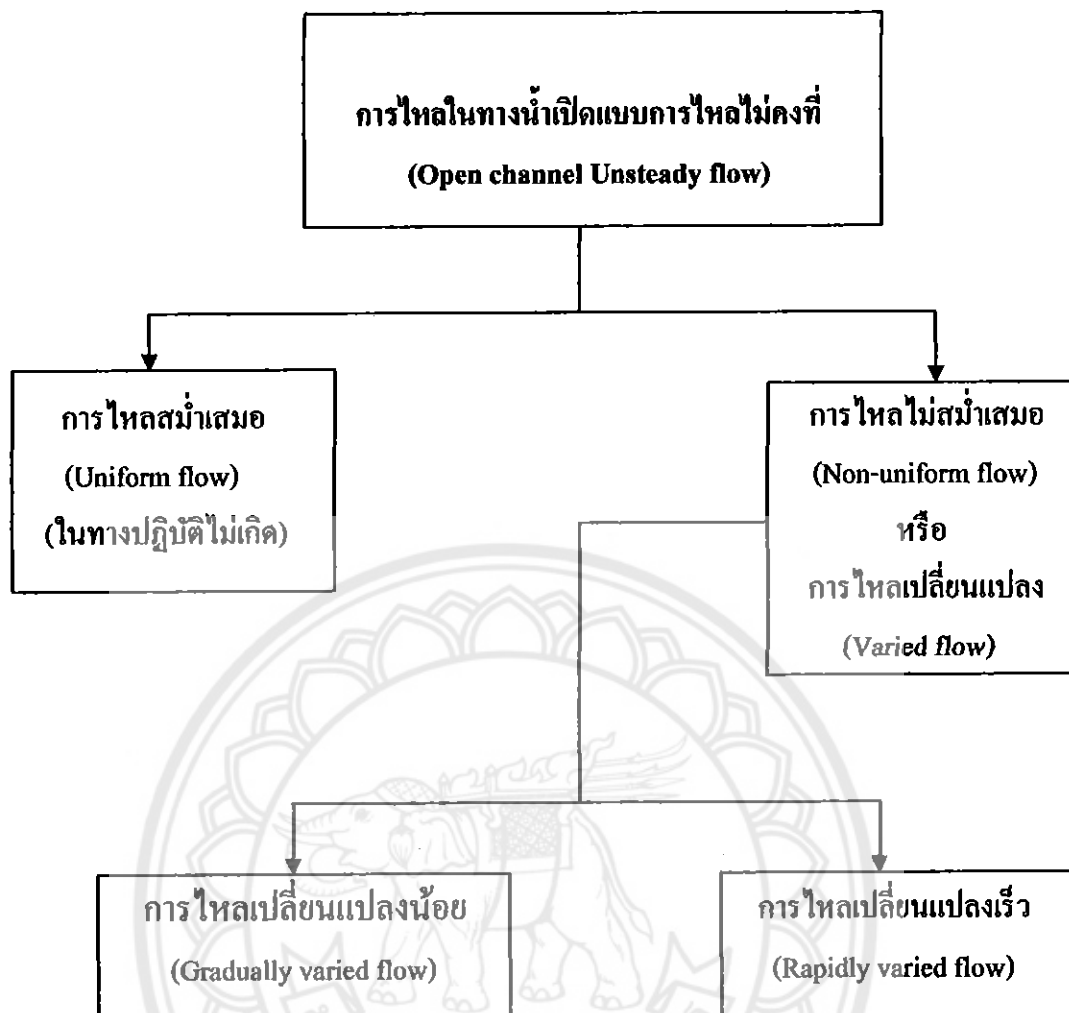
สามารถแบ่งได้เป็น 2 ชนิดคือ

2.2.1. การไหลแบบสม่ำเสมอ (Uniform flow) คือ การไหลที่มีความลึกของการไหลเท่ากันตลอดความยาวของทางน้ำ เปิด ซึ่งการไหลสม่ำเสมอจะเป็นการไหลคงที่หรือไม่คงที่นั้น ขึ้นอยู่กับว่าความลึกของการไหลมีความเปลี่ยนแปลงตามเวลาด้วยหรือไม่ โดยในทางปฏิบัติแล้ว การไหลสม่ำเสมอแบบไม่คงที่ (Uniform unsteady flow) จะไม่เกิดขึ้น

2.2.2. การไหลไม่สม่ำเสมอ (Non-uniform flow) คือ การไหลเปลี่ยนแปลง (Varied flow) คือ การไหลที่มีความลึกของการไหลเปลี่ยนแปลงตามแนวความยาวของคานน้ำเปิด ซึ่งเกิดขึ้นได้ทั้งกรณีที่เป็นการไหลคงที่และไม่คงที่ โดยมักจะเกิดขึ้นทั่วไปในทางน้ำเปิดธรรมชาติ การไหลไม่สม่ำเสมอขึ้นสามารถแบ่งออกได้เป็น 2 ชนิดคือ

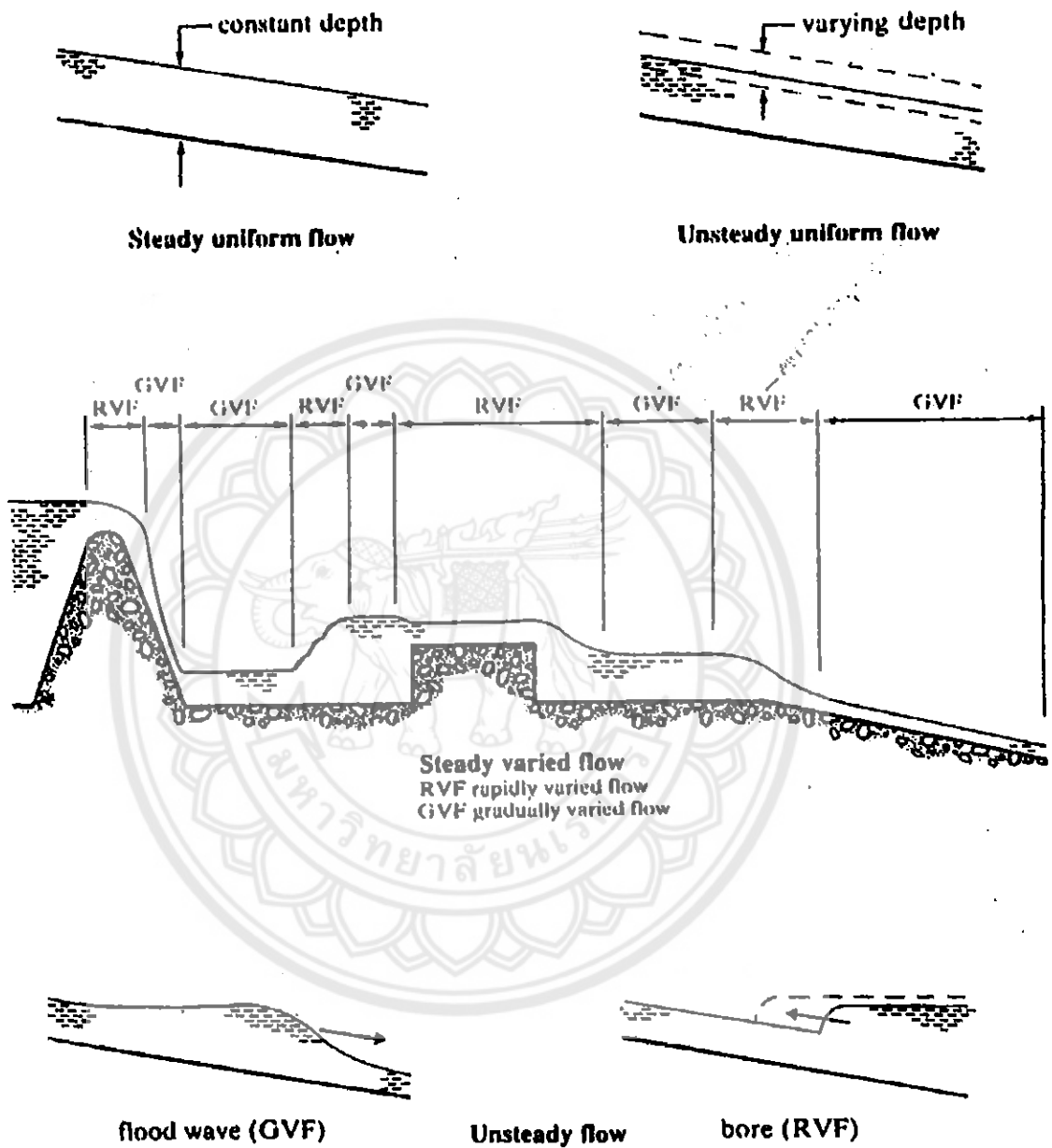
2.2.2.1) การไหลเปลี่ยนแปลงช้าๆ (Gradually varied flow, GVF) คือ การไหลที่มีความลึกของกระแสน้ำค่อนข้างเปลี่ยนแปลงตามระยะทาง ซึ่งวิเคราะห์ การไหลจะอาศัยสมการพลังงาน (Energy equation) และสมการการเสียดทาน (Frictional resistance equation)

2.2.2.2) การไหลแบบเปลี่ยนแปลงเร็ว (Rapidly varied flow, RVF) คือ การไหลที่มีการไหลของกระแสน้ำเปลี่ยนแปลงอย่างรวดเร็วตามระยะทาง เช่น การไหลจากสันฝายน้ำล้น การเกิดน้ำกระโดด (Hydraulic jump) และการเกิดน้ำเชี่ยวข้อน (bore) เป็นต้นซึ่งการวิเคราะห์การไหลจะต้องอาศัยสมการพลังงาน (Energy equation) และสมการโมเมนตัม (Momentum equation) เป็นหลักในการวิเคราะห์ โดยสรุปแล้ว การไหลในทางน้ำเปิดสามารถแบ่งได้ตามเวลา และ ตำแหน่ง โดยสามารถเขียนแผนผังการแบ่งชนิดการไหลในทางน้ำเปิดได้ดังรูปที่ 2.1 โดยพิจารณาเป็นพังก์ชันอนุพันธ์เทียบกับเวลา (t) และเทียบกับตำแหน่งหรือระยะทาง (x) ได้ดังตารางที่ 2.1 และมีตัวอย่างที่ 2.1 และมีตัวอย่างภาพชนิดของ การไหลในทางน้ำเปิดดังรูปที่ 2.2



รูปที่ 2.1 แผนผังการแบ่งชนิดของการไหลในทางน้ำเปิดตามเวลาและตำแหน่ง

รูปที่ 2.2 ตัวอย่างชนิดของการไหลในทางน้ำเปิด

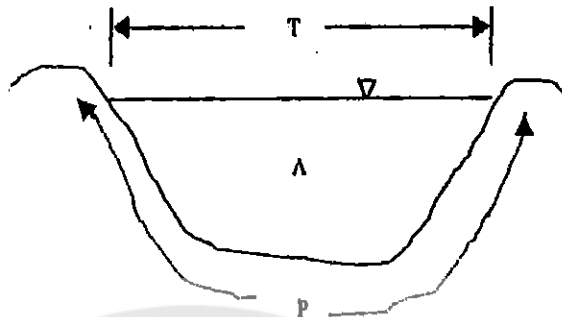


ตารางที่ 2.1 ชนิดของการไหลในทางน้ำเป็นตามเวลาและตำแหน่ง

| ชนิดของการไหล | สมการอนุพันธ์ |
|--|---------------------------------------|
| 2. การไหลไม่คงที่ (Unsteady flow) | $\frac{dy}{dt}(y, Q, V \dots) \neq 0$ |
| 2.1. การไหลไม่คงที่สม่ำเสมอ (Uniform unsteady flow) | $\frac{dy}{dx} = 0$ |
| 2.2. การไหลไม่คงที่เปลี่ยนแปลงน้อย (Gradually varied unsteady flow) | $\frac{dy}{dx} \approx 0$ |
| 2.3. การไหลไม่คงที่เปลี่ยนแปลงเร็ว (Rapidly varied unsteady flow) | $\frac{dy}{dx} \gg 0$ |

หมายเหตุ y คือ ความลึกของการไหล, Q คือ อัตราการไหล และ V คือ ความเร็วของการไหล คุณสมบัติพื้นฐานของการไหลในทางน้ำเป็น

พิจารณาหน้าตัดการไหลของทางน้ำเปิดครุปตัดใจๆ ดังรูปที่ 2.3



รูปที่ 2.3 หน้าตัดการไหล

ตัวแปรที่เกี่ยวข้องกับคุณสมบัติพื้นฐานของการไหลในทางน้ำเปิดประกอบด้วย อัตราการไหล(Q), ความลึกของการไหล (y), ความกว้างของผิวน้ำ (T), และเส้นขอบเปียก (Wetted parameter : P)

ซึ่งสามารถวิเคราะห์คุณสมบัติพื้นฐานของการไหลในทางน้ำเปิดได้ดังนี้

$$(1.) \text{ ความเร็วในการไหล (ความเร็วเฉลี่ย) } \quad V = \frac{Q}{A} \quad (2.1)$$

$$(2.) \text{ รัศมีชลศาสตร์ (hydraulic radius) } \quad R = \frac{dy}{dx} \quad (2.2)$$

$$(3.) \text{ ความลึกชลศาสตร์ (Hydraulic depth) } \quad D = \frac{dy}{dx} \quad (2.3)$$

$$(4.) \text{ ปัจจัยหน้าตัดสำหรับการไหลวิกฤติ } \quad Z = A \sqrt{D} \quad (2.4)$$

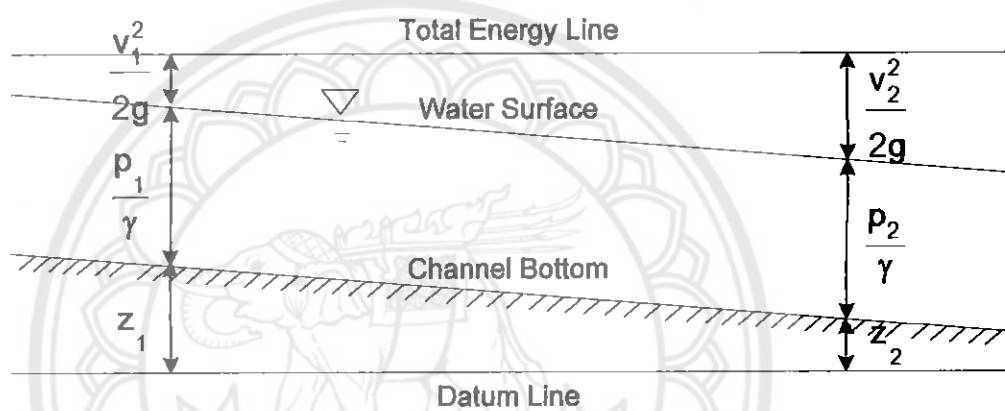
(Section factor for critical flow)

$$(5.) \text{ ปัจจัยหน้าตัดสำหรับการไหลสม่ำเสมอ } \quad U = AR^{2/3} \quad (2.5)$$

(Section factor for uniform flow)

สมการพลังงานของการไหลในทางน้ำเปิด

เนื่องจากการไหลในทางน้ำเปิด เป็นการไหลของการไหลจากบริเวณที่มีพลังงานสูงไปสู่บริเวณที่มีพลังงานต่ำ ซึ่งลักษณะของการไหลจะเกิดแรงเสียดทานระหว่างของไหลกับผนังทางน้ำเปิด และแรงเสียดทานระหว่างอนุภาคของของไหลที่เกิดการสูญเสียพลังงาน(Head loss, h_L) ในช่วงระบบทางการไหลที่พิจารณาเข่นลักษณะการไหลในทางน้ำเปิดทั่วไประหว่างหน้าตัด A และหน้าตัด B ดังรูปที่ 2.4



รูปที่ 2.4 การไหลในทางน้ำเปิดทั่วไป

พิจารณากรุ๊ปที่ 2.4 สามารถเขียนสมการพลังงานระหว่างหน้าตัด A และหน้าตัด B ได้ดังนี้

$$Z_A + y_A + \frac{V^2}{2g} = Z_B + y_B + \frac{V^2}{2g} + h_L \quad (2.6)$$

เมื่อ Z คือ ระดับห้องน้ำของทางน้ำเปิดหนึ่งประดับอ้างอิง (ft ,m)

y คือ ความลึกของการไหล หรือความดัน (Pressure head = P/y)

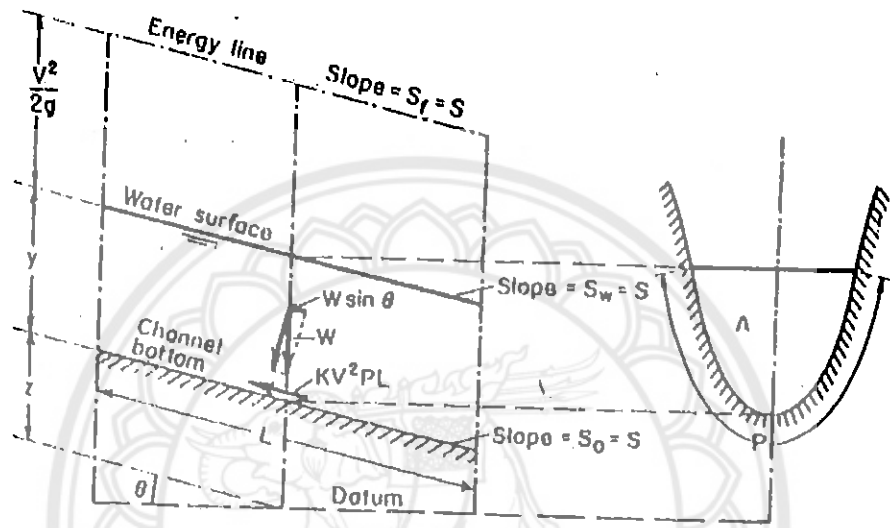
V คือ ความเร็วเฉลี่ยของการไหล (ft/s, m/s)

และ h_L คือ การสูญเสียพลังงาน (Head loss) ระหว่างหน้าตัด A และหน้า

ตัด B (ft-lb/lb , N-m/N) หรือ (ft ,m)

การไหลสม่ำเสมอ (Uniform flow)

การไหลสม่ำเสมอ (Uniform flow) หรือการไหลปกติ (Normal flow) คือการไหลที่เกิดขึ้นบนทางน้ำเปิดคงรูป(Prismatic channel) หรือทางน้ำที่มีหน้าตัดคงที่ตลอดการไหลโดยมีความถี่เท่ากันในช่วงการไหลที่พิจารณาดังรูปที่ 2.5



รูปที่ 2.5 การไหลสม่ำเสมอในทางน้ำเปิด

จากรูปจะเห็นได้ว่าการไหลสม่ำเสมอ มีลักษณะที่สำคัญ 2 ประการ คือ

- ความถี่ พื้นที่หน้าตัด ความเร็วและอัตราการไหลทุกๆหน้าตัดของทางน้ำเปิดจะต้องคงที่
- ความลาดของเส้นระดับพลังงาน (Energy grade line, H.G.L.) ความลาดของเส้นระดับชลศาสตร์ หรือเส้นระดับผิวน้ำ (Hydraulic grade line, H.G.L.) และความลาดของน้ำ จะต้อง协同กันเท่ากันทำให้มีความลาดเท่ากัน หรือ $S_f = S_w = S_0 = S$

สมการการไหลสมำเสมอ

ในการไหลสมำเสมอจะมี $y_A = y_B$ และ $V_A = V_B$ ดังนั้น
จากสมการที่ (2.6) จะมี

$$\text{การสูญเสียพลังงาน } h_L = Z_A - Z_B \\ = SL \quad (2.7)$$

เมื่อ S คือ ความลาดของสันระดับพลังงาน

L คือ ระยะทางระหว่างหน้าตัด A และหน้าตัด B

สูตรของ Manning ในปี 1889 Robert Manning วิศวกรชาวไอริส ได้หาความสัมพันธ์
ระหว่างสัมประสิทธิ์ของ Chezy และสัมประสิทธิ์ความชุบของ Manning กับรัศมีคลุมศร ซึ่ง
เป็นที่นิยมใช้กันอย่างแพร่หลายดังนี้

$$\text{ระบบหน่วยอังกฤษ : } C = \frac{1.94}{n} R^{1/6} \quad (2.8)$$

$$\text{ระบบหน่วยเมตร SI : } C = \frac{1}{n} R^{1/6} \quad (2.9)$$

เมื่อแทนค่า C จากสมการที่ 2.11 และสมการที่ 2.12 ในสมการที่ 2.8 จะได้สมการของ
Manning สำหรับ คำนวณความเร็วของการไหลในทางน้ำปิดดังนี้

$$\text{ระบบหน่วยอังกฤษ: } V = \frac{1.49}{n} R^{2/3} S^{1/2} \quad (2.10)$$

$$\text{ระบบหน่วย SI : } V = \frac{1}{n} R^{2/3} S^{1/2} \quad (2.11)$$

จากสมการที่ 2.10 และสมการที่ 2.11 สามารถหาอัตราการไหลในทางน้ำปิดได้ดังนี้

$$\text{หน่วยอังกฤษ : } Q = \frac{1.49}{n} A R^{2/3} S^{1/2} \quad (2.12)$$

$$\text{ระบบหน่วย SI: } Q = \frac{1}{n} A R^{2/3} S^{1/2} \quad (2.13)$$

ในส่วนของสัมประสิทธิ์ความขุรุระ Manning (n) สามารถได้จากการทดลองหรือทดสอบจากการวัดตัวแปรต่างๆ ซึ่งในกรณีของการไหลแบบสม่ำเสมอจะต้องวัดค่าต่างๆ ดังนี้

1. อัตราการ ไหล (Q) โดยการใช้เครื่องวัดความเร็วของกระแสน้ำ (Current meter) ที่หน้าตัดบ่อบำบัดทางน้ำเปิด ($Q=AV$)

2. พื้นที่หน้าตัด (A) โดยใช้เทป ไม้ระดับ ประกอบกับเครื่องมือวัดความลึกของน้ำโดยอาศัยคลื่นสะท้อน (echosounding) (ด้านมี) จากนั้นนำผลที่ได้คำนวณในกระดาษกราฟแล้วใช้เครื่องวัดพื้นที่ (planimeter) หาขนาดพื้นที่หน้าตัดได้ หาขนาดพื้นที่หน้าตัดได้

3. เส้นขอบเปียก (P) สามารถ สามารถได้จากการใช้เครื่องมือวัดระยะทาง วัดเส้นขอบเปียก ให้จากหน้าตัดทางน้ำเปิด

4. ความลาด (S) หาหากได้จากการใช้กล้องระดับประกอบกับเทปวัดระยะทางเมื่อวัดตัวแปรต่างๆ ทั้ง 4 ตัวแปรที่กล่าวมาแล้ว จะสามารถคำนวณหาสัมประสิทธิ์ความขุรุระของทางน้ำเปิดได้จากสมการที่ 2.12 หรือสมการที่ 2.13 แล้วแต่ว่าข้อมูลที่วัดจริงเป็นระบบหน่วยอะไร และในกรณีที่ไม่มีการวัดจริงในสถานที่ ก็มีข้อแนะนำในการกำหนดสัมประสิทธิ์ความขุรุระของทางน้ำเปิด ดังตารางที่ 2.3 และตารางที่ 2.4 โดยมีวิธีการเลือกใช้ค่าสัมประสิทธิ์ความขุรุระ n ที่เหมาะสม ซึ่งจะต้องอาศัยประสบการณ์และการตัดสินใจ (judgement) จากองค์ประกอบต่างๆ (factors) ที่สำคัญดังนี้ 4.1 ความขุรุระของผิวน้ำทางน้ำเปิด (surface roughness) หมายถึงขนาดและรูปร่าง ของวัสดุ ที่เป็นผิวทางน้ำเปิด ถ้าวัสดุเป็นเม็ดละเอียบ (fine grain) จะมีค่า n ต่ำในขณะที่เป็นวัสดุเม็ดใหญ่(coarse grain) มีค่า n สูง

4.2 พืชปักถุน (vegetation) หมายถึงการที่พืชเจริญเติบโตในทางน้ำเปิด เช่น มีหญ้าขึ้นหรือพักบนชวาวอบ เป็นต้น ลักษณะนี้จะทำให้ค่า n มากขึ้น เพราะช่วงทางน้ำ ทำให้ลดพื้นที่หน้าตัด การไหลซึ่งผลของการมีพืชปักถุนต่อสัมประสิทธิ์ความขุรุระจะมากหรือน้อยขึ้นอยู่กับความสูง ความหนาแน่น และชนิดของพืช เป็นต้น

4.3 ความผันแปรและความคงคีบของทางน้ำเปิด (channel irregularities and channel alignment) คือ ความผันแปรของทางน้ำเปิดอันเนื่องมาจากการเปลี่ยนของรูปร่าง หน้าตัดและขนาดตามความยาวของทางน้ำเปิด ตลอดจนความคงคีบของทางน้ำเปิด ถ้ามีการเปลี่ยนแปลงมากจะทำให้สัมประสิทธิ์ความขุรุระมากตามไปด้วย

4.4 การกัดเซาะ และการตกตะกอน (scouring and silting) ซึ่งทางน้ำเปิดจะถูกกัดเซาะโดยกระแสน้ำมากก็เท่าเป็นการเพิ่มความขุรุระ ของผนังคลอง ทำให้สัมประสิทธิ์ความขุรุระของพื้นผิวนากขึ้น ในทางตรงข้าม หากมีการตกตะกอนของวัสดุที่มีความละเอียดกว่าผิวทางน้ำเปิดจะ

ช่วงลดความชุบระของพื้นผิว ทำให้สภาพการไหลสะคอกยิ่งขึ้น ดังนั้น สัมประสิทธิ์ความชุบรรณนี้แนวโน้มน้อดลง

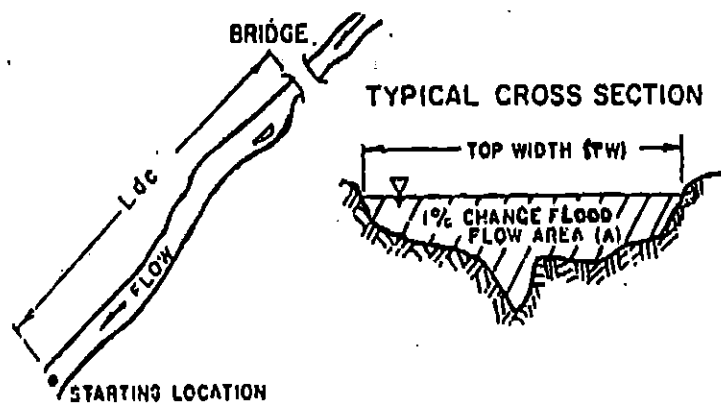
4.5 สิ่งกีดขวางทางน้ำ (obstruction) เช่น ตอม่อสะพาน การรูกล้าของสิ่งก่อสร้างต่างๆ เข้าไปในถุคลองหรือแม่น้ำต่างๆ จะทำให้น้ำไหลได้ลำบากยิ่งขึ้นทำให้ค่าสัมประสิทธิ์ความชุบรรณมากขึ้น ทั้งนี้ขึ้นอยู่กับชนิด ขนาด รูปร่าง จำนวน และการเรียงตัวของสิ่งกีดขวางต่างๆ เป็นต้น

4.6 ความลึกของการไหล และอัตราการไหล (stage and discharge) โดยปกติค่า n ในทางน้ำ เปิดทั่วๆ ไปจะมีค่า n ลดลงเมื่อมีความลึกมากขึ้น หรือมีอัตราการไหลเพิ่มขึ้น เพราะในขณะที่มีน้ำน้อยในทางน้ำเปิด ในส่วนของปริมาตรน้ำ จะมีการสัมผัสถกับผนังทางน้ำเปิดคิดเป็นสัดส่วนกับปริมาณน้ำที่หนาตื้นแล้ว เมื่อน้ำน้อยจะมีสัดส่วนการสัมผัสนั้นมากกว่าเมื่อมีผลทำให้ค่า n ในน้ำน้อยมีแนวโน้มที่สูงกว่าในน้ำมาก แต่ถ้าไม่สมอไปทุกรถ ดังเช่น ลักษณะลึกน้ำมากขึ้น แล้วไปพบหรือทวนคลื่นที่มีความชุบรรณมากก็มีผลที่มีความชุบรรณมากก็มีผลทำให้ค่า n สูงขึ้นได้

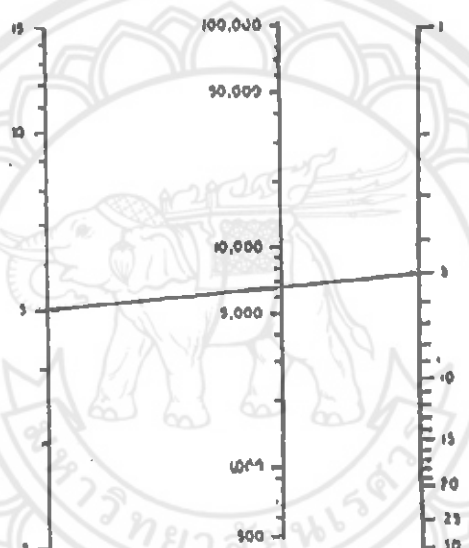
สัมประสิทธิ์ความชุบรรณ และสัมประสิทธิ์การสูญเสียพลังงานอื่นๆ

การสูญเสียมีอยู่ 3 แบบที่ใช้กับ HEC เพื่อประเมินค่าการสูญเสียหัว (head loss) (1) ค่า Manning's n ของการสูญเสียการเสียดทาน (2) สัมประสิทธิ์การสอนเข้าและการขยายออกของการสูญเสียที่ช่วงต่อ (transition) และ (3) การสูญเสียที่สะพาน สัมประสิทธิ์การสูญเสียนำจากรูปร่างของฝาย รูปร่างตอนม่อ และสภาพการไหลภายในวิชิวเคราะห์ special bridge ค่า Manning's n ค่าสัมประสิทธิ์ความชุบรรณ n หมายได้จากแหล่งที่แตกต่างกันออกไป ตารางค่า n นี้อยู่ในหนังสือวิชาการทางชลศาสตร์ทั่วไป ตารางและรูปทางได้จากหนังสือ Chow (2) ซึ่ง เป็นที่แพร่หลายอยู่ทั่วไป วิธีอื่นที่ใช้ในการคำนวณค่า n จะมีการใช้สูตรต่างๆ ผลของตัวอย่างในสถานะ และการวิเคราะห์ทางปฏิบัติการ และการใช้ HEC-RAS ในการประมาณค่า n จากทราบน้ำระดับสูง HEC-RAS จะสามารถประมาณค่าของ n ได้ถ้ามีทราบน้ำระดับสูง หรือน้ำท่วม ในช่วงล้านนาที่ต้องการ ถ้าเลือกทางเลือก n -value option โปรแกรมจะคำนวณค่า n เพื่อหาระดับพื้นผิวน้ำของอัตราการไหลที่กำหนดให้แต่ละรูปตัววิธีการนี้มีปัญหาคือความคลาดเคลื่อนทั้งหมดที่เกี่ยวข้องกับข้อมูล จะมีผลสะท้อนต่อการคำนวณค่า n ดังตัวอย่างเช่น อาจจะมีการพิจารณาความไม่แน่นอนของค่า อัตราการไหลที่กำหนดให้แต่ละรูปตัววิธีการนี้มีปัญหาคือความคลาดเคลื่อนทั้งหมดที่เกี่ยวข้องกับข้อมูลจะมีผลสะท้อนต่อการคำนวณค่า n ดังตัวอย่างเช่น อาจจะมีการพิจารณาความไม่แน่นอนของค่า อัตราการไหลที่สมมุติขึ้น และระดับของทราบน้ำสูง ค่าอัตราการไหลที่ได้จากการคำนวณจะไม่ได้มาจากน้ำท่วม 100 ปีโดยตรงของน้ำท่วม 100 ปี หรือเหตุการณ์อื่นๆ ที่เข้ามาเกี่ยวข้องกับข้อมูลจะมีผลสะท้อนต่อการคำนวณค่า n ดังตัวอย่างเช่น อาจจะมีการพิจารณาความไม่แน่นอนของค่า อัตราการไหลที่สมมุติขึ้น และระดับของทราบน้ำสูง ค่าอัตราการไหลที่ได้จากการคำนวณจะไม่ได้มาจากน้ำท่วม 100 ปี หรือเหตุการณ์อื่นๆ ที่เข้ามาเกี่ยวข้อง ระดับของทราบน้ำอาจมากผล

ของระบบ หรือสิ่งที่พัฒนาขึ้นมา กับน้ำ เมื่อเกิดความคลาดเคลื่อนขึ้น โปรแกรมจะทำให้เกิดความคลาดเคลื่อน ผลที่ได้จะหมายความว่าการปฏิบัติการ ซึ่งจะหาค่า n ที่คำนวณได้ขึ้นลงทะเบียนระหว่างรูปตัดวิธีที่ดีที่สุดคือการใช้การทดลองและหาความคลาดเคลื่อน โดยให้หมายความว่าความน้ำสูง (high water mark) โดยใช้ HEC-RAS เมื่อเราประมาณค่า n ได้จากทราบน้ำท่วมของเหตุการณ์น้ำท่วมต่างๆ กับสิ่งที่สำคัญที่มีมาพิจารณา คือเวลาในปีที่เกิดเหตุการณ์น้ำท่วมต่างๆ นั้น ความแตกต่างอย่างมากของความชุ่มชื้นจะมีผลสะท้อนจากค่า n ดังเช่นพื้นดินที่ปลูกข้าวในฤดูฝนกับพื้นดินในหน้าแล้งที่ข้าวโตเต็มที่พร้อมจะเก็บเกี่ยวกับพื้นที่ของชุมชน ต้องที่ออกในเวลาต่างๆ กัน ของบีมีผลกระทบต่อการคำนวณค่า n เช่นกัน ข้อมูลจาก Gage จะสามารถนำมาใช้ในการคำนวณค่า n ได้เช่นกัน เหตุการณ์น้ำท่วมต่างๆ ของมาตรฐานน้ำดีก็ เพื่อให้การไหล อยู่ในช่องทางสามารถนำมาใช้ในการประมาณค่า n หรือค่า NV คือค่าของตัวแปร n ที่เปลี่ยนแปลงไปตามความลึกที่ใช้กับ HEC-RAS เมื่อเราได้ค่า n ในช่องทางแล้วเราสามารถใช้ข้อมูลน้ำท่วมอื่นมาประมาณค่าเฉลี่ยของ overbank n ได้ เพราะว่าสัมประสิทธิ์ความชุ่มชื้น n ขึ้นอยู่กับองค์ประกอบหลายๆ ตัว ดังเช่นจำนวนของวัชพืช รูปร่างของช่องทาง และระดับ รวมทั้งทางเดือกอื่นๆ ที่ทำให้ค่า n พันแปรไปถ้าค่า n 3 ค่า n รูปร่างของช่องทางและระดับ รวมถึงทางเดือกอื่นๆ ที่ทำให้ค่า n พันแปรไปถ้า n 3 ค่าคือ ค่า n ในช่องทาง ค่า 2 ของค่า overbank เราจะใช้ค่า 3 ค่าเป็นข้อมูลด้านเข้าของรูปตัดถ้าค่าหัก 3 ค่าเป็นนั่งบอกค่าได้ถึง 20 ค่า ซึ่งพันแปรไปตามระยะทางในแนวราบตามรูปตัด ในการผ่านกั้งกล่าวนี้ค่า n ในช่องทางที่ผันแปรกับระดับจะบ่งบอกได้



| $HD/A/TW$ (ft.) | L_{dc} (ft.) | S (ft./mi.) |
|--------------------|-------------------|------------------|
|--------------------|-------------------|------------------|



$$L_{dc} = 6600 \cdot HD/S$$

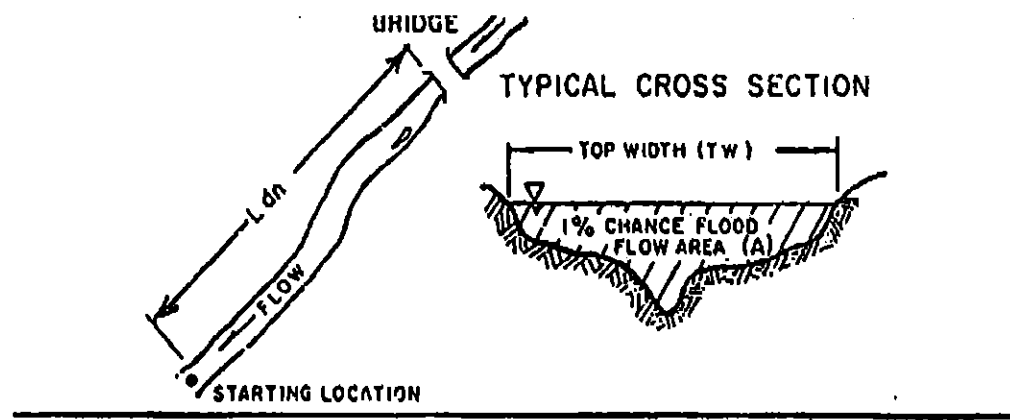
L_{dc} : Downstream study length - critical depth
starting condition

HD : Average hydraulic depth (1-percent chance flow)

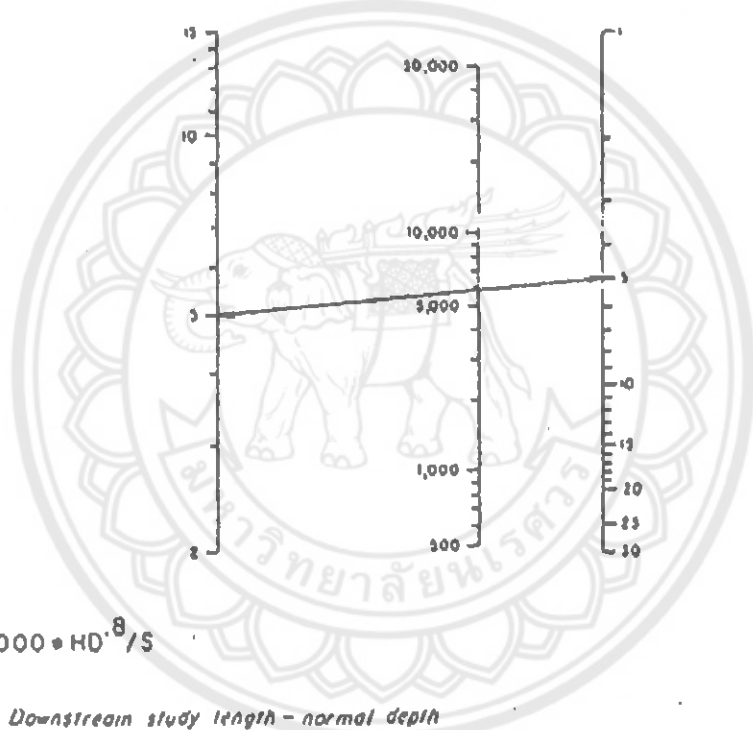
S : Average reach slope

The Hydrologic Engineering Cent
December 1986

รูปที่ 2.6 ค่าประมาณของช่วงความยาวของแม่น้ำด้านท้ายน้ำ และมีเกณฑ์ความลึกปกติ



$$HD = A/TW \quad (\text{ft.}) \qquad Ldn \quad (\text{ft.}) \qquad S \quad (\text{ft./mi.})$$



$$Ldn = 8000 \cdot HD^{0.8} / S$$

where:

Ldn = Downstream study length - normal depth
starting condition

HD = Average reach hydraulic depth (1-percent
chance flow)

S = Average reach slope

The Hydrologic Engineering Center
December 1966

รูปที่ 2.7 ค่าประมาณของช่วงความยาวของแม่น้ำด้านท้ายน้ำ โดยมีความลึกวิกฤติ

ตารางที่ 2.2 สัมประสิทธิ์ปร่างตอนม่อ

| รูปร่างตอนม่อ | K |
|---|------|
| รูปสี่เหลี่ยมทั้งหน้าและหลัง | 1.25 |
| 90° ของสามเหลี่ยมทั้งหน้าและหลัง | 1.05 |
| ตอนม่อทรงกลมคู่ทั้งหน้าและหลัง โดยไม่มีผนัง | 1.05 |
| ตอนม่อทรงกลมคู่ทั้งหน้าและหลัง โดยมีผนัง | 0.95 |
| ครึ่งทรงกลมทั้งหน้าและหลัง | 0.90 |

ในกรณีที่มีปีกขับต่างๆ หลายปีกจับ จะมีผลต่อสัมประสิทธิ์ความชุบระ Manning ซึ่ง Woody L. Cowar (1956) ได้เสนอแนะนำสมการประมาณค่าสัมประสิทธิ์ความชุบระ n ไว้ดังสมการ

$$n = (n_0 + n_1 + n_2 + n_3 + n_4) m_s \quad (2.14)$$

โดยที่ n_0 คือค่า n พื้นฐานสำหรับทางน้ำเปิดเรียบและมีแนวตรงสม่ำเสมอตามลักษณะของวัสดุทางน้ำเปิด

n_1 คือ ค่าปรับแก้สำหรับผลของความผันแปรของผิวทางน้ำเปิด (surface irregularities)

n_2 คือ ค่าปรับแก้สำหรับของรูปร่างและขนาดหน้าตัดของทางน้ำเปิด

n_3 คือ ค่าปรับแก้สำหรับสิ่งกีดขวางการไหลในทางน้ำเปิด

n_4 คือ ค่าปรับแก้สำหรับมีพืชปกคลุม

m_s คือ ค่าปรับแก้สำหรับผลของความคงเสี้ยวของทางน้ำเปิด

สำหรับค่า n_0, n_1, n_2, n_3, n_4 , และ m_s สามารถหาได้จากตารางที่ 2.4

ตารางที่ 2.3 ค่าปรับแก้ต่างๆ สำหรับคำนวณสัมประสิทธิ์ความชุกระของ Manning

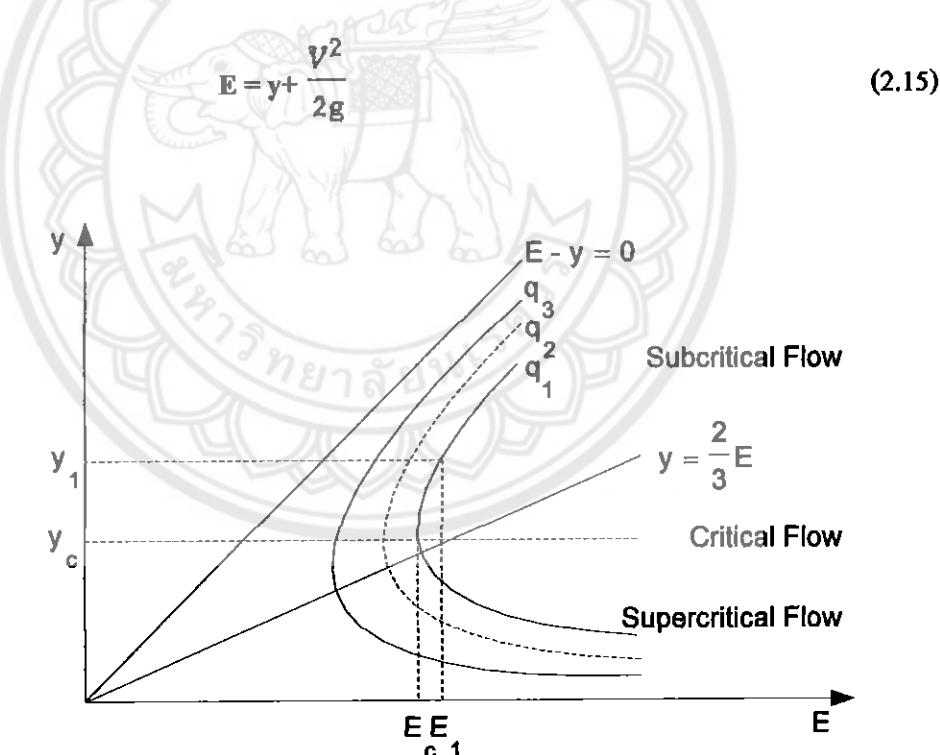
| เพื่อนไขทางน้ำปีค | | ค่าปรับแก้ | |
|-------------------------------|---|------------|--|
| วัสดุทางน้ำปีค | ดิน หิน กรวดละเอียด กรวดหยาบ | n_0 | 0.020 0.025 0.024 0.028 |
| ความแปรของผิวทางน้ำปีค | เรียบ ไม่เรียบน้อย ไม่เรียบปานกลาง ไม่เรียบมาก | n_1 | 0.000 0.005 0.010 0.020 |
| ความผันแปรของหน้าดัดทางน้ำปีค | ค่อข้าง เปลี่ยนแปลง เปลี่ยนแปลงบางแห่ง [*] เปลี่ยนแปลงบ่อย | n_2 | 0.000 0.005 0.010-0.015 |
| ผลจากตั้งกีดขวางการไหล | ไม่มี มีเดือน้อย มีปานกลาง มีมาก | n_3 | 0.000 0.010-0.015 0.020-0.030 0.040-0.060 |
| พืชปักกุน | น้อย ปานกลาง มาก หนาแน่นมาก | n_4 | 0.005-0.015 0.010-0.025 0.025-0.050 0.050-0.100 |
| ผลของความคงเดียวของทางน้ำปีค | เดือน้อย ปานกลางมาก มาก | m_5 | 1.000 1.150 1.30 |

ความลึกวิกฤติและความนัยสำคัญของท่อน

ความลึกวิกฤติเป็นคุณลักษณะของการไหลที่มีความสำคัญมากเพะว่าเป็นตัวแทนของเกณฑ์ในการหากถูกต้องของการไหล การไหลที่มีความลึกอยู่เหนือความลึกวิกฤติ จะเป็นการไหลต่ำกว่าวิกฤติจะเป็นการไหลที่เหลือกว่าวิกฤติ การไหลที่จุดไกส์ดึงความลึกวิกฤติเรียกว่า การไหลวิกฤติ แต่การไหลนี้จะไม่แน่นอนเพะว่าเป็นการเปลี่ยนแปลงเด่นชัด ในพลังงานจำเพาะ โดยจะเป็นสาเหตุให้เปลี่ยนแปลงอย่างมากในความลึกวิกฤติ

พลังงานจำเพาะ (Specific energy , E)

ที่รูปดังข้างเป็นหัวความดันพลังงานอยู่เหนือจุดต่ำในช่องทาง คันน้ำพักรวนของความลึก y และหัวความเร็ว $V^2 / 2g$ แสดงอยู่ในสมการที่ 2.15 รูปที่ 2.8 แสดงถึงโค้งพลังงานจำเพาะ เป็นการพิสูจน์ของพลังงานจำเพาะต่อความลึกตามอัตราการไหลออกที่กำหนดให้ ได้แสดงพลังงานจำเพาะที่กำหนดให้โดยมีความลึกที่เป็นไปได้อยู่ 2 อย่าง ขกเว้นความลึกวิกฤติ ความลึกวิกฤติจะเกิดขึ้นที่จุดที่มีค่าพลังงานจำเพาะต่ำสุดในโค้ง



ภาพที่ 2.8 โค้งพลังงานจำเพาะ

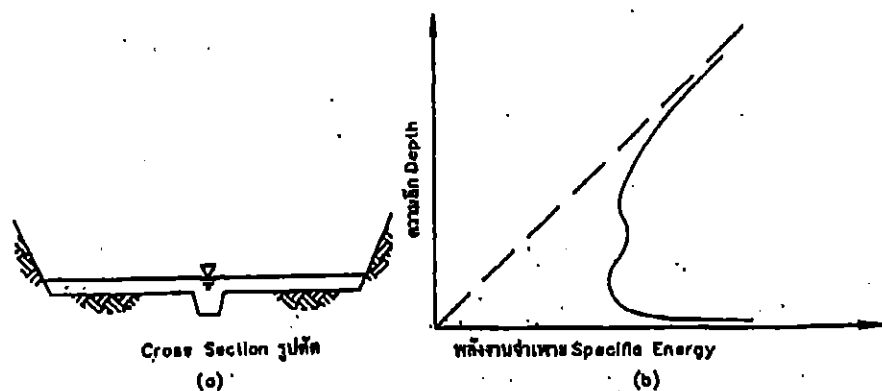
การหาความลีกวิกฤตค่อนข้างยุ่งยากโดยการแผ่กระจายของความเร็วในรูปคัดบางที่ไม่ปกติที่เกิดขึ้นกับทุกน้ำหนึ่งของหัวความเร็วในสมการพลังงานจำเพาะถูกด้วย Coriolis หรือ สัมประสิทธิ์ การแผ่กระจายความเร็ว ขึ้นบัญชีการผันแปรทางราบทองความเร็วนรูปคัดทางวางและแสดงนิพจน์อย่างละเอียดในพลังงานจำเพาะ (สมการที่ 2.16) การหาสัมประสิทธิ์ของความเร็วนี้ในตอนต่อไป

$$E = y + \frac{V^2}{2g} \quad (2.16)$$

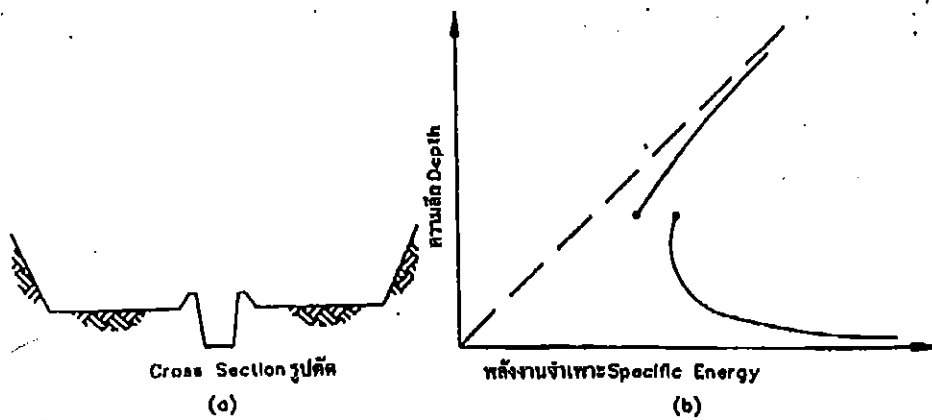
โดยที่; เป็นสัมประสิทธิ์การแผ่กระจายความเร็ว

ทุกน้ำหนึ่งที่แบบและกว้างเป็นสามเหลี่ยมปีญหานในการคำนวณความลีกวิกฤติ การไม่เท่ากันในช่องทางและพื้นที่ที่ไหลล้นเหนือผิว เป็นสามเหลี่ยมให้มีค่าต่ำสุดหลายค่า และการไม่ต่อเนื่องในโถง พลังงานจำเพาะ และกฎเกณฑ์การไหลที่ผสมกัน (1,2,3) ปีญหานเหล่านี้เกี่ยวข้องกับการไหลทางเข้า และความแตกต่างในการไหลระหว่างสองช่องทางและบนผิวจะต้องอาใจใส่โดยเฉพาะในบางกรณี จะต้องหาผลลัพธ์โดยใช้การวิเคราะห์แบบ 2 มิติ

ค่าพลังงานจำเพาะ 2 ค่า อาจเกิดขึ้นที่รูปคัดที่มีพื้นที่ไหลล้นบนผิวค่าว่างๆ รูปที่ 2.9 การเกิดค่าต่ำสุดภายในช่องทาง จะน้อยกว่าบนสูง ขณะที่ความลีกของ การไหลเพิ่มขึ้นจะไหลล้นไปบนผิว ผิวหัวจะลดลงเร็วกว่าหัวระดับเพิ่มขึ้น และค่าต่ำสุดอันที่ 2 จะเพิ่มขึ้นเหนือระดับน้ำสูดของช่องทางถ้าคุณเกิดขึ้นระหว่างช่องทางและพื้นที่น้ำหนึ่ง โถงพลังงานจะไม่เพียงมีค่าต่ำสุด 2 ค่า แต่ยังไม่ต่อเนื่องกัน รูปที่ 2.10 ขณะที่เกิดการไหลล้นบนก้นพื้นที่ของ การไหลไม่ต่อเนื่องจะเพิ่มขึ้น ณ จุดไม่ต่อเนื่อง และอิกุจหนึ่งจะเกิดขึ้นที่ส่วนต่อของโถงเป็นได้เหนือและต่ำกว่าระดับก้น



รูปที่ 2.9 โถงพลังงานจำเพาะที่มีค่าต่ำสุด 2 ค่า



รูปที่ 2.10 การไม่ต่อเนื่องของโถงพลังงานจำเพาะ

ชนิดของการไหลในทุกน้ำหนึ่งแบบนี้จะเป็นกฎหมายของการไหลผ่าน มีคุณลักษณะทั้งต่ำกว่า วิกฤติ เกิดเป็นระบบในส่วนที่แตกต่างกันของรูปตัด โดยปกติแล้วเมื่อเกิดขึ้นการไหลในช่องทางจะ เหนือวิกฤติ และการไหลบนหลังจะต่ำกว่าวิกฤติ การแบ่งย่อยของค่า F_r ซึ่งสามารถใช้ให้เห็น กฎหมายของการไหลในการไหลล้นบันพันผึ่งทั้งสอง ได้นำมาพัฒนาและตรวจสอบ (4) โดยจะ ใช้ให้เห็นถึงกฎหมายของการไหลผ่านและการไหลล้นบันผึ่งที่ค่อนข้าง สามารถจำลองโดยเด่นชัดว่าใช้ standard-step ซึ่งใช้ในการคำนวณหน้าเข้าห้องการไหลโดยทั่วไป ในโปรแกรม HEC-RAS ระดับ พื้นผิวน้ำวิกฤติของรูปตัดหาโดยการคำนวณระดับซึ่งหัวพลังงานทั้งหมด คำนวณโดยใช้สมการที่ 2.17 จนกระทั่งได้ค่าต่ำสุดของ H

$$H = ws + \frac{V^2}{2g} \quad (2.17)$$

ในการเพิ่มอัตราเร็วของบวนการข้อน้ำ วิธีการแบ่งค่าพารามิเตอร์ในการหาเหตุ พลลพธ์ของค่า H เพื่อหาค่า ws 3 ค่าโดยมีช่วงระยะเท่ากัน (5) ws จะสอดคล้องกับค่าต่ำสุดของ H ซึ่งจะอธิบายโดยพลาโนล่า 3 ชุดนี้ใช้เป็นพื้นฐานของสมมุติฐานถัดไปในค่าของ ws , HES-RAS จะคำนวณหน้าเข้าห้องการไหลที่น้อยยูเนียนวิกฤติหรือต่ำกว่าวิกฤติ ผู้ใช้จะต้องบ่งถึงกฎหมายของการไหล สืบเนื่องมาคือการใส่แฟ้มข้อมูลนี้ออกจากว่ามีกฎหมายของการไหล 2 อันดับในส่วนที่ศึกษาจึงจำเป็นที่ จะต้องรันโปรแกรมในกฎหมายของการไหลทั้ง 2 อันดับเพื่อหาหน้าเข้าห้องการไหลที่สมบูรณ์

หน้าเข้าห้องการไหลที่แสดงในรูป 2.11 แสดงถึงปัญหานี้ในช่วงค้านหนึ่นนีความลาดเอียง mild โดยมีความลีกปักติดอยู่เหนือวิกฤติในช่วงตอนกลางมี steep slope ซึ่งมีความลีกปักติดอยู่ต่ำกว่า

วิกฤติและช่วงท้ายน้ำมี mild slope ซึ่งความลึกวิกฤต หน้าข้างการไหลของความลึกวิกฤตแสดงเป็นเส้นประ หน้าข้างการไหลที่เป็นความลึกต่ำกว่าวิกฤตจะคำนวณโดยเริ่มนาก្យปตัดหน้าท้ายน้ำ และคำนวณจากรูปตัดหน้าไปสู่อีกรูปตัดหน้า หน้าข้างการไหลเหนือวิกฤตคำนวณที่รูปตัดด้านหนึ่งน้ำ และคำนวณไปยังด้านท้ายน้ำ จากรูปที่แสดงจะอธิบายการคำนวณหน้าข้างการไหลที่ต่ำกว่าวิกฤต ก่อน เริ่มที่ปลายสุดท้ายน้ำ หน้าข้างการไหลจะเป็นเหนือวิกฤตต้องย่างแท้จริง แต่ในระเบียบวิธีต่ำกว่าวิกฤต HEC-RAS จะไม่คำนวณพื้นผิวน้ำต่ำกว่าความลึกวิกฤตที่ปลายบนสุดของช่วงนี้ ความลาดเอียงจะถูกกำหนดเป็น mild อีกครั้งและหน้าข้างการไหลผ่านวิกฤตจากหน้าตัดที่ควบคุมบนด้านหนึ่งน้ำจะคำนวณหน้าข้างไหลต่ำกว่าวิกฤตต่อไป



รูปที่ 2.9 หน้าข้างการไหลเหนือและต่ำกว่าวิกฤตคำนวณโดยใช้ HEC-RAS

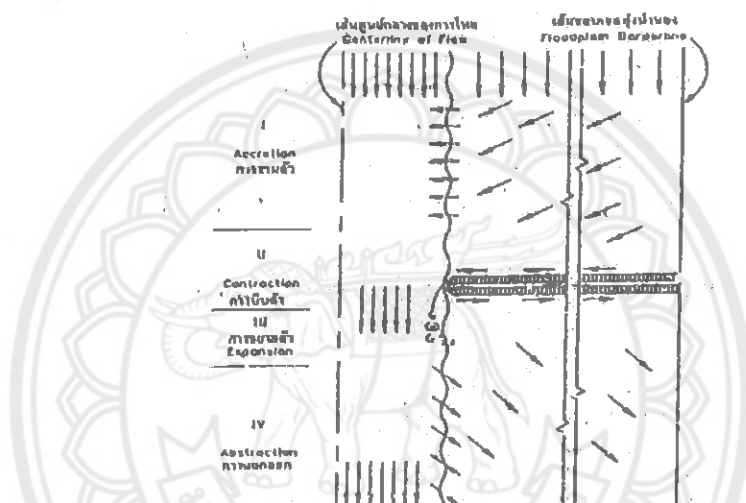
การไหลผ่านของน้ำโดยผ่านสิ่งกีดขวาง

เมื่อจากการศึกษาของการไหลผ่านของทุ่งน้ำนองกระทำบนพื้นที่ชุมชนซึ่งมักจะประกอบด้วยสะพานท่ออด ฝาย และสะพานในรูปแบบต่างๆ ดังนั้นการวิเคราะห์การไหลผ่านสะพานและอื่นๆ จึงต้องเป็นเรื่องหลัก เพราะว่ามีอยู่หลายแบบและมีสภาวะการไหลที่สถาบันซึ่งขึ้นเกิดขึ้นที่สะพาน การวิเคราะห์ไหลผ่านจึงเป็น ปัญหาค่อนข้างยากที่เข้ามาเกี่ยวข้องการสูญเสียพลังงานที่สะพานและท่ออดซึ่งประกอบด้วยการสูญเสียในช่วงลำน้ำที่รูปตัดหนึ่งน้ำ และท้ายน้ำที่ติดอยู่สะพาน และการสูญเสียในตัวอาคารของสะพานเอง ในช่วงที่ติดกับสะพานด้านหนึ่ง

การไหลของญี่ในช่วงสะพานของช่วงตัวที่บีบเข้า (contraction) กับสะพานและที่รูปคัตต้านท้ายน้ำที่ติดกับสะพาน การไหลจะถูกขยาย出去ที่ไหลออกจากสะพานในช่วงเวลาทั้งสองที่กล่าวมานี้

ธรรมชาติการไหลผ่านสะพาน

ธรรมชาติการไหลผ่านสะพานแสดงดังรูปที่ 2.10 โดยแนวความคิดนี้ การไหลจะแบ่งออกเป็น 4 ฝ่ายด้วยกัน คือ การรวมตัว (accretion), การบีบตัว (contraction), การขยายตัว (expansion), และการแยกออก (abstraction) สำหรับพิจารณาเป็นการสมดุลกันระหว่างเส้นผ่านศูนย์กลางและรูปที่ 2.12 จะแสดงแก่ครั้งเดียว



รูปที่ 2.10 ไดอะแกรมของการไหลผ่านคอกอคสะพาน

เนื่องจากสะพานจะก่อให้เกิดการไหลที่สอนเข้าสู่สะพานจะมีอิทธิพลมากจากสะพาน สันทางการไหลจะบันทึกกับ ขณะที่การไหลเคลื่อนตัวเข้าสู่ช่องทาง เพื่อให้การไหลทั้งหมดสามารถผ่านเข้าสู่รูปคัตต้านของสะพานได้ ในขบวนเขตของการรวมตัวการไหลจะพยายามเป็นการไหลผ่าน ประทีละน้อย ในขบวนเขตของการบีบตัวเริ่มต้นที่รูปคัตต้านที่ติดอยู่กับตัวสะพานค้านผิวน้ำ โดยที่การไหลจะติดกับทางเข้าของรูปคัตต้าน โดยที่การไหลจะถูกบีบอุ้งรุนแรงที่รูปคัตต้าน

ในขบวนเขต การแยกออก ทางค้านท้ายน้ำของสะพานเป็นส่วนของขบวนเขตการรวมตัวค้าน เนื่องจากเป็นลักษณะการผันแปรทีละน้อย ในขบวนเขตนี้การไหลจะเคลื่อนที่ทางเข้าผ่านลำน้ำเอง และครั้งสุดท้ายช้อนกลับไปเข้าสู่สภาพการไหลของน้ำทั่วไปปกติที่ระบบทางค้านท้ายน้ำ

การแบ่งชั้นการไหลต่ำผ่านของสะพาน

การการณ์ไหลต่ำกว่าที่เกิดขึ้นเมื่อน้ำทึบหมด ไหลผ่านช่องทางเปิดของสะพานและพื้นที่คิวน้ำอุ่นที่ต่ำกว่า low chord หน้าข้างการไหลแสดงในรูปที่ 2.19 แสดงถึงการไหลต่ำ 3 ชั้นด้วยกัน

Class A low flow

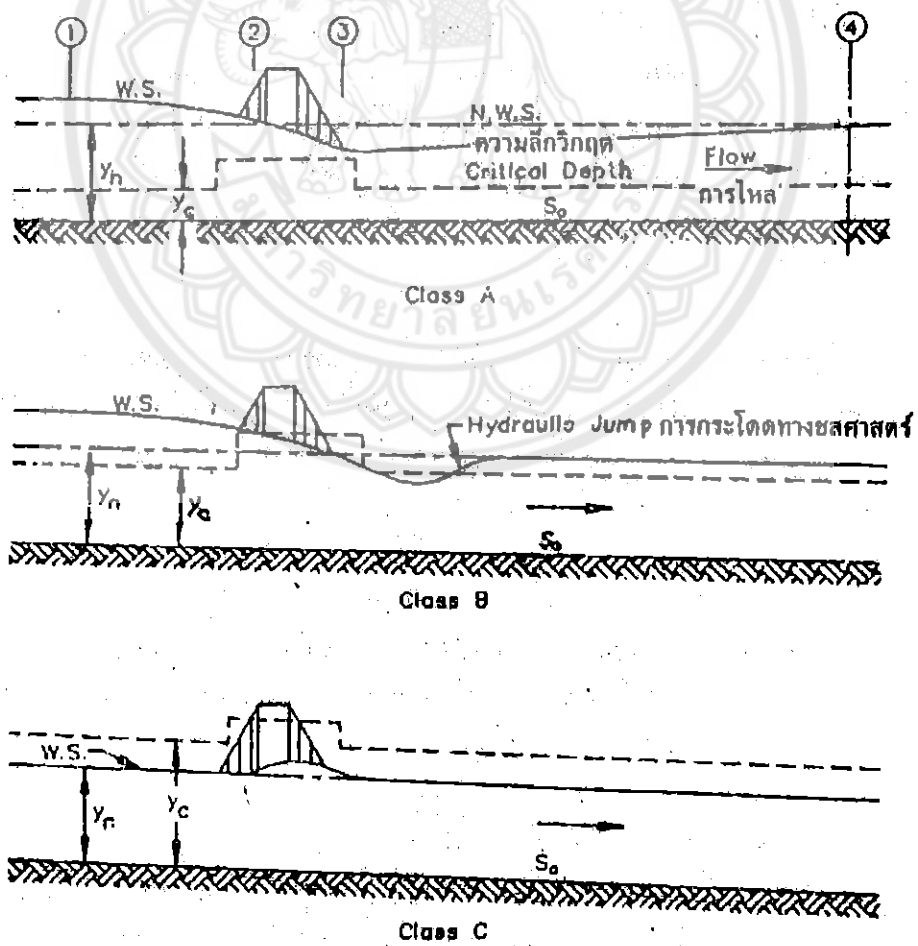
เกิดขึ้นในของเขตการไหลต่ำกว่าวิกฤต เมื่อหน้าข้างการไหลของพื้นที่คิวน้ำผ่านสะพานยังคงอยู่เหนือความลึกวิกฤต การเปลี่ยนแปลงผิวน้ำสามารถจากสะพาน

Class B low flow

การไหลของผิวน้ำจะผ่านความลึกวิกฤต ในตอนกลางของสะพาน โดยจะเกิดทั้งคู่ในการไหลต่ำกว่าวิกฤต ดังแสดงในรูป การไหลเหนือวิกฤติจะในช่วงระหว่างทางสันฯ ก่อนจะกลับมาเป็นการไหลต่ำกว่าวิกฤตในการกระโดดในชลศาสตร์

Class C low flow

เป็นการไหลแบบเหนือวิกฤตเมื่อผ่านสะพาน ถึงแม้ว่าหน้าข้างของการไหลผิวน้ำเกิดขึ้นเนื่องจากคอกอุด และระดับน้ำของการไหลจะไหลสูงขึ้นได้เพียงพอถึงความลึกวิกฤติก็ตาม



รูปที่ 2.11 โภคภาระของการไหลต่ำผ่านของสะพาน

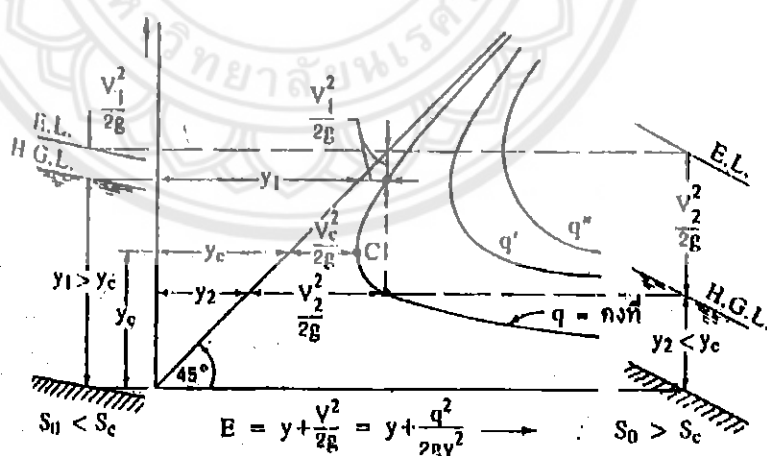
ความลีกวิกฤติ และพลังงานจำเพาะ

ความลีกวิกฤติ เป็นคุณลักษณะของของไหลที่มีความสำคัญมาก เพราะเป็นตัวแทนในการหากฎเกณฑ์ของการไหล การไหลที่มีความลีกมากกว่าความลีกวิกฤติจะเป็นการไหลใต้วิกฤติ (Sub-critical flow) ส่วนการไหลที่มีความลีกการไหลต่ำกว่าความลีกวิกฤติ จะเป็นการไหลเหนือวิกฤติ (Super-critical flow) การไหลที่จุดโกลเดินเรซิ่งความลีกวิกฤติ นิยามว่า ความลีกวิกฤติ พลังงานจำเพาะ (E) ที่หน้าด้านการไหลใดๆ คือ ค่าหัวพลังงานความดันที่เกิดจากการรวมหัวความลีก (y) และหัวความเร็ว ($v^2/2g$)

$$E = y + \frac{v^2}{2g} \quad (2.18)$$

ถ้าการไหลในช่องทางรูปสี่เหลี่ยมผืนผ้าสามมิติ และมีความกว้างของช่องทางมากเมื่อเทียบกับความลีก ผิวด้านข้างจะมีผลกระแทกต่อความเร็วในส่วนอื่นๆ น้อยมาก อัตราการไหลต่อหน่วยความกว้างเขียนได้เป็น $g = Q/b$ และ $V = Q/A = q b / by = q/y$ ดังนั้น

$$E = y + \frac{1}{2g} \left(\frac{q^2}{y^2} \right) \quad (2.19)$$



รูปที่ 2.12 เส้นกราฟแสดงค่า q ที่ความลีกต่างๆ

สำหรับอัตราการไหล q ที่กำหนดค่า E จะเปรียบเทียบ y ดังรูป

เมื่อ $q = 0$; $E = y$ เส้นกราฟจะเป็นเส้นตรง 45

เมื่อ $q > 0$; ที่ค่าใดค่าหนึ่งและผลลัพธ์งานจำเพาะที่กำหนดให้จะได้ค่าความลึก y อยู่ 2 ค่าเรียกว่า alternate depth

สำหรับเส้นกราฟที่มีค่า q คงที่แต่ลักษณะจะมีความลึก E ค่าหนึ่งที่ได้ค่า y ต่ำสุด สภาวะการไหลที่มีค่า E ต่ำสุดเรียกว่า การไหลวิกฤติ (Critical flow) ความลึกที่สภาวะนี้เรียกว่า ความลึกวิกฤติ (Critical depth) และความเร็วที่สภาวะนี้เรียกว่า ความเร็ววิกฤติ (Critical velocity, V_c) โดย

$$E_{\min} = \frac{3yc}{2}, \quad y_c = \left[\frac{q^2}{g} \right]^{1/3} \quad (2.20)$$

$$V_c = \sqrt{gy_c} \quad (2.21)$$

การไหลจะมีค่าสูงสุดที่ $y = y_c$ คือ

$$q_{\max} = \sqrt{gy_c^2} \quad (2.22)$$

ในการผ่านท่อทางการไหลไม่ใช่รูปสี่เหลี่ยมผืนผ้าค่าผลลัพธ์งานจำเพาะคือ

$$E = \frac{V^2}{2g} + y \left(Q^2 / 2gA^2 \right) + y \quad (2.23)$$

ความสัมพันธ์ของปริมาณต่างๆ ที่สภาวะวิกฤติ คือ

$$(Q^2/g) = (A^3/B) \quad (2.24)$$

การหาอัตราการไหล ปี พ.ศ.2553 จากการสำรวจน้ำหลักสูตรของฝ่ายน้ำ ความสูงของระดับน้ำเนื้อสันฝายประมาณ 1.5 ม. สามารถคำนวณหาอัตราการไหล

$$Q = CLH^{1/2} \quad (2.25)$$

บทที่ 3

วิธีดำเนินโครงการ

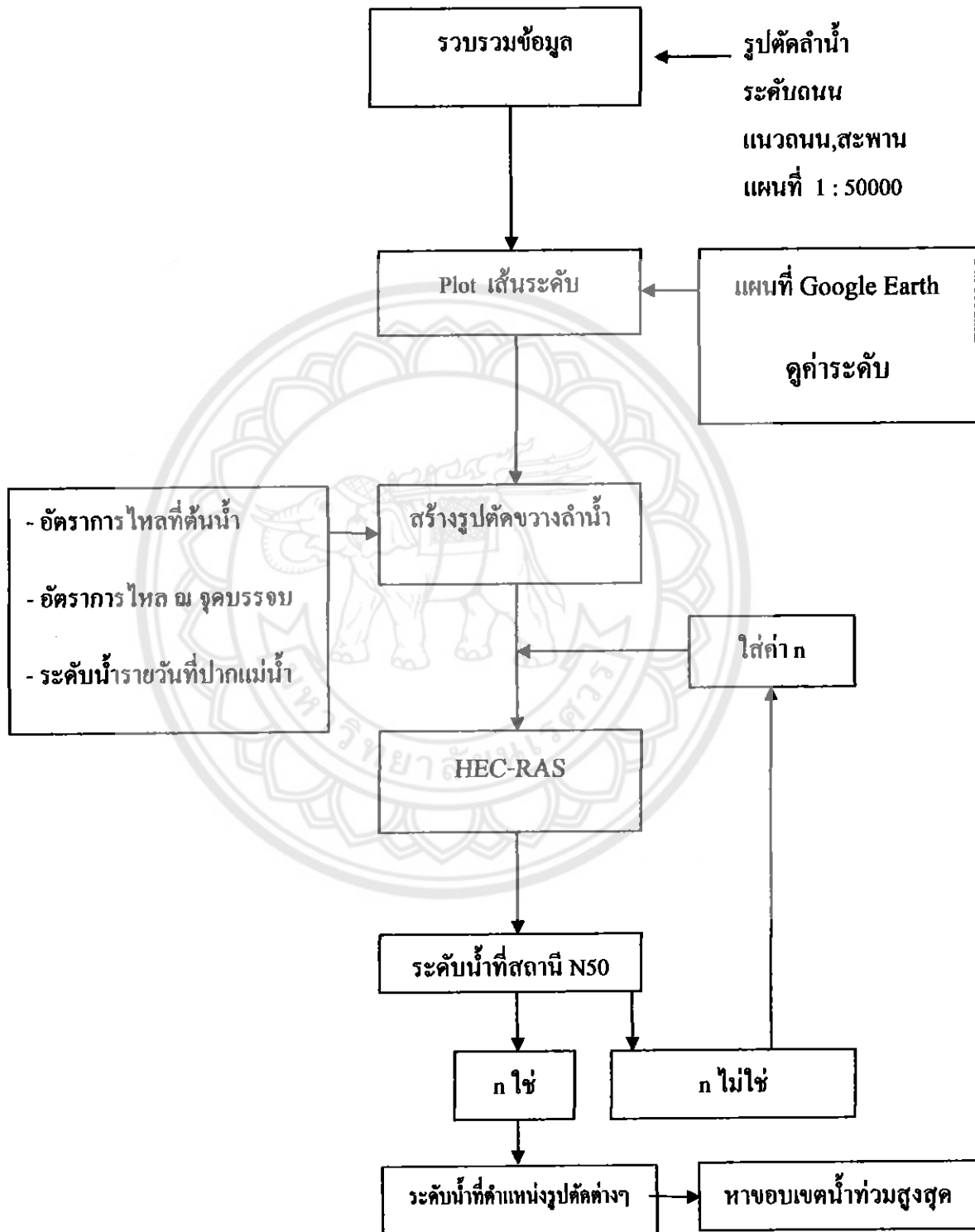
3.1 อุปกรณ์

1. โปรแกรม HEC-RAS V4.1
2. คอมพิวเตอร์
3. เครื่องวัด GPS (Global Positioning System)

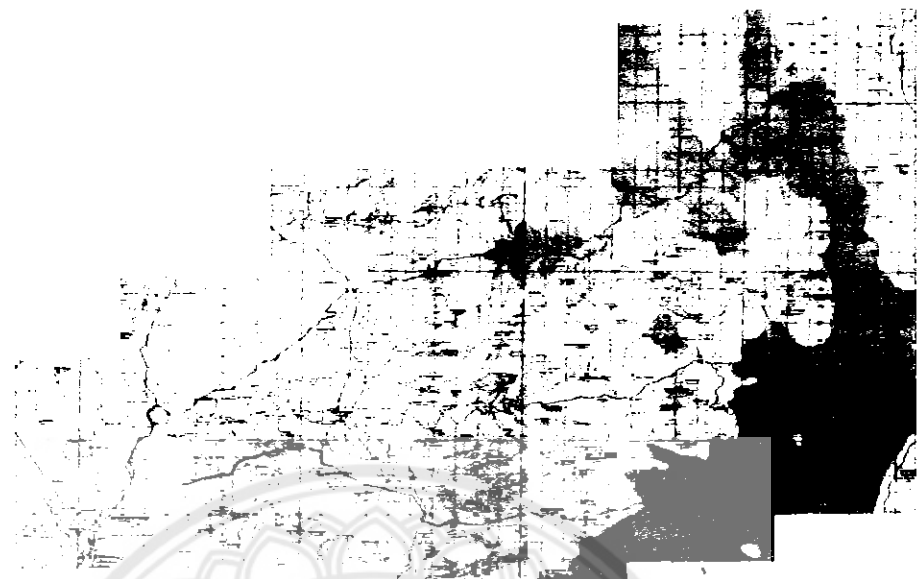
3.2 วิธีการดำเนินงานวิจัย

- 3.2.1. ศึกษาแนวทางและการวางแผน ทฤษฎีที่ใช้ ข้อมูลที่เกี่ยวกับลุ่มน้ำป่า
- 3.2.2. ศึกษาการใช้โปรแกรม HEC-RAS จากคู่มือการใช้ ในโปรแกรม และทดลอง Run โปรแกรมตามคู่มือการใช้
- 3.2.3. รับคำแนะนำเกี่ยวกับการใช้โปรแกรม HEC-RAS จากอาจารย์ที่ปรึกษาโครงการ
- 3.2.4. หาระดับ Cross-section จากข้อมูลของรุ่นพิม่าเทียบกับของปัจจุบัน และโปรแกรม Google Earth
- 3.2.5. นำค่าระดับ Cross-section ใส่ลงในโปรแกรม HEC-RAS เพื่อหาพื้นที่น้ำท่วมระดับการไหลล้นคลังฝั่งซ้ายและฝั่งขวา
- 3.2.6. เก็บค่าระดับสะพาน ขนาดต่ำกว่า ความกว้างของสะพาน มาใส่ค่าลงในโปรแกรม
- 3.2.7. สมมุติค่าความชุกรของแม่น้ำ (n) และทำการสอนเทียบค่าสัมประสิทธิ์ความชุกรของแม่น้ำ (g) จากค่าอัตราการไหลสถานี N50
- 3.2.8. นำอัตราการไหลในปี 2553 ที่ต้นน้ำท้ายฝายป้า กิโลเมตรที่ 19+063.59 มาใส่ลงโปรแกรม HEC-RAS เพื่อหาพื้นที่น้ำท่วม
- 3.2.9. จัดทำแผนที่น้ำท่วม โดยใช้ค่าระดับน้ำทำแนวหน้าตัดที่ กิโลเมตรต่าง ๆ

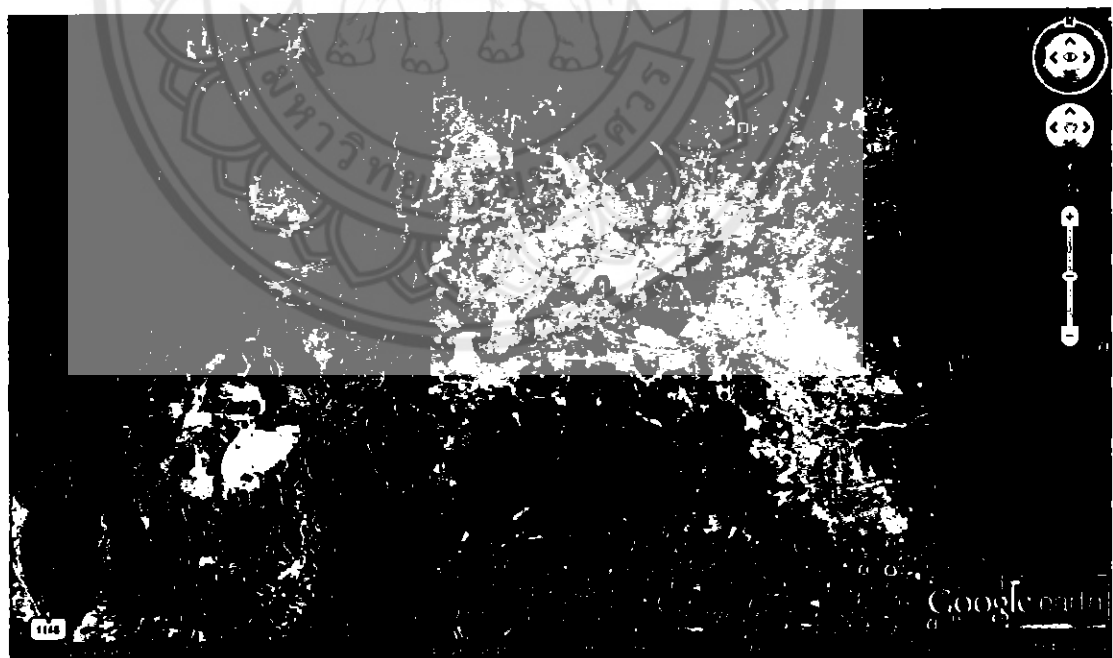
3.3 ขั้นตอนการดำเนินงานตามแผนผังงาน ดังต่อไปนี้



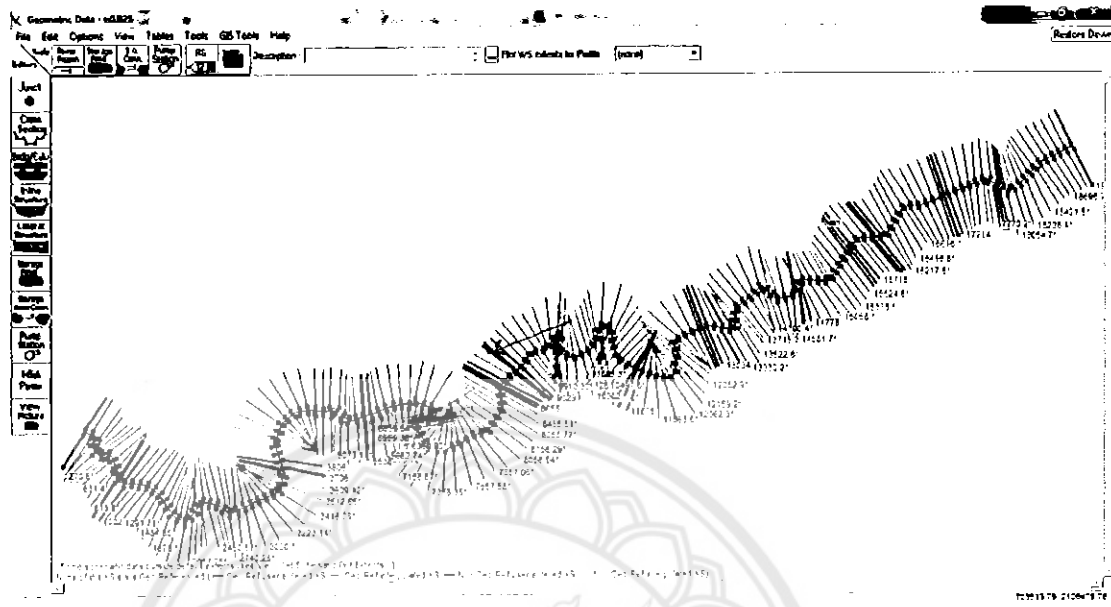
รูปที่ 3.1 ผังแสดงการดำเนินโครงการ



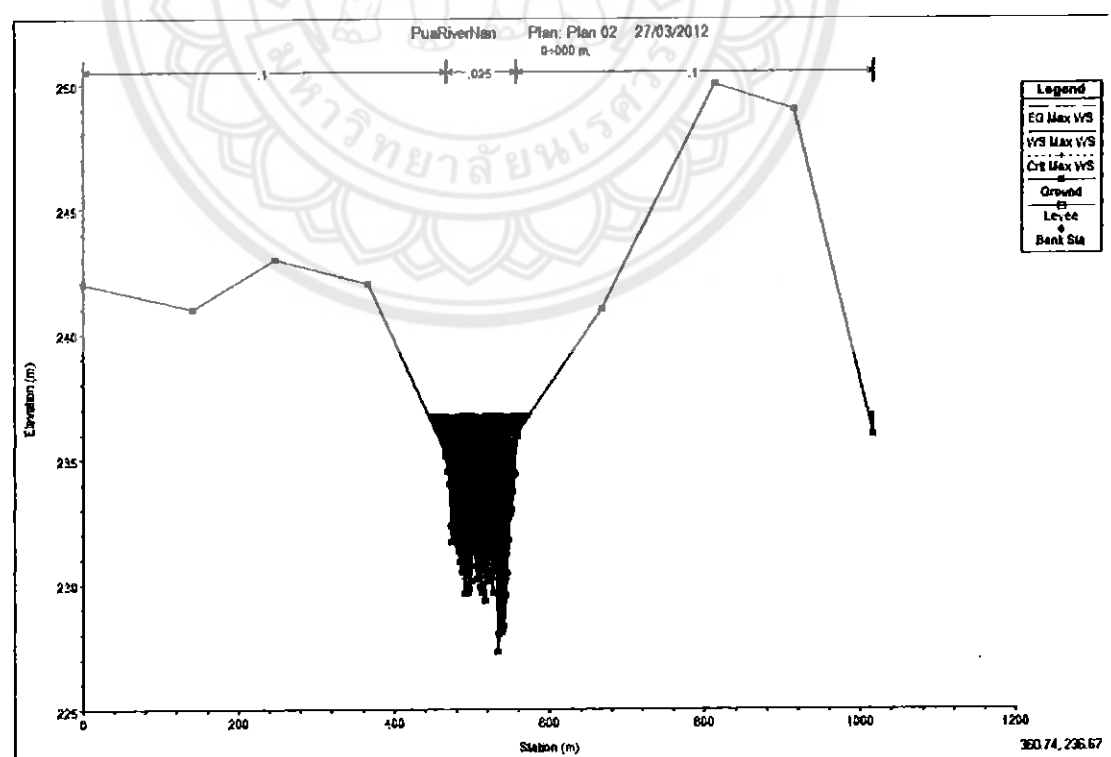
รูปที่ 3.2 ผืนที่ศึกษา แผนที่ภูมิประเทศ จากภาพถ่ายทางอากาศ กรมแผนที่ทหาร อ.บัว จังหวัดน่าน



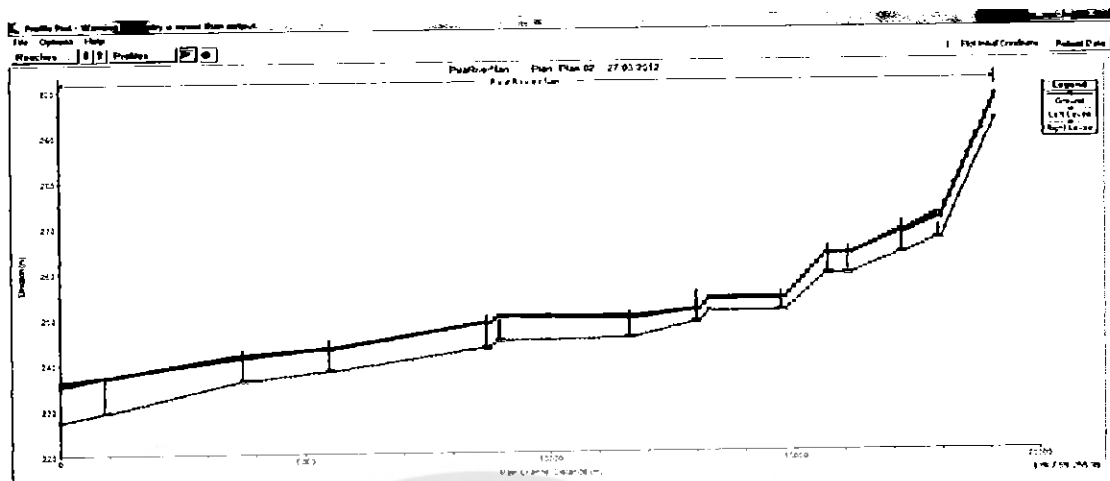
รูปที่ 3.3 ภาพถ่ายทางอากาศ Google earth บริเวณแม่น้ำป้า อำเภอป้า จังหวัดน่าน



รูปที่ 3.4 ภาพตัดขวางในแบบจำลอง ถุ่มน้ำป้า จังหวัดน่าน



รูปที่ 3.5 ตัวอย่างภาพตัดขวางในแบบจำลองที่ กิโลเมตร 0+000 ถุ่มน้ำป้า จังหวัดน่าน



รูปที่ 3.6 หน้าตัดตามยาวแม่น้ำปัว กิโลเมตรที่ 0+000 – 19+063.59 ถุ่มน้ำปัว จังหวัดน่าน

ตารางที่ 3.1 อัตราการ ไหลรายวันที่กำหนดเป็นเงื่อนไข บริเวณด้านน้ำท้ายฝายปัว
กิโลเมตรที่ 19+063.59 (สูญเสียกัมมาร์/วินาที)

| วันที่ | ก.ค. | ส.ค. |
|--------|------|------|
| 1 | 6.68 | 33.2 |
| 2 | 16.1 | 28.5 |
| 3 | 64.9 | 28.5 |
| 4 | 28.5 | 19.2 |
| 5 | 31.7 | 28.5 |
| 6 | 25.5 | 30.9 |
| 7 | 18.7 | 493 |
| 8 | 69 | 140 |
| 9 | 31.7 | 110 |
| 10 | 22.3 | 100 |
| 11 | 18.7 | 106 |
| 12 | 16.1 | 131 |
| 13 | 19.7 | 116 |
| 14 | 29.3 | 102 |
| 15 | 18.7 | 78.1 |
| 16 | 15.5 | 52.3 |

| | | |
|----|------|------|
| 17 | 17.1 | 38.7 |
| 18 | 75 | 150 |
| 19 | 96.5 | 58.4 |
| 20 | 63.6 | 63.6 |
| 21 | 46.7 | 47.8 |
| 22 | 39.6 | 36.8 |
| 23 | 32.4 | 30.1 |
| 24 | 41.5 | 28.5 |
| 25 | 39.6 | 31.7 |
| 26 | 30.9 | 32.4 |
| 27 | 23.6 | 33.2 |
| 28 | 19.7 | 24.2 |
| 29 | 35.9 | 20.3 |
| 30 | 33.2 | 18.1 |
| 31 | 34 | 16.6 |

ตารางที่ 3.2 อัตราการ ให้รายวันที่กำหนดเป็นเงื่อนไข ดำเนินร่าง
กิโลเมตรที่ 13+234 (ลูกบาศก์เมตร/วินาที)

| วันที่ | ก.ค. | ษ.ค. |
|--------|-------|-------|
| 1 | 13.4 | 107.3 |
| 2 | 7.77 | 64.6 |
| 3 | 5.6 | 57.6 |
| 4 | 4.27 | 92.5 |
| 5 | 4.01 | 88.5 |
| 6 | 3.21 | 78.5 |
| 7 | 7.15 | 50.6 |
| 8 | 5.33 | 40.6 |
| 9 | 9.46 | 32.9 |
| 10 | 9.84 | 31.5 |
| 11 | 19.75 | 25 |
| 12 | 14.3 | 21.4 |
| 13 | 11.36 | 18.48 |
| 14 | 7.46 | 25 |
| 15 | 7.77 | 50.6 |

| | | |
|----|-------|-------|
| 16 | 8.39 | 62.1 |
| 17 | 15.65 | 64.9 |
| 18 | 74.15 | 101.5 |
| 19 | 88.1 | 101.5 |
| 20 | 83.35 | 75.5 |
| 21 | 39.7 | 60.3 |
| 22 | 23.8 | 55.8 |
| 23 | 17.55 | 49.75 |
| 24 | 9.84 | 45.5 |
| 25 | 10.6 | 46.35 |
| 26 | 10.98 | 41.3 |
| 27 | 21.95 | 31.5 |
| 28 | 108.5 | 31.5 |
| 29 | 61.6 | 26.3 |
| 30 | 40.5 | 55.8 |
| 31 | 164 | 51.45 |

ตารางที่ 3.3 ระดับน้ำรายวันที่กำหนดเป็นเงื่อนไข บริเวณปากแม่น้ำ ณ จุดบรรจบแม่น้ำม่าน กิโลเมตรที่ 0+000 (เมตร)

| วันที่ | ก.ค. | ส.ค. |
|--------|--------|--------|
| 1 | 230.77 | 231.57 |
| 2 | 230.84 | 231.49 |
| 3 | 230.76 | 233.89 |
| 4 | 230.71 | 233.14 |
| 5 | 230.65 | 233.27 |
| 6 | 230.64 | 236.26 |
| 7 | 230.82 | 236.83 |
| 8 | 230.71 | 233.94 |
| 9 | 230.68 | 233.73 |
| 10 | 230.68 | 234.06 |
| 11 | 230.7 | 234.52 |
| 12 | 230.63 | 234.79 |
| 13 | 230.65 | 233.32 |
| 14 | 230.65 | 233.68 |

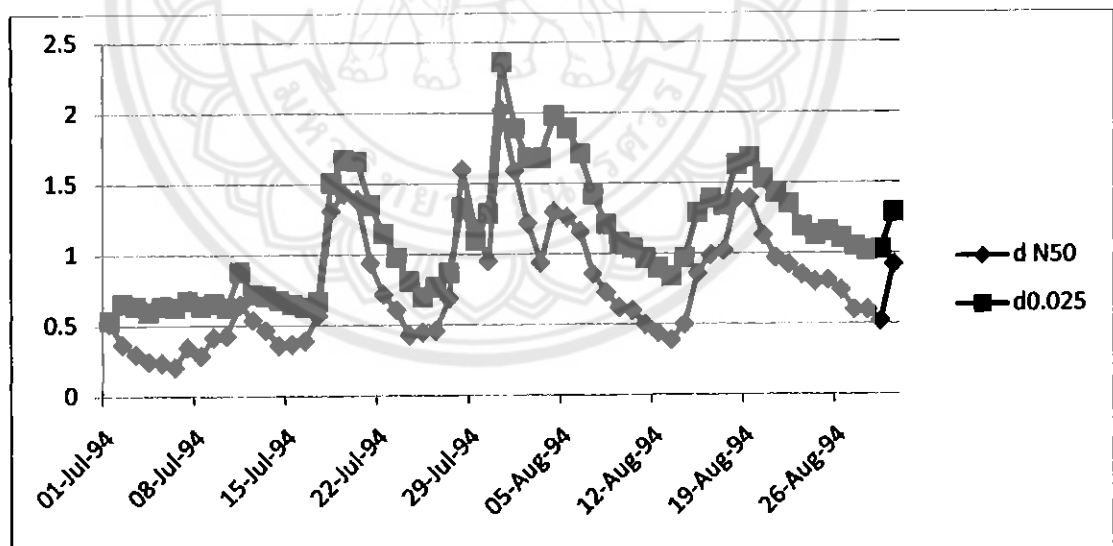
| | | |
|----|--------|--------|
| 15 | 230.62 | 233.99 |
| 16 | 230.63 | 233.41 |
| 17 | 231.66 | 233.71 |
| 18 | 235.14 | 236.32 |
| 19 | 236.46 | 236.22 |
| 20 | 232.37 | 234.2 |
| 21 | 231.45 | 233.46 |
| 22 | 233.25 | 233.78 |
| 23 | 234.68 | 233.4 |
| 24 | 232.99 | 232.78 |
| 25 | 232.98 | 234.07 |
| 26 | 233.06 | 235.37 |
| 27 | 232.39 | 236.04 |
| 28 | 232.44 | 234.51 |
| 29 | 231.87 | 234.81 |
| 30 | 231.76 | 234.93 |
| 31 | 231.65 | 235.97 |

ตารางที่ 3.4 ระดับน้ำที่สถานี N50 และการสอนเที่ยวน้ำผั่มประเพณีค่าความชุกร่องแม่น้ำ
(ค่า $\alpha = 0.025$) โดยมีค่าไกต์เคิงกับค่าระดับจริงมากที่สุด

| วัน | สถานี N50 (d N50) | ผลการทดลอง (d 0.025) |
|------------|----------------------|-------------------------|
| 01-ก.ค.-37 | 0.52 | 0.54 |
| 02-ก.ค.-37 | 0.37 | 0.66 |
| 03-ก.ค.-37 | 0.3 | 0.64 |
| 04-ก.ค.-37 | 0.25 | 0.6 |
| 05-ก.ค.-37 | 0.24 | 0.64 |
| 06-ก.ค.-37 | 0.21 | 0.63 |
| 07-ก.ค.-37 | 0.35 | 0.68 |
| 08-ก.ค.-37 | 0.29 | 0.64 |
| 09-ก.ค.-37 | 0.42 | 0.66 |
| 10-ก.ค.-37 | 0.43 | 0.63 |
| 11-ก.ค.-37 | 0.65 | 0.88 |
| 12-ก.ค.-37 | 0.54 | 0.72 |
| 13-ก.ค.-37 | 0.47 | 0.71 |

| | | |
|------------|------|------|
| 14-ก.ค.-37 | 0.36 | 0.68 |
| 15-ก.ค.-37 | 0.37 | 0.65 |
| 16-ก.ค.-37 | 0.39 | 0.63 |
| 17-ก.ค.-37 | 0.57 | 0.67 |
| 18-ก.ค.-37 | 1.31 | 1.51 |
| 19-ก.ค.-37 | 1.43 | 1.67 |
| 20-ก.ค.-37 | 1.39 | 1.66 |
| 21-ก.ค.-37 | 0.94 | 1.35 |
| 22-ก.ค.-37 | 0.72 | 1.15 |
| 23-ก.ค.-37 | 0.61 | 0.98 |
| 24-ก.ค.-37 | 0.43 | 0.81 |
| 25-ก.ค.-37 | 0.45 | 0.7 |
| 26-ก.ค.-37 | 0.46 | 0.77 |
| 27-ก.ค.-37 | 0.69 | 0.87 |
| 28-ก.ค.-37 | 1.6 | 1.33 |
| 29-ก.ค.-37 | 1.19 | 1.1 |
| 30-ก.ค.-37 | 0.95 | 1.29 |
| 31-ก.ค.-37 | 2.02 | 2.36 |
| 01-ส.ค.-37 | 1.59 | 1.89 |
| 02-ส.ค.-37 | 1.22 | 1.68 |
| 03-ส.ค.-37 | 0.94 | 1.68 |
| 04-ส.ค.-37 | 1.3 | 1.98 |
| 05-ส.ค.-37 | 1.26 | 1.89 |
| 06-ส.ค.-37 | 1.16 | 1.71 |
| 07-ส.ค.-37 | 0.86 | 1.42 |
| 08-ส.ค.-37 | 0.73 | 1.21 |
| 09-ส.ค.-37 | 0.62 | 1.08 |
| 10-ส.ค.-37 | 0.6 | 1.04 |
| 11-ส.ค.-37 | 0.5 | 0.97 |
| 12-ส.ค.-37 | 0.44 | 0.9 |
| 13-ส.ค.-37 | 0.39 | 0.84 |
| 14-ส.ค.-37 | 0.5 | 0.97 |
| 15-ส.ค.-37 | 0.86 | 1.29 |
| 16-ส.ค.-37 | 0.99 | 1.39 |
| 17-ส.ค.-37 | 1.02 | 1.34 |

| | | |
|------------|------|------|
| 18-ສ.က.-37 | 1.39 | 1.63 |
| 19-ສ.က.-37 | 1.39 | 1.68 |
| 20-ສ.က.-37 | 1.13 | 1.53 |
| 21-ສ.က.-37 | 0.97 | 1.43 |
| 22-ສ.က.-37 | 0.92 | 1.35 |
| 23-ສ.က.-37 | 0.85 | 1.19 |
| 24-ສ.က.-37 | 0.8 | 1.13 |
| 25-ສ.က.-37 | 0.81 | 1.16 |
| 26-ສ.က.-37 | 0.74 | 1.11 |
| 27-ສ.က.-37 | 0.6 | 1.05 |
| 28-ສ.က.-37 | 0.6 | 1.02 |
| 29-ສ.က.-37 | 0.52 | 1.03 |
| 30-ສ.က.-37 | 0.92 | 1.29 |



รูปที่ 3.7 กราฟเปรียบเทียบระดับน้ำจากค่าจริงและค่าจำลอง

สูตรในการคำนวณหาพื้นที่น้ำท่วมปี 2553

$$\frac{(L1+L2)}{2} * \Delta x_1 + \frac{(L0+L1)}{2} * \Delta x_0 + \frac{(L2+L3)}{2} * \Delta x_2$$

$L0$ = ค่าความยาวของหน้าตัดในช่วงที่ 1

$L1$ = ค่าความยาวทั้งหมดของหน้าตัดในช่วงที่ 1

$L2$ = ค่าความยาวของหน้าตัดในช่วงที่ 2

$L3$ = ค่าความยาวทั้งหมดของหน้าตัดในช่วงที่ 2

Δx_0 = ระยะทาง ของหน้าตัดช่วงที่ 1

Δx_1 = ระยะทาง ของหน้าตัดช่วงที่ 2

Δx_2 = ระยะทาง ของหน้าตัดช่วงที่ 3



บทที่ 4

ผลการทดลองและวิเคราะห์

4.1 ผลการทดลองและวิเคราะห์

การหาอัตราการไหล ปี พ.ศ.2553 จากการสำรวจน้ำหลักสูงสุดของฝ่ายบัว ความสูงของระดับน้ำหนึ่งสันฝายประมาณ 1.5 ม. สามารถคำนวณหาอัตราการไหล $Q = CLH^{3/2}$

$$Q = 2.1 \times 61.5 \times 1.5^{3/2}$$
$$= 237.264 \text{ ม}^3/\text{วินาที}$$

จากการสอบเทียบค่า สัมประสิทธิ์ความบรุษของแม่น้ำ(n) จะได้ค่าสัมประสิทธิ์ความบรุษของแม่น้ำ(n) ในลำน้ำหลักเท่ากับ 0.025 และบริเวณด้านซ้ายและด้านขวาลำน้ำหลักเท่ากับ 0.05 เมื่อได้ค่าสัมประสิทธิ์ความบรุษของแม่น้ำ(n) แล้ว ก็ทำการ Run โปรแกรม HEC-RAS โดยการใส่ต่ออัตราการไหลลำน้ำบัวและลำน้ำขาวง ให้บริการเทียบค่าจากสถานีวัดน้ำ N50 และ N64

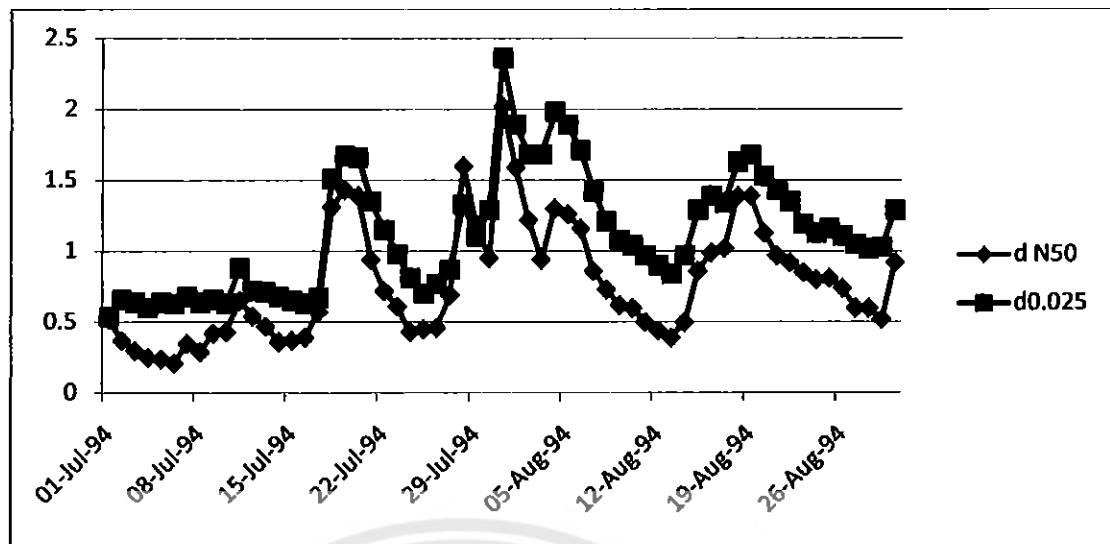
ในการใช้โปรแกรม HEC-RAS นี้ สิ่งที่ต้องการทราบคือระดับพื้นที่น้ำท่วมว่ามีความกว้างเท่าใด แล้วต้องการทราบว่าสูงขึ้นมาจกถึงฝั่งซ้ายและฝั่งขวาของลำน้ำเป็นความสูงเท่าใด แล้วนำค่าอัตราการไหล ลำน้ำบัวและลำน้ำขาวง พนวณพื้นที่น้ำท่วมประมาณ 9.089 ตร.กม.

โดยการวิเคราะห์โปรแกรมได้นำผลไปประยุกต์กับลำน้ำบัว กิโลเมตรที่ 19+063.59 ใส่ค่าอัตราการไหลที่คำแนะนำดังนี้ที่ท้ายฝายบัวและจุดบรรจบลำน้ำขาวงกับลำน้ำบัว กิโลเมตรที่ 13+234 ส่วนบริเวณปากแม่น้ำบัว ณ จุดบรรจบลำน้ำบัวและแม่น้ำน่าน ได้ใช้ค่าระดับน้ำรายวันแต่ในกรณีศึกษาไม่มีข้อมูลระดับน้ำรายวันในตำแหน่งนี้ จึงใช้การเทียบค่าระดับน้ำรายวันจากสถานี N64 ข้างผาขาวง ตามระยะทาง แล้วนำค่าสัมประสิทธิ์คั่งกล่าวมาประยุกต์กับโปรแกรมเพื่อหาพื้นที่น้ำท่วม ปี พ.ศ. 2537 ข้อมูลน้ำรายวันจากสถานี N50 กิโลเมตรที่ 13+034 ไปประยุกต์ใช้กับ ปี พ.ศ. 2553 เพื่อหาค่าระดับน้ำและพื้นที่น้ำท่วม สามารถนำไปใช้ประโยชน์ในการกำหนดระดับความสูงของพังก์น้ำตามแนวรากของคลื่น เพื่อป้องกันและบรรเทาปัญหาอุทกภัย

**ตารางที่ 4.1 ระดับน้ำที่สถานี N50 และการสอนเทียบหาสัมประสิทธิ์ค่าความชื้นของแม่น้ำ
(สมมติค่า $n = 0.025$)**

| วัน | สถานี N50 (d N50) | ผลการทดสอบ (d 0.025) |
|------------|-------------------|----------------------|
| 01-ก.ค.-37 | 0.52 | 0.54 |
| 02-ก.ค.-37 | 0.37 | 0.66 |
| 03-ก.ค.-37 | 0.3 | 0.64 |
| 04-ก.ค.-37 | 0.25 | 0.6 |
| 05-ก.ค.-37 | 0.24 | 0.64 |
| 06-ก.ค.-37 | 0.21 | 0.63 |
| 07-ก.ค.-37 | 0.35 | 0.68 |
| 08-ก.ค.-37 | 0.29 | 0.64 |
| 09-ก.ค.-37 | 0.42 | 0.66 |
| 10-ก.ค.-37 | 0.43 | 0.63 |
| 11-ก.ค.-37 | 0.65 | 0.88 |
| 12-ก.ค.-37 | 0.54 | 0.72 |
| 13-ก.ค.-37 | 0.47 | 0.71 |
| 14-ก.ค.-37 | 0.36 | 0.68 |
| 15-ก.ค.-37 | 0.37 | 0.65 |
| 16-ก.ค.-37 | 0.39 | 0.63 |
| 17-ก.ค.-37 | 0.57 | 0.67 |
| 18-ก.ค.-37 | 1.31 | 1.51 |
| 19-ก.ค.-37 | 1.43 | 1.67 |
| 20-ก.ค.-37 | 1.39 | 1.66 |
| 21-ก.ค.-37 | 0.94 | 1.35 |
| 22-ก.ค.-37 | 0.72 | 1.15 |
| 23-ก.ค.-37 | 0.61 | 0.98 |
| 24-ก.ค.-37 | 0.43 | 0.81 |
| 25-ก.ค.-37 | 0.45 | 0.7 |
| 26-ก.ค.-37 | 0.46 | 0.77 |
| 27-ก.ค.-37 | 0.69 | 0.87 |
| 28-ก.ค.-37 | 1.6 | 1.33 |
| 29-ก.ค.-37 | 1.19 | 1.1 |
| 30-ก.ค.-37 | 0.95 | 1.29 |

| | | |
|------------|------|------|
| 31-ສ.က.-37 | 2.02 | 2.36 |
| 01-ສ.က.-37 | 1.59 | 1.89 |
| 02-ສ.က.-37 | 1.22 | 1.68 |
| 03-ສ.က.-37 | 0.94 | 1.68 |
| 04-ສ.က.-37 | 1.3 | 1.98 |
| 05-ສ.က.-37 | 1.26 | 1.89 |
| 06-ສ.က.-37 | 1.16 | 1.71 |
| 07-ສ.က.-37 | 0.86 | 1.42 |
| 08-ສ.က.-37 | 0.73 | 1.21 |
| 09-ສ.က.-37 | 0.62 | 1.08 |
| 10-ສ.က.-37 | 0.6 | 1.04 |
| 11-ສ.က.-37 | 0.5 | 0.97 |
| 12-ສ.က.-37 | 0.44 | 0.9 |
| 13-ສ.က.-37 | 0.39 | 0.84 |
| 14-ສ.က.-37 | 0.5 | 0.97 |
| 15-ສ.က.-37 | 0.86 | 1.29 |
| 16-ສ.က.-37 | 0.99 | 1.39 |
| 17-ສ.က.-37 | 1.02 | 1.34 |
| 18-ສ.က.-37 | 1.39 | 1.63 |
| 19-ສ.က.-37 | 1.39 | 1.68 |
| 20-ສ.က.-37 | 1.13 | 1.53 |
| 21-ສ.က.-37 | 0.97 | 1.43 |
| 22-ສ.က.-37 | 0.92 | 1.35 |
| 23-ສ.က.-37 | 0.85 | 1.19 |
| 24-ສ.က.-37 | 0.8 | 1.13 |
| 25-ສ.က.-37 | 0.81 | 1.16 |
| 26-ສ.က.-37 | 0.74 | 1.11 |
| 27-ສ.က.-37 | 0.6 | 1.05 |
| 28-ສ.က.-37 | 0.6 | 1.02 |
| 29-ສ.က.-37 | 0.52 | 1.03 |
| 30-ສ.က.-37 | 0.92 | 1.29 |



รูปที่ 4.1 กราฟเปรียบเทียบระดับน้ำจากค่าจริงและค่าจำลอง

โดยข้อมูลอุทกศาสตร์ประกอบการจำลองการไหลในแม่น้ำป้า ได้อาศัยข้อมูลปริมาณน้ำและระดับน้ำที่วีออยู่เป็นขอบเขตและเงื่อนไขบังคับระหว่างสถานี N50, สถานี N64 และข้อมูลอัตราการไหลของน้ำในลำน้ำป้า นอกจากนี้ยังมีปริมาณน้ำท่าจากลำหัวสาขาสายต่างๆที่ไม่มีข้อมูลอุทกศาสตร์มาทดแทน ในการคำนวณปริมาณน้ำจึงใช้วิธีเทบบสัดส่วนกับพื้นที่อื่นๆ

ข้อมูลและผลการวิเคราะห์วิจัย

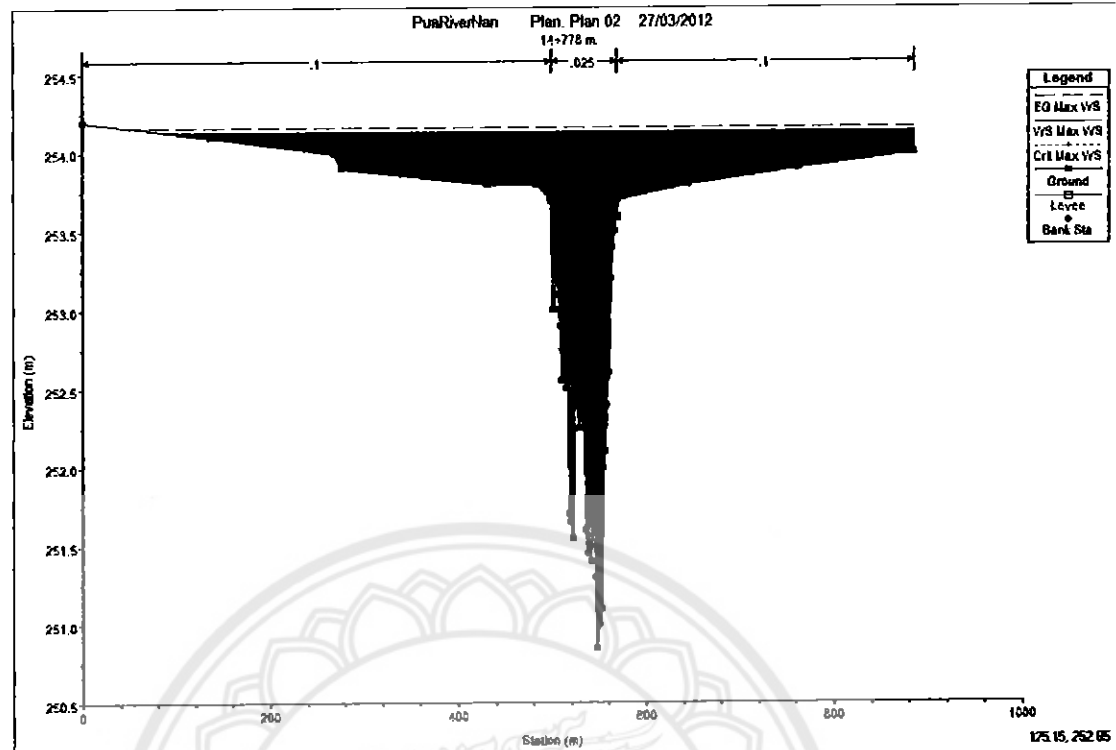
จากข้อมูลน้ำรายวัน ข้อมูลสภาพน้ำในแม่น้ำป้า แผนที่ 1 : 50000 และภาพถ่ายดาวเทียม Google Earth ในพื้นที่อำเภอปัว จังหวัดน่าน และจากสถิติอุทกภัยทราบว่า ปริมาณน้ำท่าสูงสุดที่ไหลในแม่น้ำป้า โคลบี พ.ศ. 2553 มีระดับน้ำท่วมสูงสุด

สำหรับข้อมูลที่ใช้ในแบบจำลอง HEC-RAS ประกอบไปด้วย รูปตัดขวางแม่น้ำป้า ณ สถานีวัดน้ำท่า 13 หน้าตัด และคำแนะนำที่คำนวณการเพิ่มเติมจากการศึกษาครั้งนี้ จำนวน 2 หน้า ตัด รวมเป็นระยะทางทั้งสิ้นประมาณ 19.063 กิโลเมตร (ในการวิเคราะห์ได้ interpolation รูปตัด เพิ่มเติมโดยใช้ระยะทุกๆ 200 เมตร) อัตราการไหลที่ท้ายฝายป้า กำหนดเป็น Upstream boundary ส่วนระดับน้ำที่สถานี N50 ในช่วงเวลาที่วิเคราะห์เดียวกันเป็น Lateral inflow ของแบบจำลอง ตามลำดับ ซึ่งจากข้อมูลระดับน้ำและอัตราการไหลที่ N50 เพื่อใช้สอนเทียบค่า ได้ผลของค่า สัมประสิทธิ์ความบูรณาเมณฑ์ (n) ของตัวดำเนินการค่า 0.025 และของคลื่นที่ได้จากการแบบจำลองนี้ ค่า 0.03-0.5

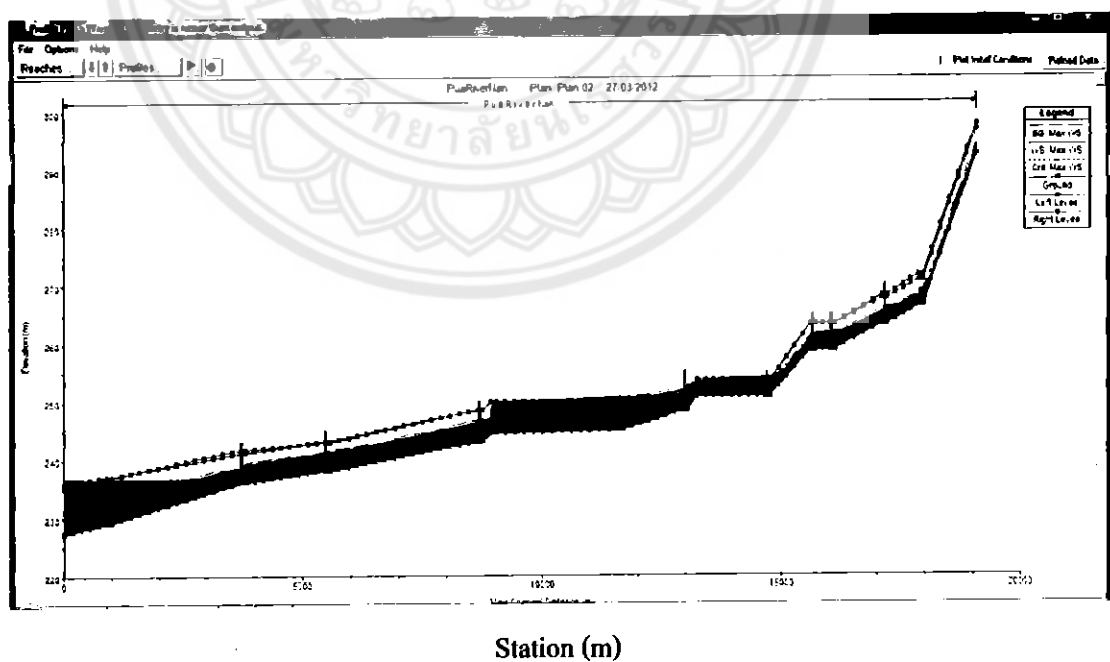
โดยปริมาณน้ำที่ไหลบ่าล้นคลื่นด้วย ผลการเปรียบเทียบในปี พ.ศ. 2537, 2553 สรุปได้ดังนี้

| สภาพน้ำใน แม่น้ำป้า | พ.ศ. 2537 | | พ.ศ. 2553 |
|--------------------------------------|------------|------------|-----------|
| | ค่าจริง | จำลอง | จำลอง |
| อัตราการไหล สูงสุด น3/ว น.รทก. | 108.50 | 119 | 491.20 |
| ระดับน้ำสูงสุด น.รทก. | 292.10 | 294 | 297.46 |
| วันที่ | 28 สิงหาคม | 28 สิงหาคม | 8 สิงหาคม |

*ระดับคลื่นที่ + 250.85 น.รทก.



รูปที่ 4.2 Main Channel Distance (km)



รูปที่ 4.3 ผลการจำลองหน้าตัดการไหลที่ผิวน้ำ ในแม่น้ำปัว ณ วันที่มีอัตราการไหลสูงสุด
ปี 2553

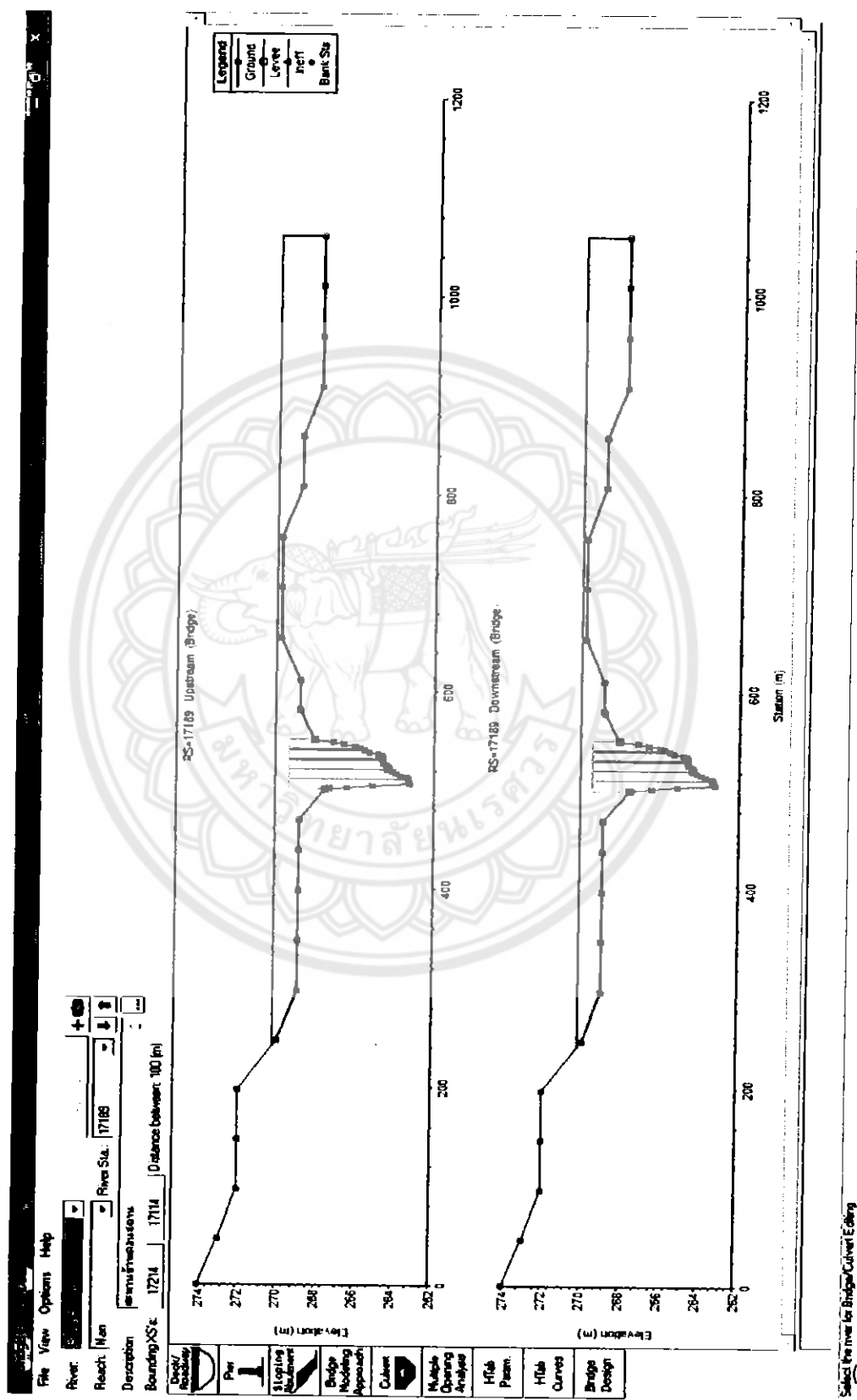
ตารางที่ 4.2 แสดงตำแหน่งและค่า n ในคิโอลเมตรต่างๆ

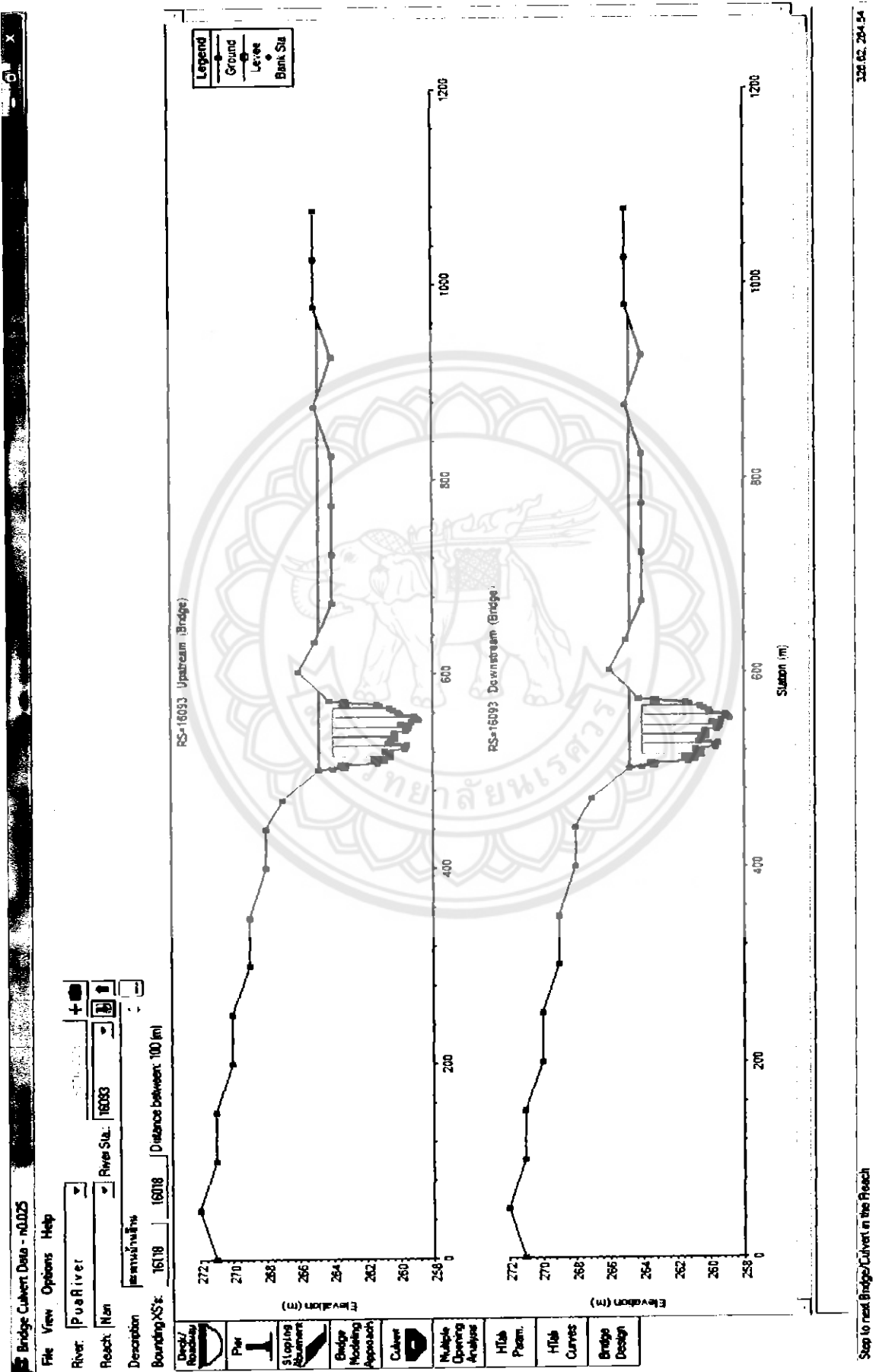
| | River Station | Frctn (n/K) | n #1 | n #2 | n #3 |
|----|---------------|-------------|------------|-------|------|
| 1 | 19063.59 | n #1 | 0.1 | 0.025 | 0.1 |
| 2 | 18880.1* | n | 0.1 | 0.025 | 0.1 |
| 3 | 18696.7* | n | 0.1 | 0.025 | 0.1 |
| 4 | 18513.2* | n | 0.1 | 0.025 | 0.1 |
| 5 | 18329.8* | n | 0.1 | 0.025 | 0.1 |
| 6 | 18146.4* | n | 0.1 | 0.025 | 0.1 |
| 7 | 17963 | n | 0.1 | 0.025 | 0.1 |
| 8 | 17938 | | Inl Struct | | |
| 9 | 17863 | n | 0.1 | 0.025 | 0.1 |
| 10 | 17700.7* | n | 0.1 | 0.025 | 0.1 |
| 11 | 17538.5* | n | 0.1 | 0.025 | 0.1 |
| 12 | 17376.2* | n | 0.1 | 0.025 | 0.1 |
| 13 | 17214 | n | 0.1 | 0.025 | 0.1 |
| 14 | 17189 | | Bridge | | |
| 15 | 17114 | n | 0.1 | 0.025 | 0.1 |
| 16 | 16914.8* | n | 0.1 | 0.025 | 0.1 |
| 17 | 16715.6* | n | 0.1 | 0.025 | 0.1 |
| 18 | 16516.4* | n | 0.1 | 0.025 | 0.1 |
| 19 | 16317.2* | n | 0.1 | 0.025 | 0.1 |
| 20 | 16118 | n | 0.1 | 0.025 | 0.1 |
| 21 | 16093 | | Bridge | | |
| 22 | 16018 | n | 0.1 | 0.025 | 0.1 |
| 23 | 15868.* | n | 0.1 | 0.025 | 0.1 |
| 24 | 15718 | n | 0.1 | 0.025 | 0.1 |
| 25 | 15693 | | Bridge | | |
| 26 | 15618 | n | 0.1 | 0.025 | 0.1 |
| 27 | 15450.* | n | 0.1 | 0.025 | 0.1 |
| 28 | 15282.* | n | 0.1 | 0.025 | 0.1 |
| 29 | 15114.* | n | 0.1 | 0.025 | 0.1 |
| 30 | 14946.* | n | 0.1 | 0.025 | 0.1 |
| 31 | 14778 | n | 0.1 | 0.025 | 0.1 |
| 32 | 14763 | | Bridge | | |
| 33 | 14678 | n | 0.1 | 0.025 | 0.1 |
| 34 | 14497.5* | n | 0.1 | 0.025 | 0.1 |
| 35 | 14317.* | n | 0.1 | 0.025 | 0.1 |
| 36 | 14136.5* | n | 0.1 | 0.025 | 0.1 |
| 37 | 13956.* | n | 0.1 | 0.025 | 0.1 |
| 38 | 13775.5* | n | 0.1 | 0.025 | 0.1 |
| 39 | 13595.* | n | 0.1 | 0.025 | 0.1 |
| 40 | 13414.5* | n | 0.1 | 0.025 | 0.1 |
| 41 | 13234 | n | 0.1 | 0.025 | 0.1 |

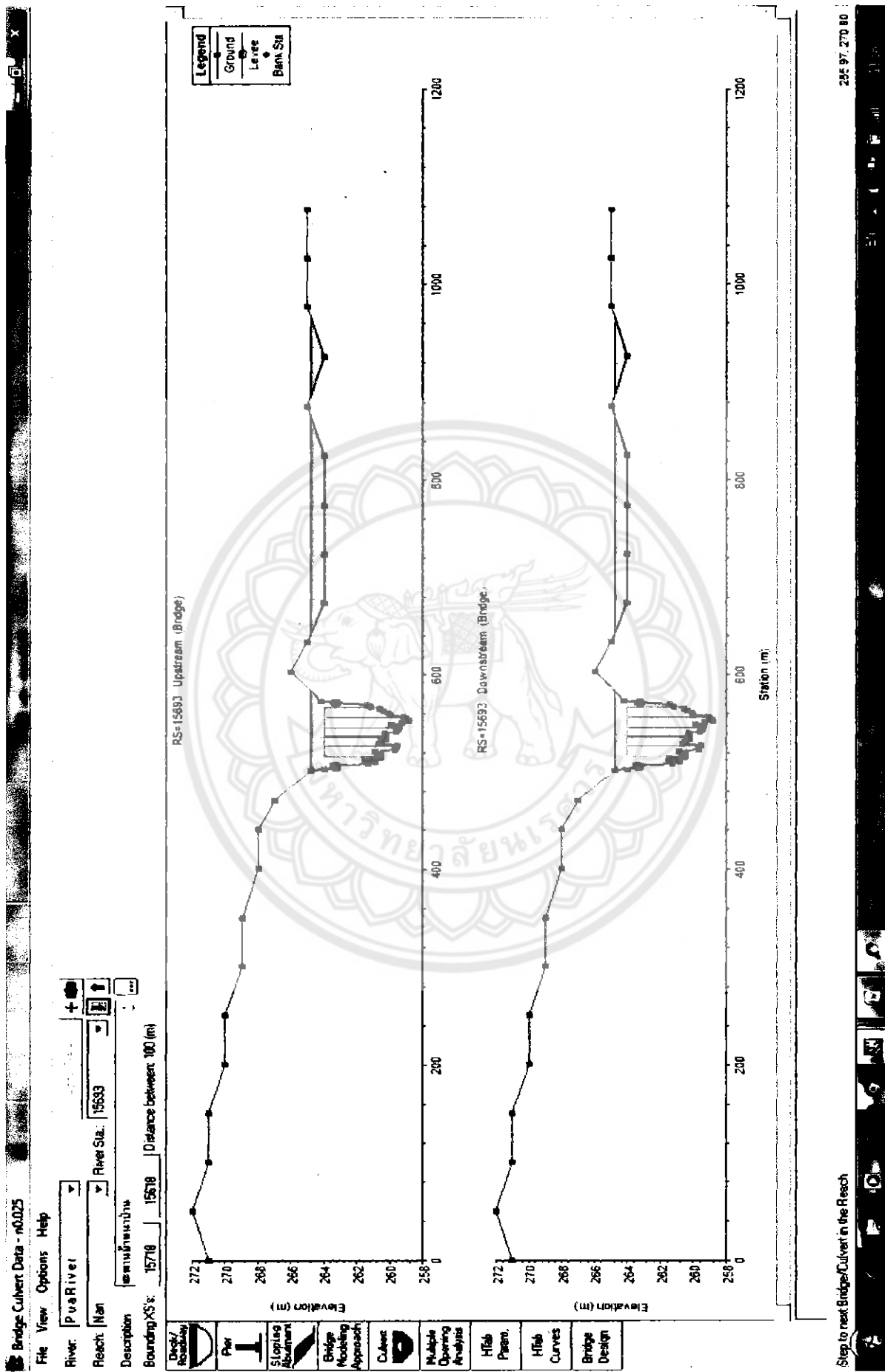
| | | | | | |
|----|----------|---|------------|-------|-----|
| 42 | 13034 | n | 0.1 | 0.025 | 0.1 |
| 43 | 13009 | | Bridge | | |
| 44 | 12934 | n | 0.1 | 0.025 | 0.1 |
| 45 | 12754.1* | n | 0.1 | 0.025 | 0.1 |
| 46 | 12574.2* | n | 0.1 | 0.025 | 0.1 |
| 47 | 12394.4* | n | 0.1 | 0.025 | 0.1 |
| 48 | 12214.5* | n | 0.1 | 0.025 | 0.1 |
| 49 | 12034.7* | n | 0.1 | 0.025 | 0.1 |
| 50 | 11854.8* | n | 0.1 | 0.025 | 0.1 |
| 51 | 11675 | n | 0.1 | 0.025 | 0.1 |
| 52 | 11650 | | Bridge | | |
| 53 | 11575 | n | 0.1 | 0.025 | 0.1 |
| 54 | 11379.1* | n | 0.1 | 0.025 | 0.1 |
| 55 | 11183.3* | n | 0.1 | 0.025 | 0.1 |
| 56 | 10987.4* | n | 0.1 | 0.025 | 0.1 |
| 57 | 10791.6* | n | 0.1 | 0.025 | 0.1 |
| 58 | 10595.7* | n | 0.1 | 0.025 | 0.1 |
| 59 | 10399.9* | n | 0.1 | 0.025 | 0.1 |
| 60 | 10204.0* | n | 0.1 | 0.025 | 0.1 |
| 61 | 10008.2* | n | 0.1 | 0.025 | 0.1 |
| 62 | 9812.38* | n | 0.1 | 0.025 | 0.1 |
| 63 | 9616.53* | n | 0.1 | 0.025 | 0.1 |
| 64 | 9420.69* | n | 0.1 | 0.025 | 0.1 |
| 65 | 9224.84* | n | 0.1 | 0.025 | 0.1 |
| 66 | 9029 | n | 0.1 | 0.025 | 0.1 |
| 67 | 9004 | | Inl Struct | | |
| 68 | 8929 | n | 0.1 | 0.025 | 0.1 |
| 69 | 8755 | n | 0.1 | 0.025 | 0.1 |
| 70 | 8735 | | Bridge | | |
| 71 | 8655 | n | 0.1 | 0.025 | 0.1 |
| 72 | 8461.75* | n | 0.1 | 0.025 | 0.1 |
| 73 | 8268.5* | n | 0.1 | 0.025 | 0.1 |
| 74 | 8075.25* | n | 0.1 | 0.025 | 0.1 |
| 75 | 7882.* | n | 0.1 | 0.025 | 0.1 |
| 76 | 7688.75* | n | 0.1 | 0.025 | 0.1 |
| 77 | 7495.5* | n | 0.1 | 0.025 | 0.1 |
| 78 | 7302.25* | n | 0.1 | 0.025 | 0.1 |
| 79 | 7109.* | n | 0.1 | 0.025 | 0.1 |
| 80 | 6915.75* | n | 0.1 | 0.025 | 0.1 |
| 81 | 6722.5* | n | 0.1 | 0.025 | 0.1 |
| 82 | 6529.25* | n | 0.1 | 0.025 | 0.1 |
| 83 | 6336.* | n | 0.1 | 0.025 | 0.1 |
| 84 | 6142.75* | n | 0.1 | 0.025 | 0.1 |
| 85 | 5949.5* | n | 0.1 | 0.025 | 0.1 |
| 86 | 5756.25* | n | 0.1 | 0.025 | 0.1 |
| 87 | 5563 | n | 0.1 | 0.025 | 0.1 |
| 88 | 5538 | | Bridge | | |

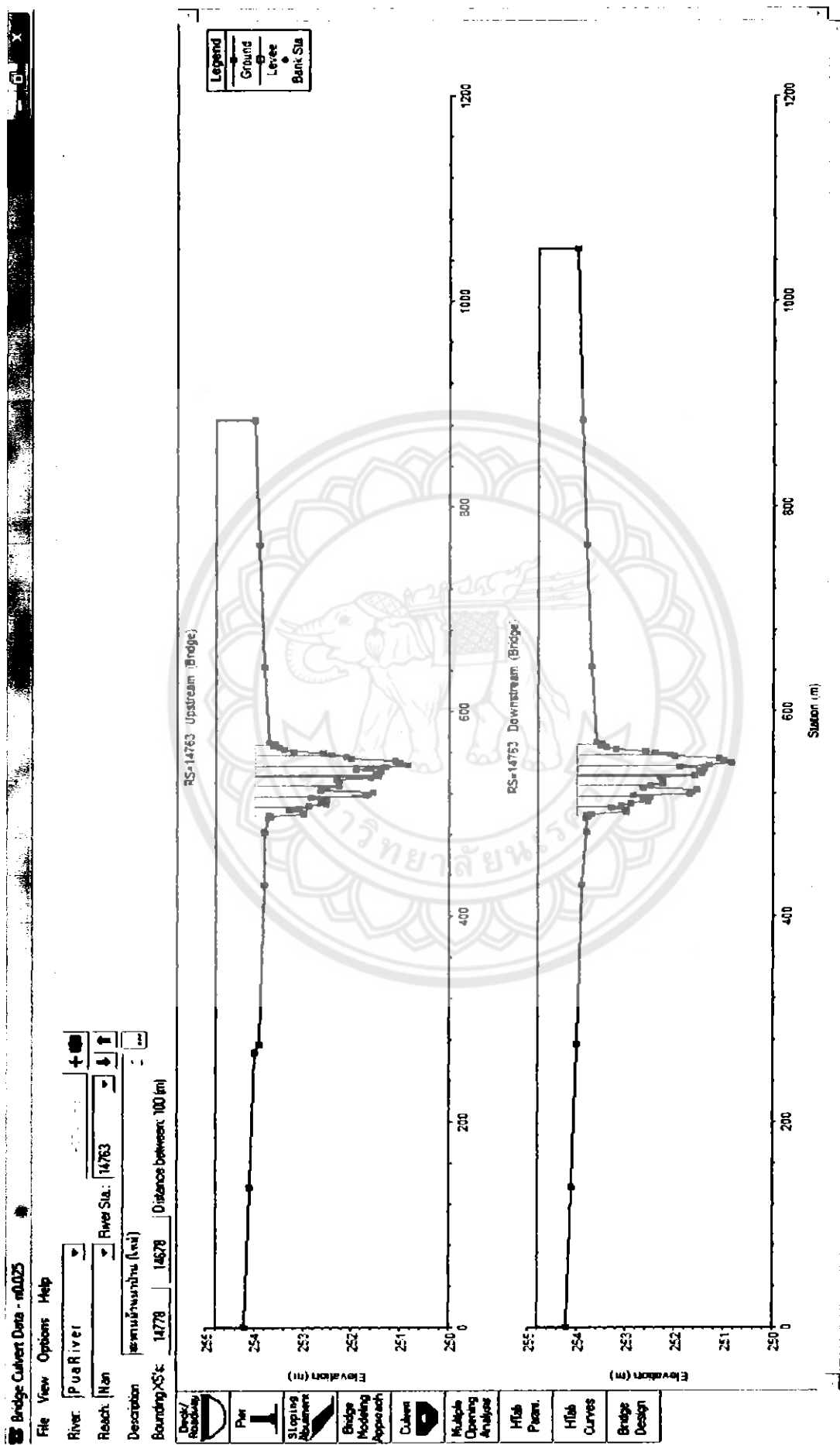
| | | | | | |
|-----|----------|--------|-----|-------|-----|
| 89 | 5463 | n | 0.1 | 0.025 | 0.1 |
| 90 | 5278.88* | n | 0.1 | 0.025 | 0.1 |
| 91 | 5094.77* | n | 0.1 | 0.025 | 0.1 |
| 92 | 4910.66* | n | 0.1 | 0.025 | 0.1 |
| 93 | 4726.55* | n | 0.1 | 0.025 | 0.1 |
| 94 | 4542.44* | n | 0.1 | 0.025 | 0.1 |
| 95 | 4358.33* | n | 0.1 | 0.025 | 0.1 |
| 96 | 4174.22* | n | 0.1 | 0.025 | 0.1 |
| 97 | 3990.11* | n | 0.1 | 0.025 | 0.1 |
| 98 | 3806 | n | 0.1 | 0.025 | 0.1 |
| 99 | 3801 | Bridge | | | |
| 100 | 3706 | n | 0.1 | 0.025 | 0.1 |
| 101 | 3512.85* | n | 0.1 | 0.025 | 0.1 |
| 102 | 3319.71* | n | 0.1 | 0.025 | 0.1 |
| 103 | 3126.57* | n | 0.1 | 0.025 | 0.1 |
| 104 | 2933.42* | n | 0.1 | 0.025 | 0.1 |
| 105 | 2740.28* | n | 0.1 | 0.025 | 0.1 |
| 106 | 2547.14* | n | 0.1 | 0.025 | 0.1 |
| 107 | 2354.* | n | 0.1 | 0.025 | 0.1 |
| 108 | 2160.85* | n | 0.1 | 0.025 | 0.1 |
| 109 | 1967.71* | n | 0.1 | 0.025 | 0.1 |
| 110 | 1774.57* | n | 0.1 | 0.025 | 0.1 |
| 111 | 1581.42* | n | 0.1 | 0.025 | 0.1 |
| 112 | 1388.28* | n | 0.1 | 0.025 | 0.1 |
| 113 | 1195.14* | n | 0.1 | 0.025 | 0.1 |
| 114 | 1002 | n | 0.1 | 0.025 | 0.1 |
| 115 | 997 | Bridge | | | |
| 116 | 902 | n | 0.1 | 0.025 | 0.1 |
| 117 | 721.6* | n | 0.1 | 0.025 | 0.1 |
| 118 | 541.2* | n | 0.1 | 0.025 | 0.1 |
| 119 | 360.799* | n | 0.1 | 0.025 | 0.1 |
| 120 | 180.4* | n | 0.1 | 0.025 | 0.1 |
| 121 | 0 | n | 0.1 | 0.025 | 0.1 |

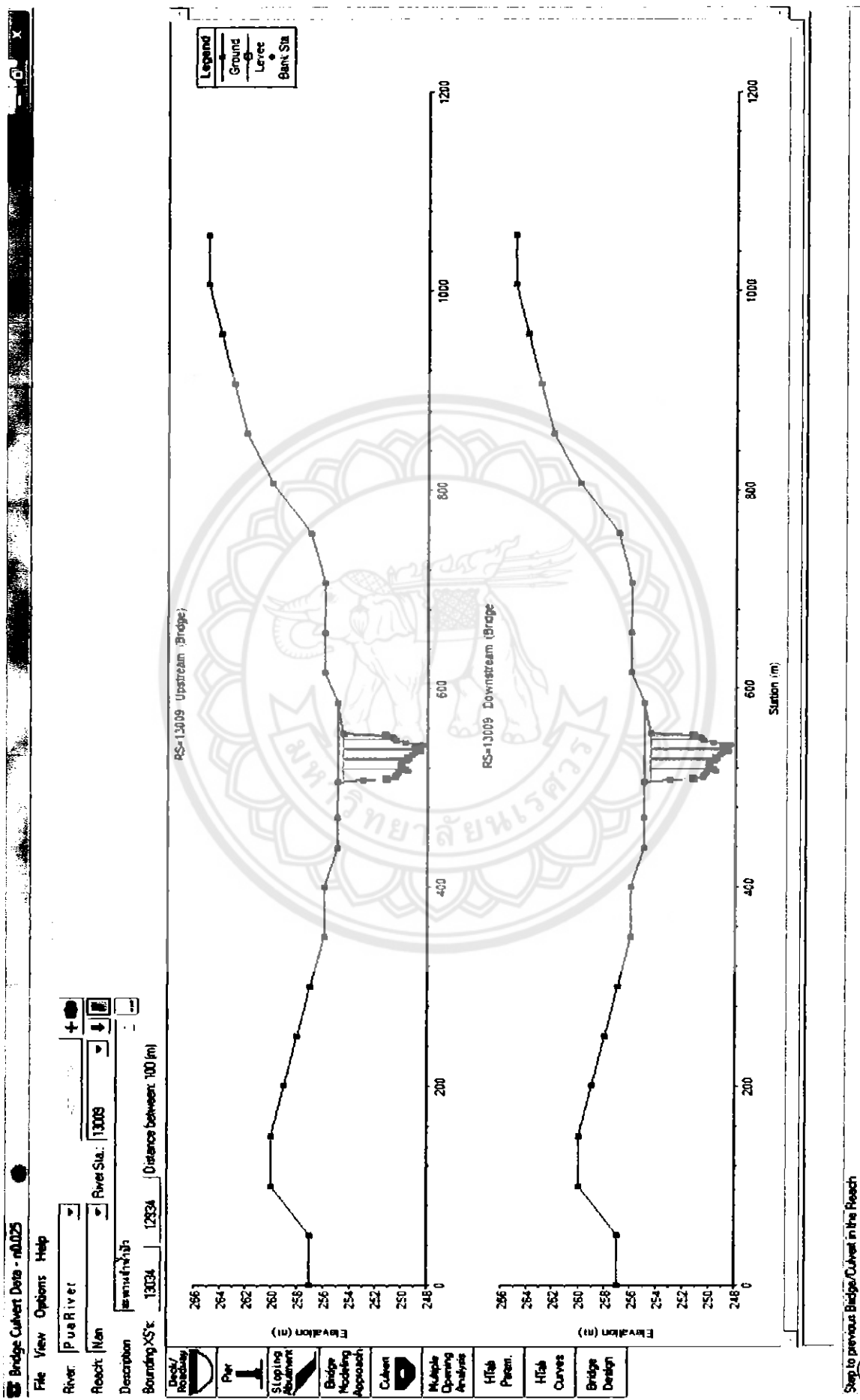
รูปที่ 4.4 แต่ง苟าต์คุณภาพสะพานในกิโลเมตรต่างๆ ในถ้ำน้ำ

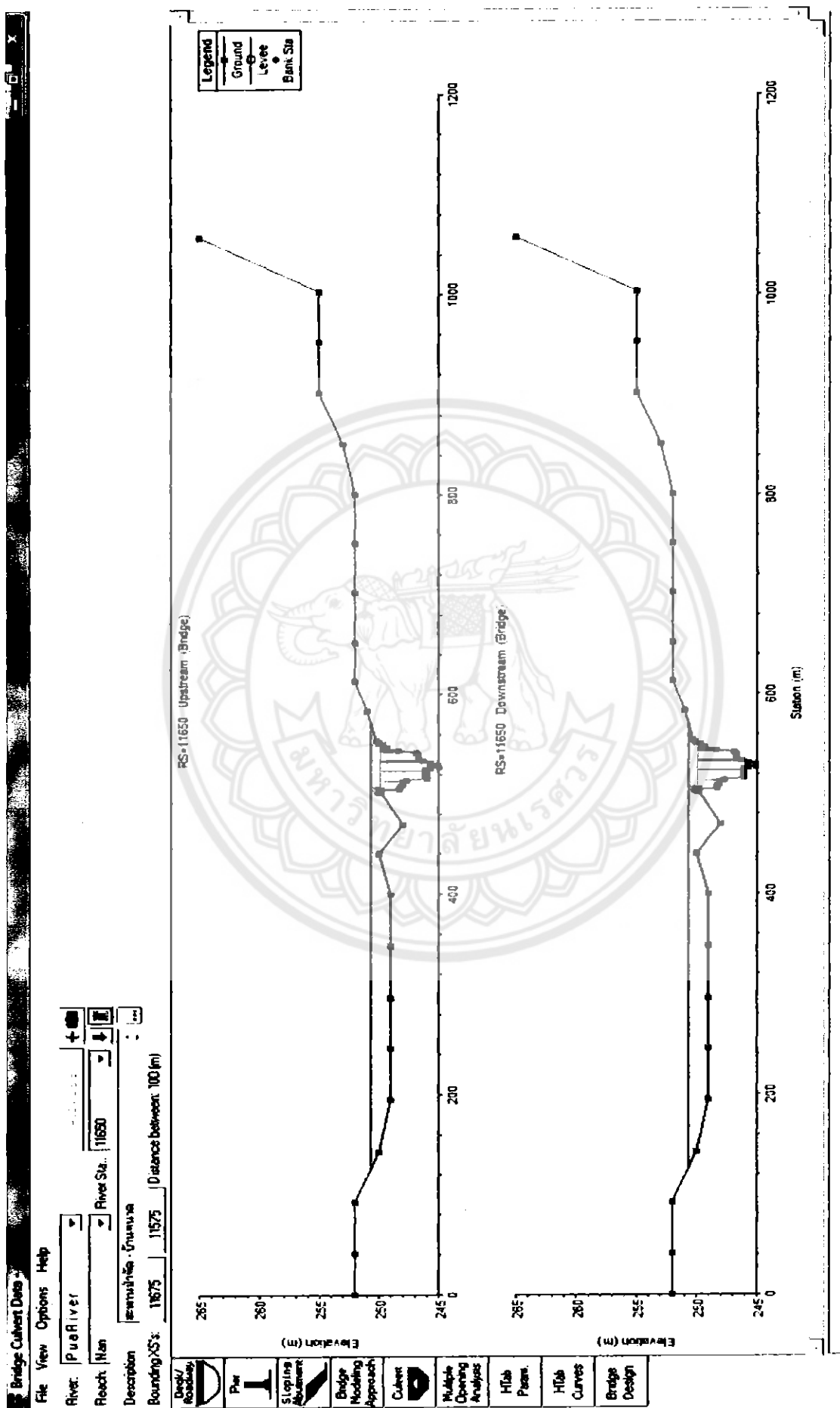






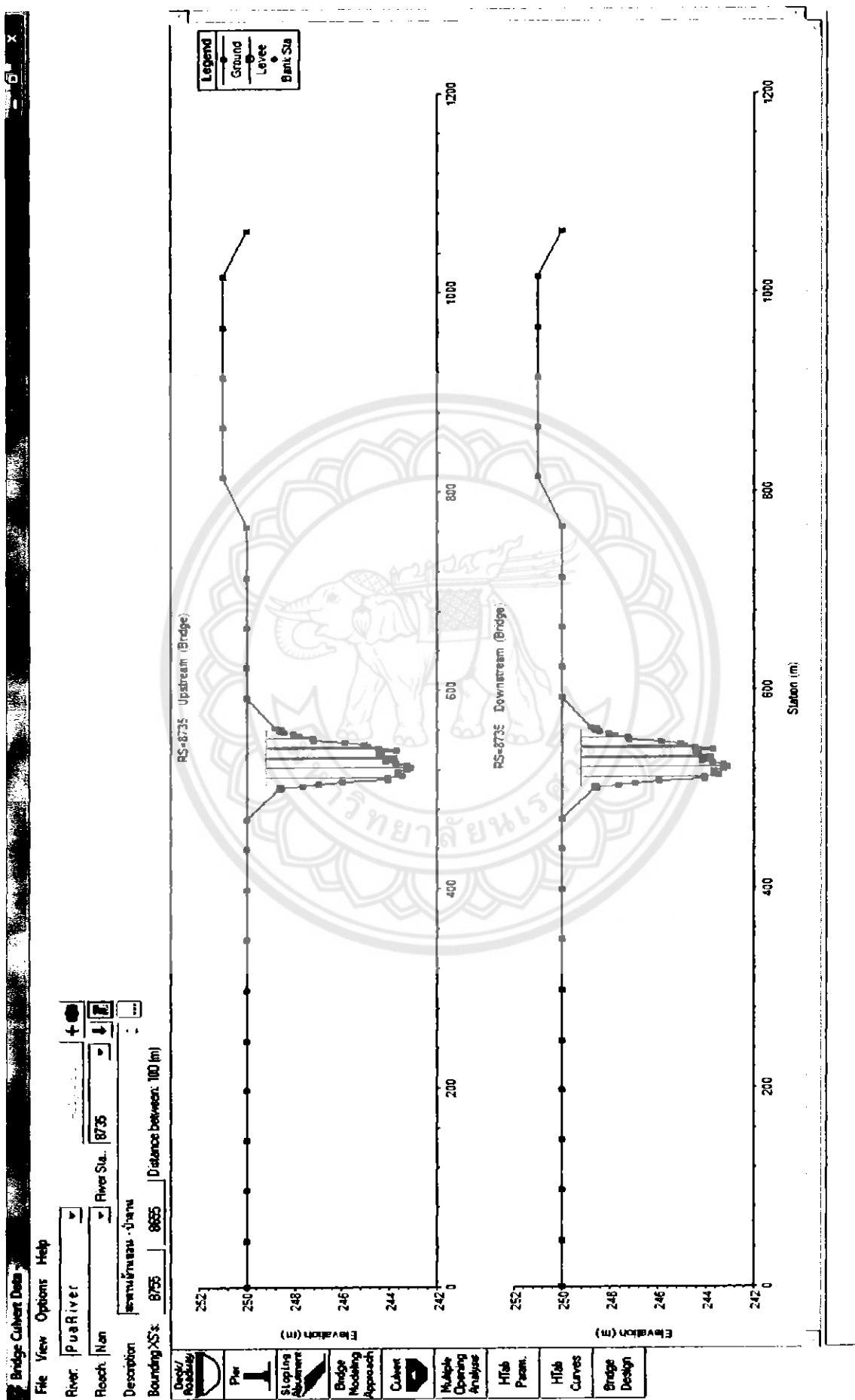


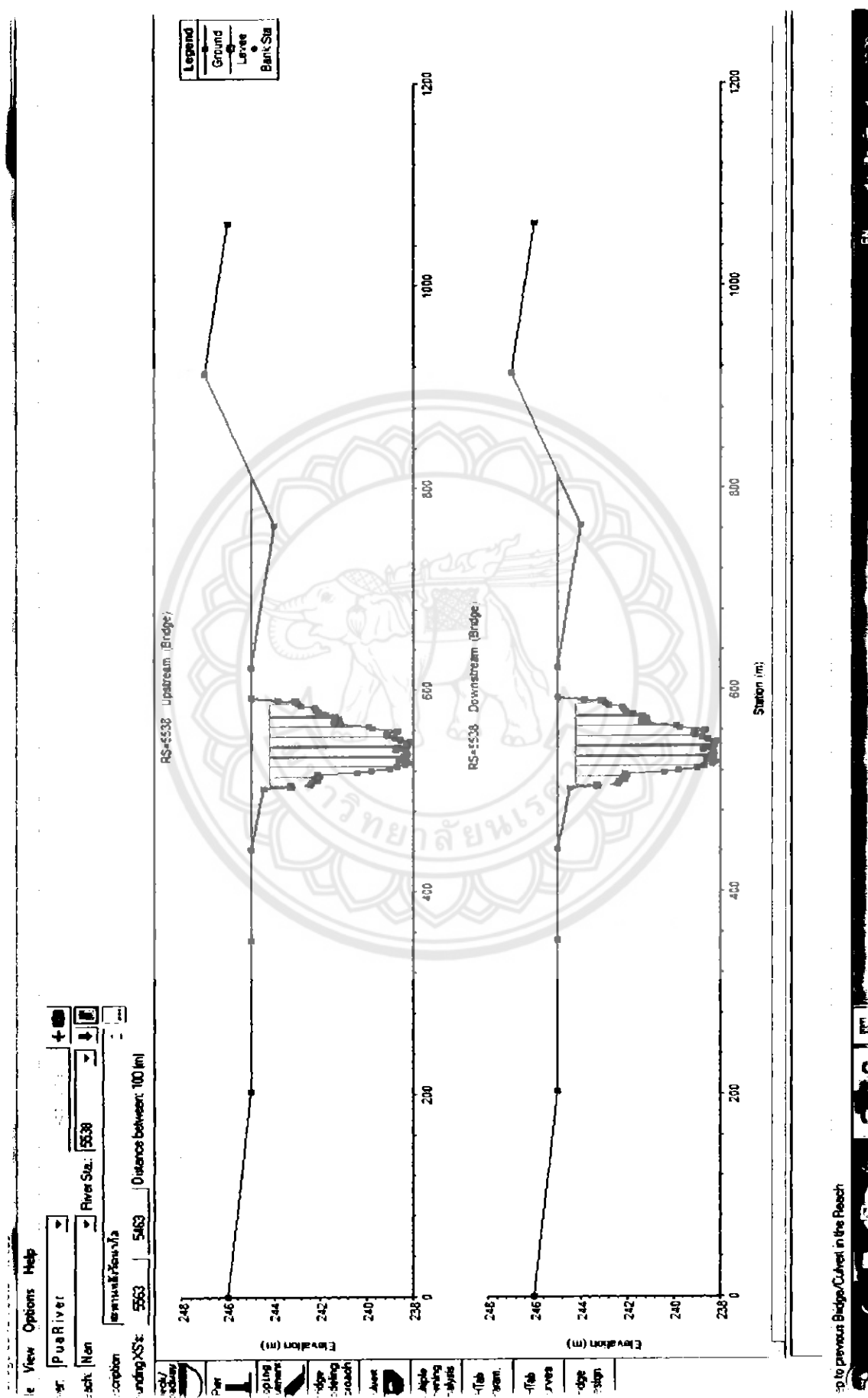


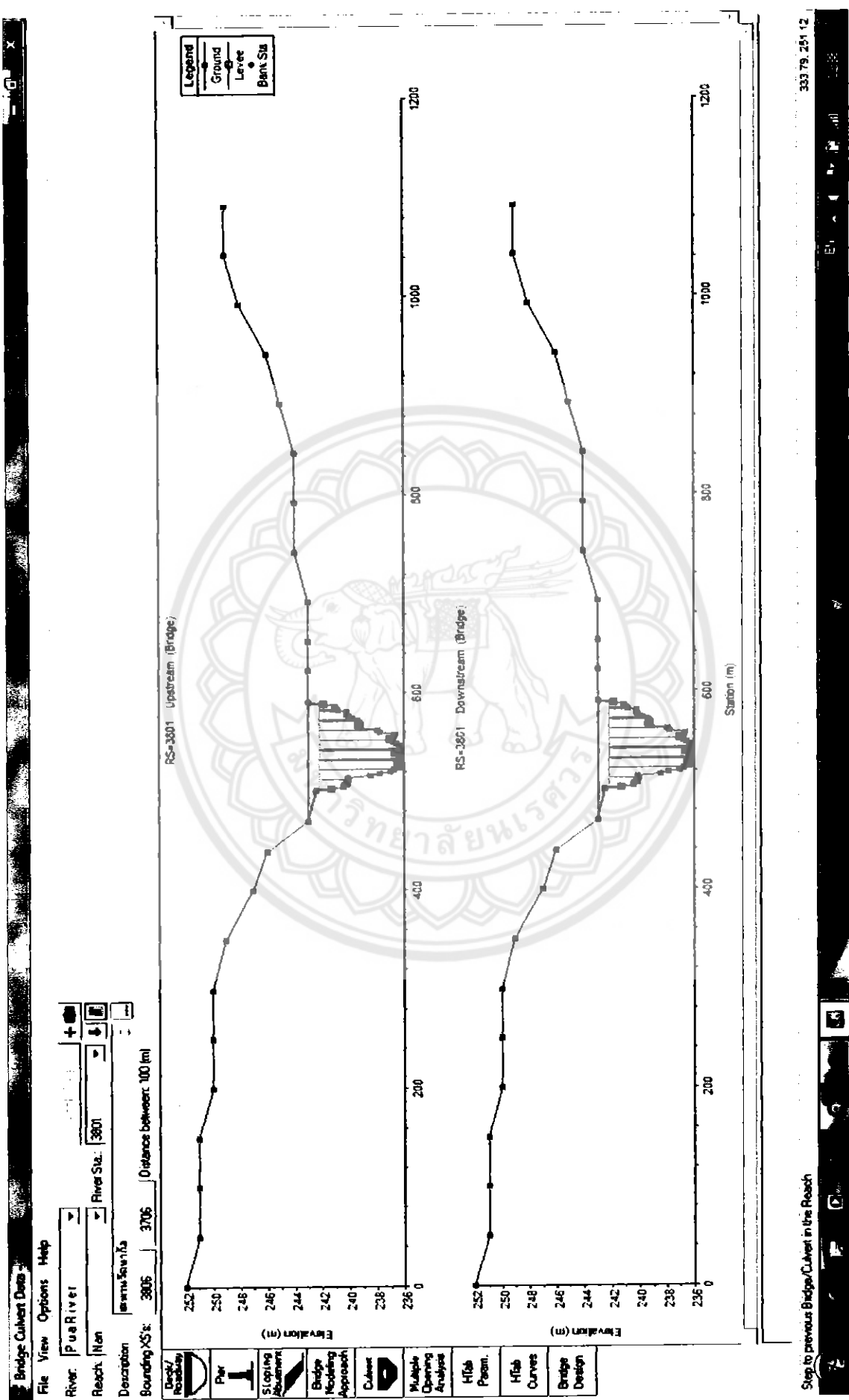


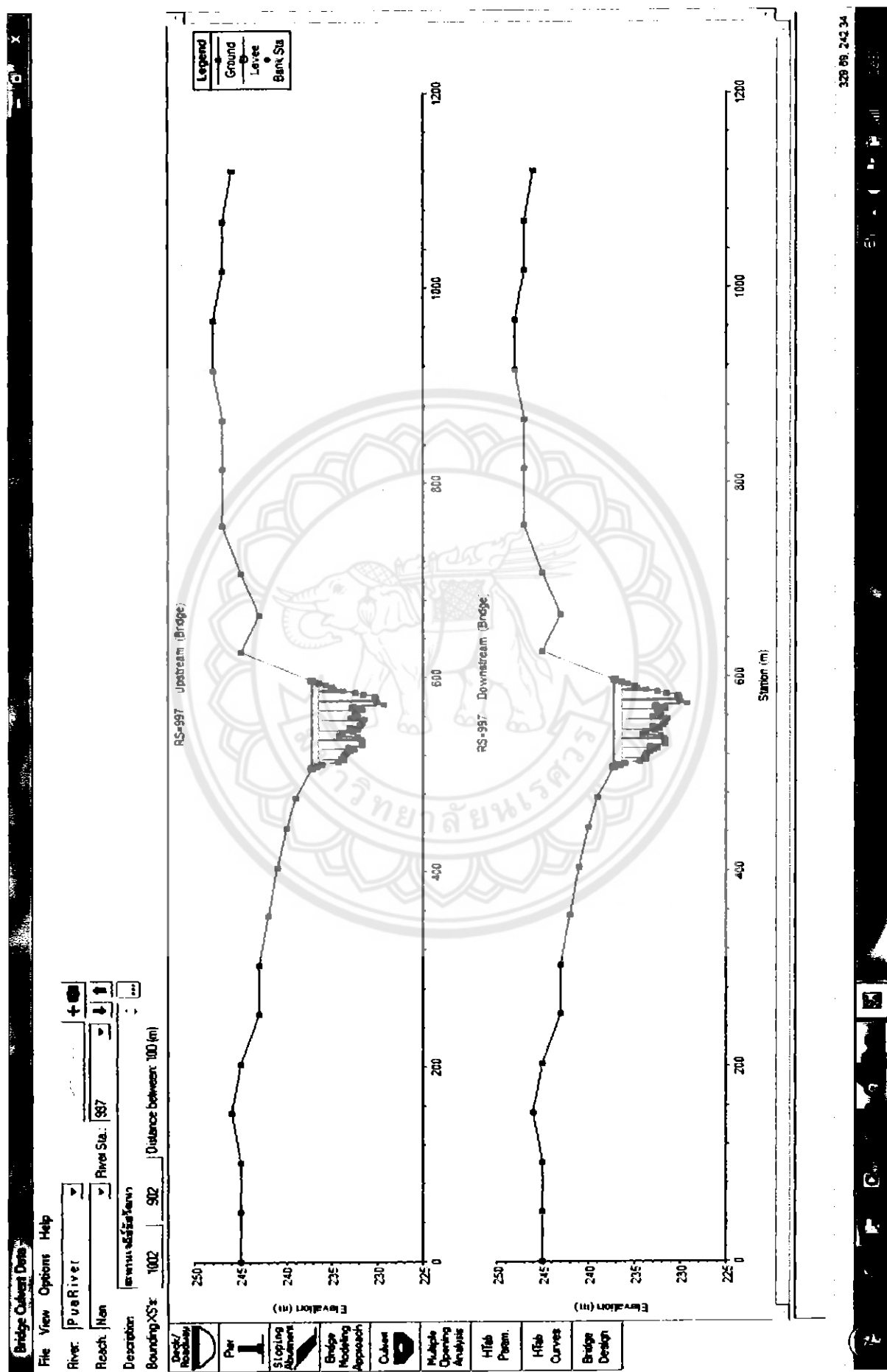
Step to previous Bridge/Culvert in the Reach

348.12.2013.59









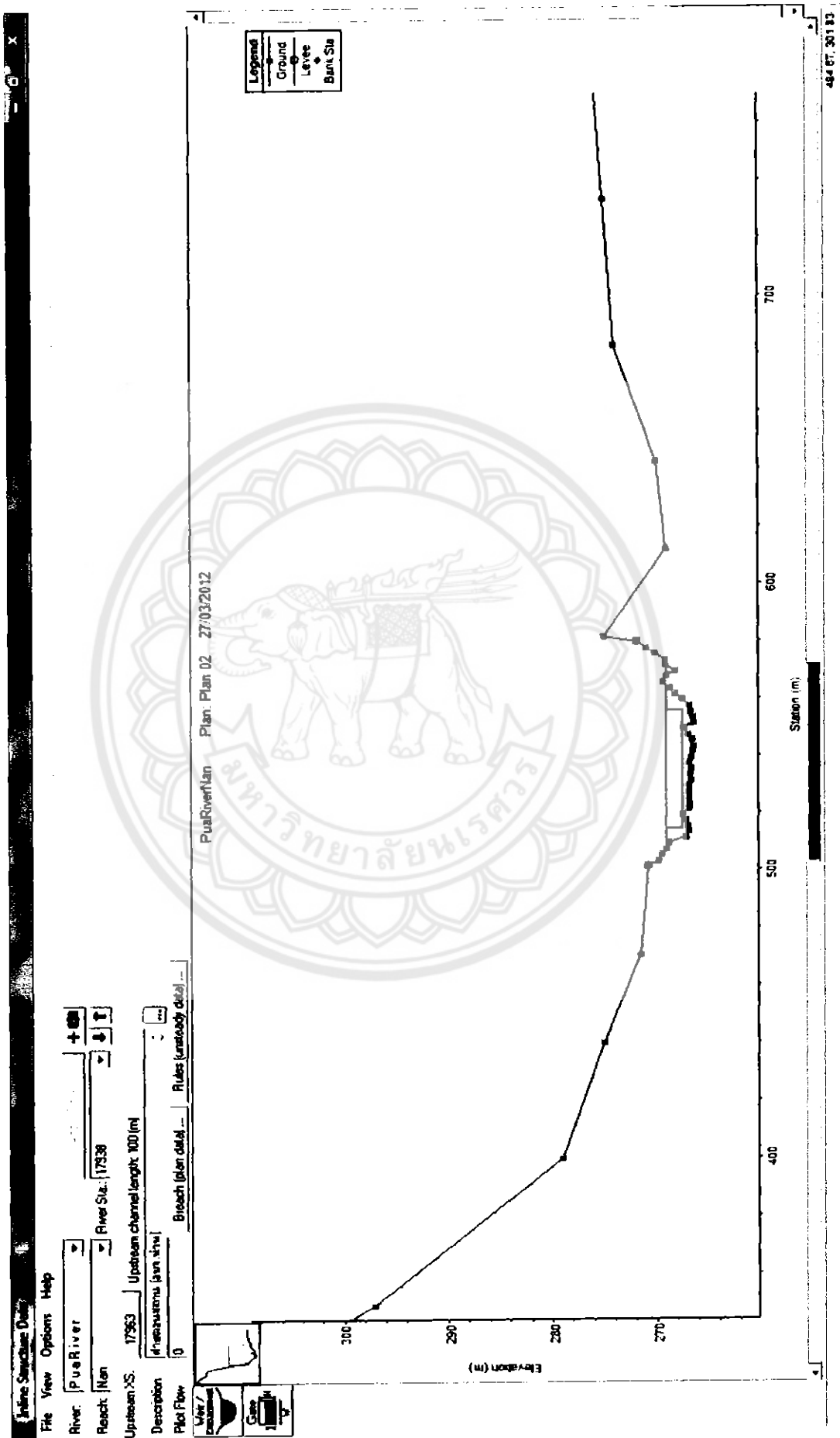
รูปที่ 4.5 แต่งตั้งค่าคูณของประตูสำหรับช่องน้ำ

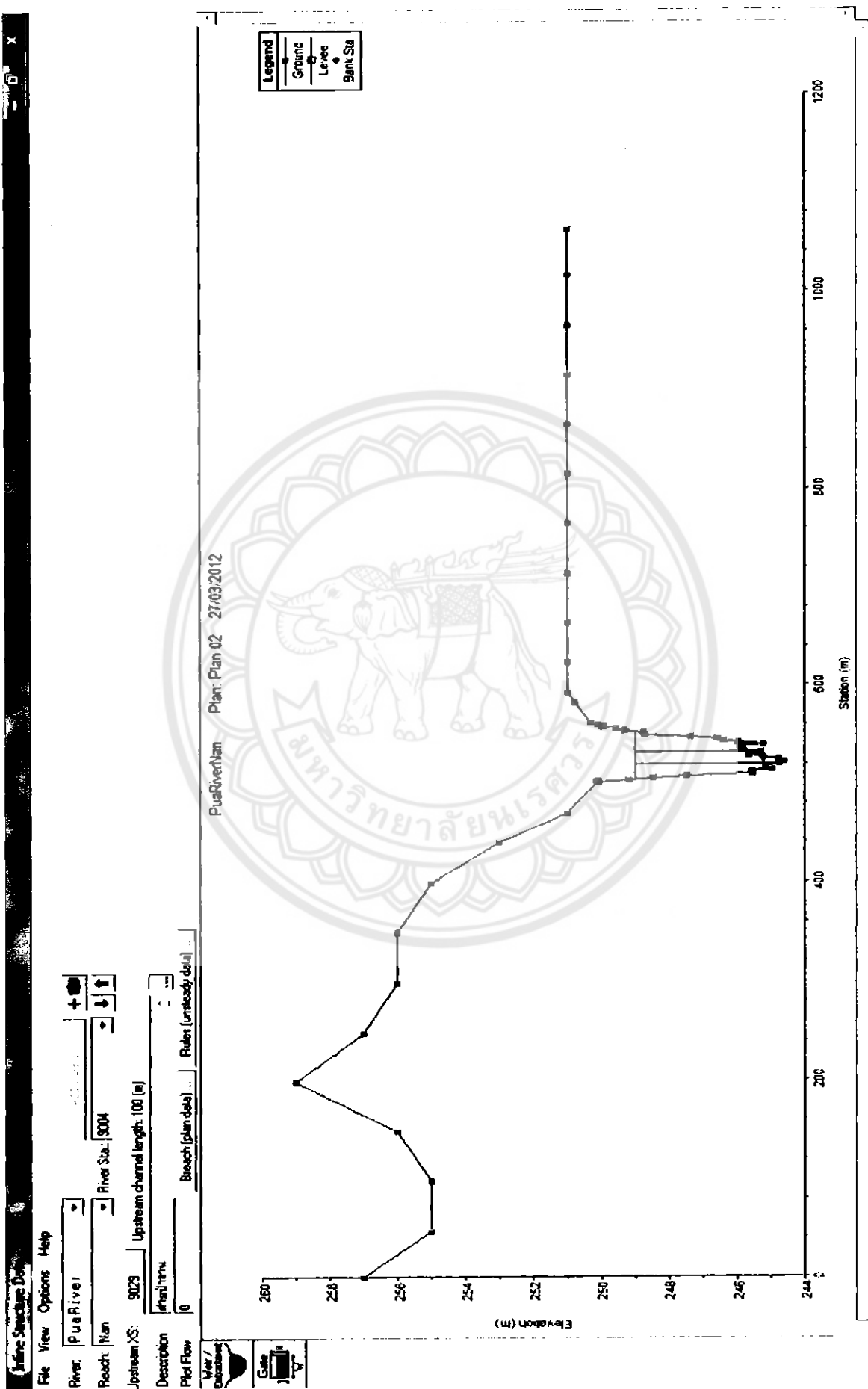
Weir and Gate Coefficient Table

| Location | Overflow Weir Coef | Sluice Gate Coef | Radial Gate Coef | Gate Office Coef | Gate Weir Coef |
|--------------------------|--------------------|------------------|------------------|------------------|----------------|
| 1 Pua River Nan 17938 IS | 2.18 | 0.6 | 0.6 | 0.8 | 2.18 |
| 2 Pua River Nan 9004 IS | 1.4 | 0.6 | 0.6 | 0.8 | 2.18 |

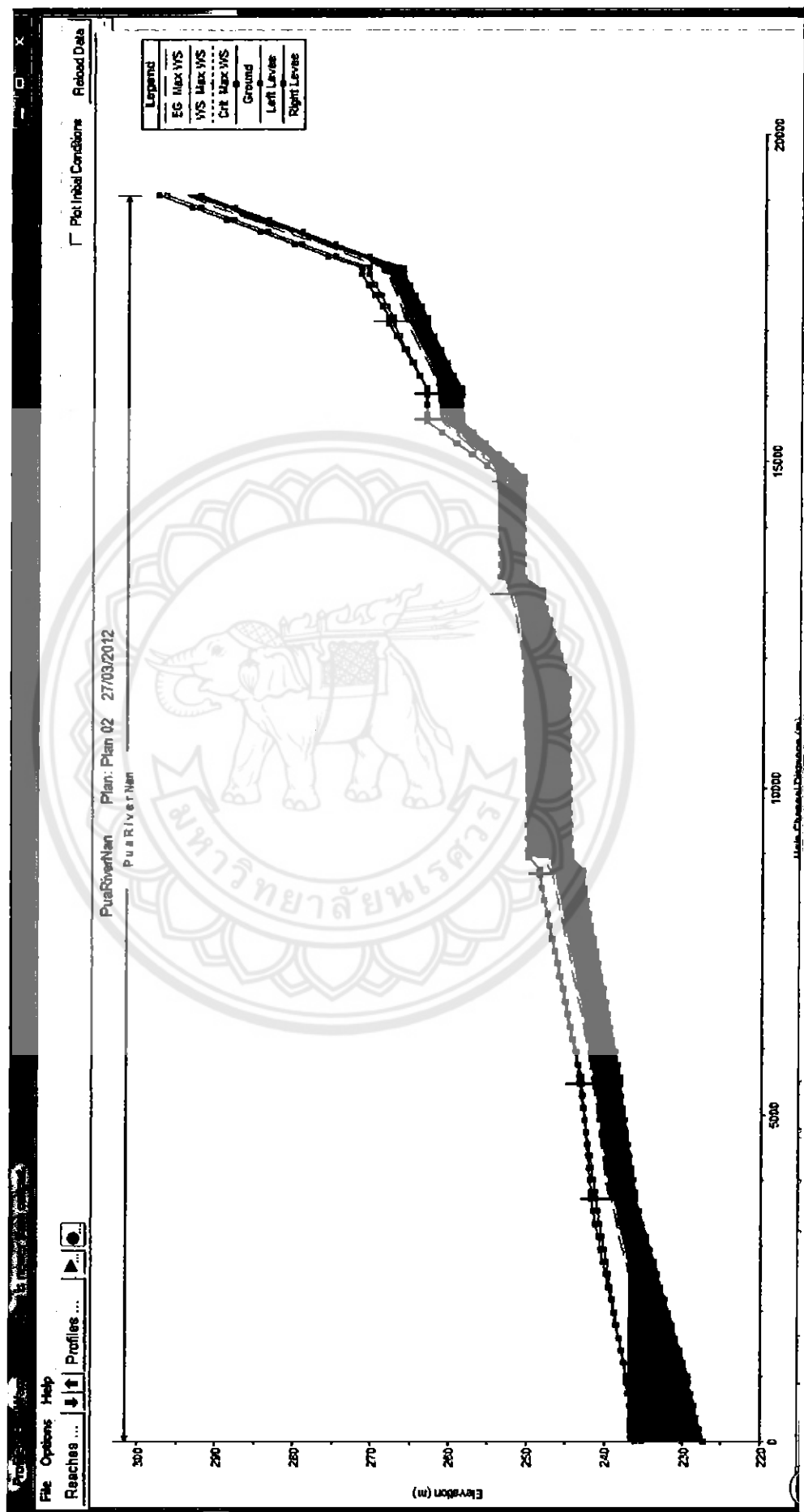
Selected Area Edit Options

รูปที่ 4.6 แสดงกราฟตัดตามของผาด่าน้ำ

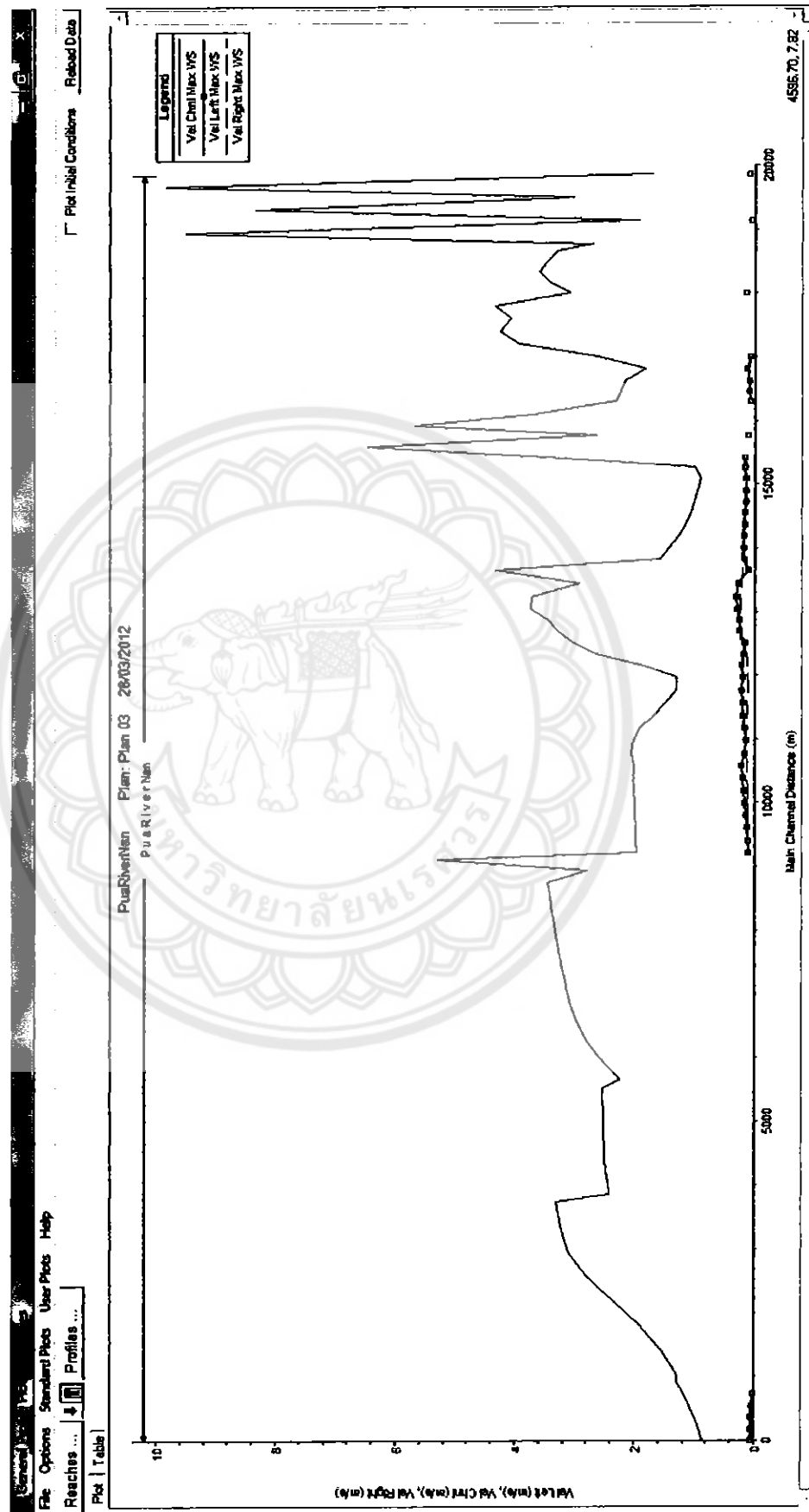




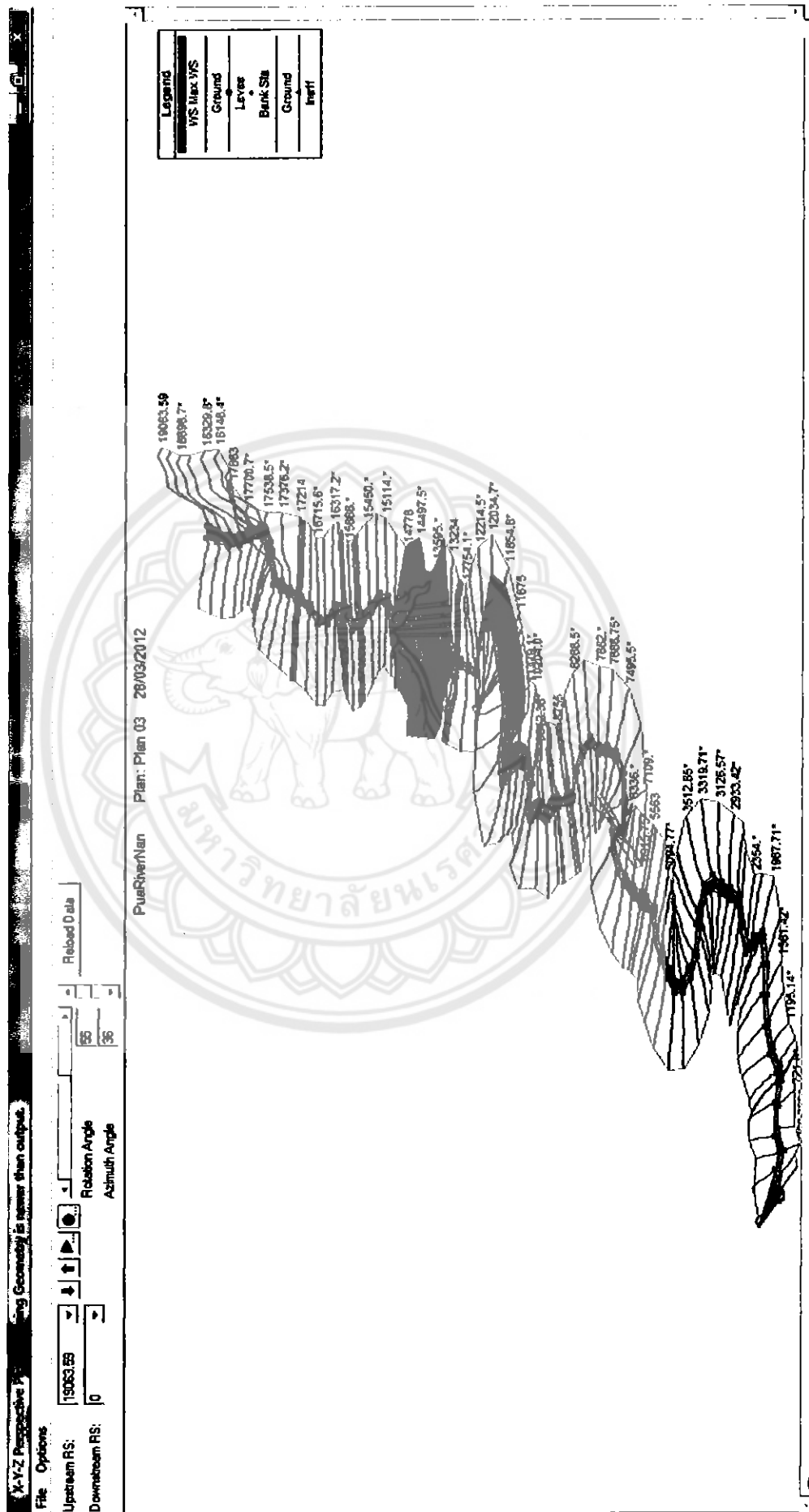
รูปที่ 4.7 แสดงรูปตัดตามยาวในรั้นที่เนินมาก วันที่ 8 สิงหาคม 2553



รูปที่ 4.8 แสดงการเปรียบเทียบถึงกิจกรรมทางกายภาพเร็วๆ ตามระยะเวลาในวันที่ 8 สิงหาคม สำหรับ



รูปที่ 4.9 กារพฒนาນິຕີ ແລະ ຈຳກັດໜີ້ທຸວມໃນວັນທີ 8 ຕົກລາຄນ 2553 ໃນວັນທີນີ້ກົມາຍັນເນັ້ນມາກີ່ສຸດ



สูตรในการคำนวณหาพื้นที่น้ำท่วมปี 2553

$$\frac{(L1+L2)}{2} * \Delta x_1 + \frac{(L3+L4)}{2} * \Delta x_2 + \frac{(L5+L6)}{2} * \Delta x_3$$

หน้าตัดที่ 1,2,3

$$\frac{(2014.95+53.8)}{2} * 0.65 + \frac{(6949.11+7106.89)}{2} * 0.25 + \frac{(74.01+1.72)}{2} * 0.69$$

$$672.34 + 1757 + 26.12 = 2455.46 \text{ ตารางเมตร}$$

$$\text{พื้นที่น้ำท่วมทั้งหมด} = 2.455 \text{ ตารางกิโลเมตร}$$



รูปที่ 4.10 ภาพแสดงพื้นที่น้ำท่วมทั้งหมด ปี 2553 พื้นที่ 2.455 ตารางกิโลเมตร

บทที่ 5

บทสรุปและข้อเสนอแนะ

5.1 สรุปผล

โปรแกรมการจำลอง HEC-RAS หากวานสัมพันธ์ของระดับน้ำและปริมาณน้ำรายวันในอุ่นแม่น้ำป้า เป็นแบบจำลองสำหรับวิเคราะห์ทางค้านชลศาสตร์ในหนึ่งวัน ประกอบด้วยการจำลองการไหลแบบไม่คงตัว Unsteady Flow

สามารถนำไปประยุกต์กับลำน้ำป้าได้โดยเริ่มที่ กิโลเมตรที่ 19+063.59 ใส่ค่าอัตราการไหลที่คำแนะนำต้นน้ำที่ท้ายฝายปัวและจุดบรรจบลำน้ำบัวงกับลำน้ำป้า กิโลเมตรที่ 13+234 ส่วนบริเวณปากแม่น้ำป้า ณ จุดบรรจบลำน้ำปัวและแม่น้ำบัวง ได้ใช้ค่าระดับน้ำรายวันแต่ในกรณีศึกษาไม่มีข้อมูลระดับน้ำรายวันในคำแนะนำนั้น จึงใช้การเทียบค่าระดับน้ำรายวันจากสถานี N64 บ้านพากวาง ตามระยะทาง จากผลการทดสอบได้ค่าสัมประสิทธิ์ความชุกระของแม่น้ำที่ 0.025 แล้วนำค่าสัมประสิทธิ์ดังกล่าวมาประยุกต์กับโปรแกรมเพื่อหาพื้นที่น้ำท่วม ปี พ.ศ. 2537 ข้อมูลน้ำรายวันจากสถานี N50 กิโลเมตรที่ 13+034 ไปประยุกต์ใช้กับ ปี พ.ศ. 2553 เพื่อหาค่าระดับน้ำและพื้นที่น้ำท่วมได้พื้นที่น้ำท่วม 8.098 ตารางกิโลเมตร สามารถนำไปใช้ประโยชน์ในการกำหนดระดับความสูงของพังกันน้ำตามแนวรากของต้น เพื่อป้องกันและบรรเทาปัญหาอุทกภัย

และเนื่องจากโครงงานนี้ต้องอาศัยข้อมูลจากหลายแหล่ง รวมถึงการออกไปสำรวจพื้นที่ที่ต้องทำจริง และเป็นพื้นที่ไม่คุ้นเคยจึงทำให้เก็บข้อมูลมาได้ลำบาก และอุ่นน้ำป้ามีการเปลี่ยนสภาพทางน้ำ จึงค่อนข้างยากต่อการสำรวจ

5.2 ข้อเสนอแนะ

5.2.1 โดยการวิเคราะห์โปรแกรม HEC-RAS ซึ่งมีขีดจำกัดคือในหนึ่งหน้าตัดการไหลมีได้ 500 ชุด

5.2.2 เนื่องจากโปรแกรมมีความอ่อนไหว ควรที่จะใช้ค่าความถี่ของเวลาในการรันโปรแกรมไม่ควรเกิน 5 นาทีระยะทางระหว่างหน้าตัดควรมีค่าน้อย ๆ แต่ไม่ควรเกิน 200 m. เพื่อที่โปรแกรมจะได้สามารถทำงานได้อย่างมีประสิทธิภาพมากยิ่งขึ้น

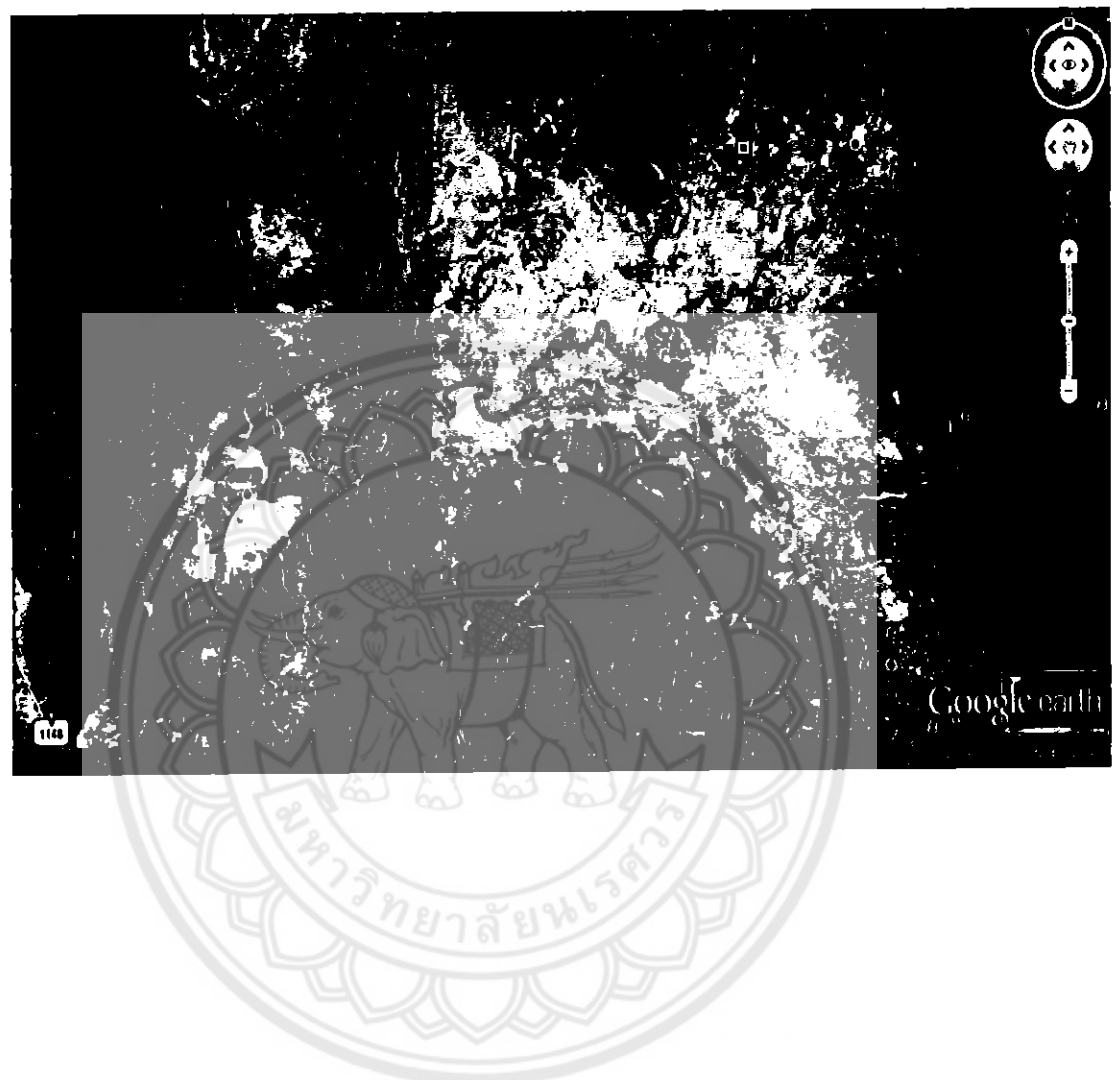
เอกสารอ้างอิง

- [1] V.T. Chow, D.R. Maidment, L.W. Mays. (1988). "Applied hydrology". McGraw-Hill: International Edition.
- [2] U.S. Army Corps of Engineers. (2001). "HEC-RAS River analysis system: Hydraulics reference manual version 4.1". Retrieved from <http://www.hec.usace.army.mil>. Public distribution unlimited.
- [3] รศ.ดร. สมบัติ ชื่นชูกลีน, วารสารวิศวกรรม มหาวิทยาลัยนเรศวร แบบจำลองวิเคราะห์การไหล หลากหลายแม่น้ำกับการวางแผนคลองผ่านน้ำเพื่อลดอุทกภัย กรณีศึกษาแม่น้ำป่าสัก จังหวัดเพชรบูรณ์ River Analysis Simulation Model of Main River and Diversion Channel Planning for Flood Delineation: Case Study for Pasak River, Phetchabun Province





รูปที่ 1 แผนที่จาก Google Earth



**ตารางที่ 5.1 การหาค่าระดับน้ำที่ สถานี N64 บ้านนาขวาง
บริเวณปากแม่น้ำป้า ณ จุดบรรจบแม่น้ำน่าน**

| วันที่ | สถานี N64 ระดับน้ำ รายวัน | น้ำ รายวัน | ค่าอัตราการ ไหลท้าย ฝายป้า | ค่าอัตรา การไหล ณ จุดบรรจบ | ค่าความ ชุรุยะของ แม่น้ำ |
|--------|---------------------------------|---------------|----------------------------------|----------------------------------|--------------------------------|
| 1 | 1.94 | 83 | 6.68 | 0.65 | 0.025 |
| 2 | 2.11 | 100 | 16.1 | 0.51 | 0.025 |
| 3 | 2.00 | 89 | 64.9 | 0.32 | 0.025 |
| 4 | 1.82 | 71.8 | 28.5 | 0.21 | 0.025 |
| 5 | 1.72 | 62.8 | 31.7 | 0.19 | 0.025 |
| 6 | 1.75 | 65.5 | 25.5 | 0.62 | 0.025 |
| 7 | 2.08 | 97 | 18.7 | 0.78 | 0.025 |
| 8 | 1.95 | 84 | 69 | 0.53 | 0.025 |
| 9 | 2.07 | 96 | 31.7 | 0.41 | 0.025 |
| 10 | 1.92 | 81 | 22.3 | 0.50 | 0.025 |

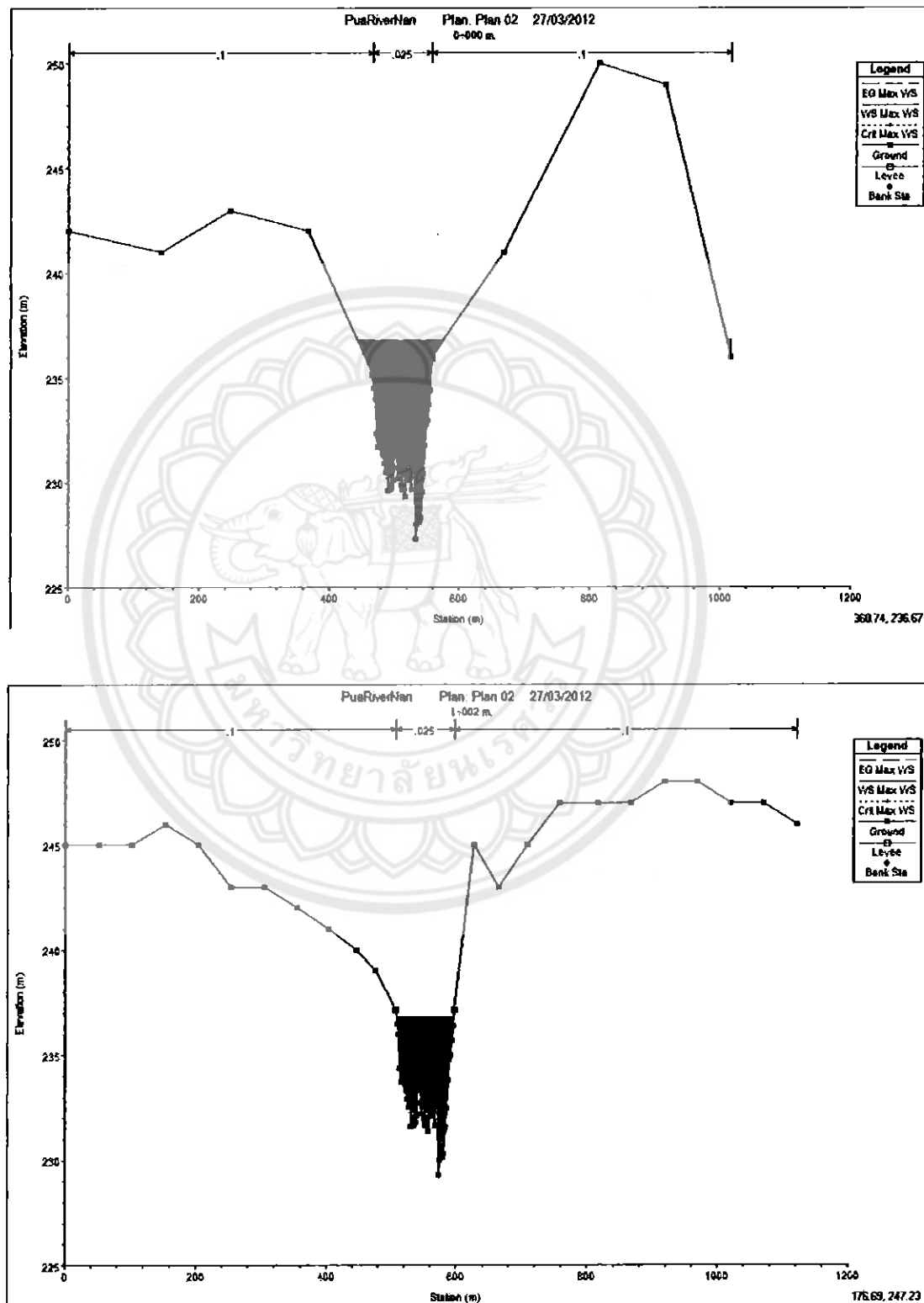
ตารางที่ 5.2 วันที่น้ำท่วมปี 2553

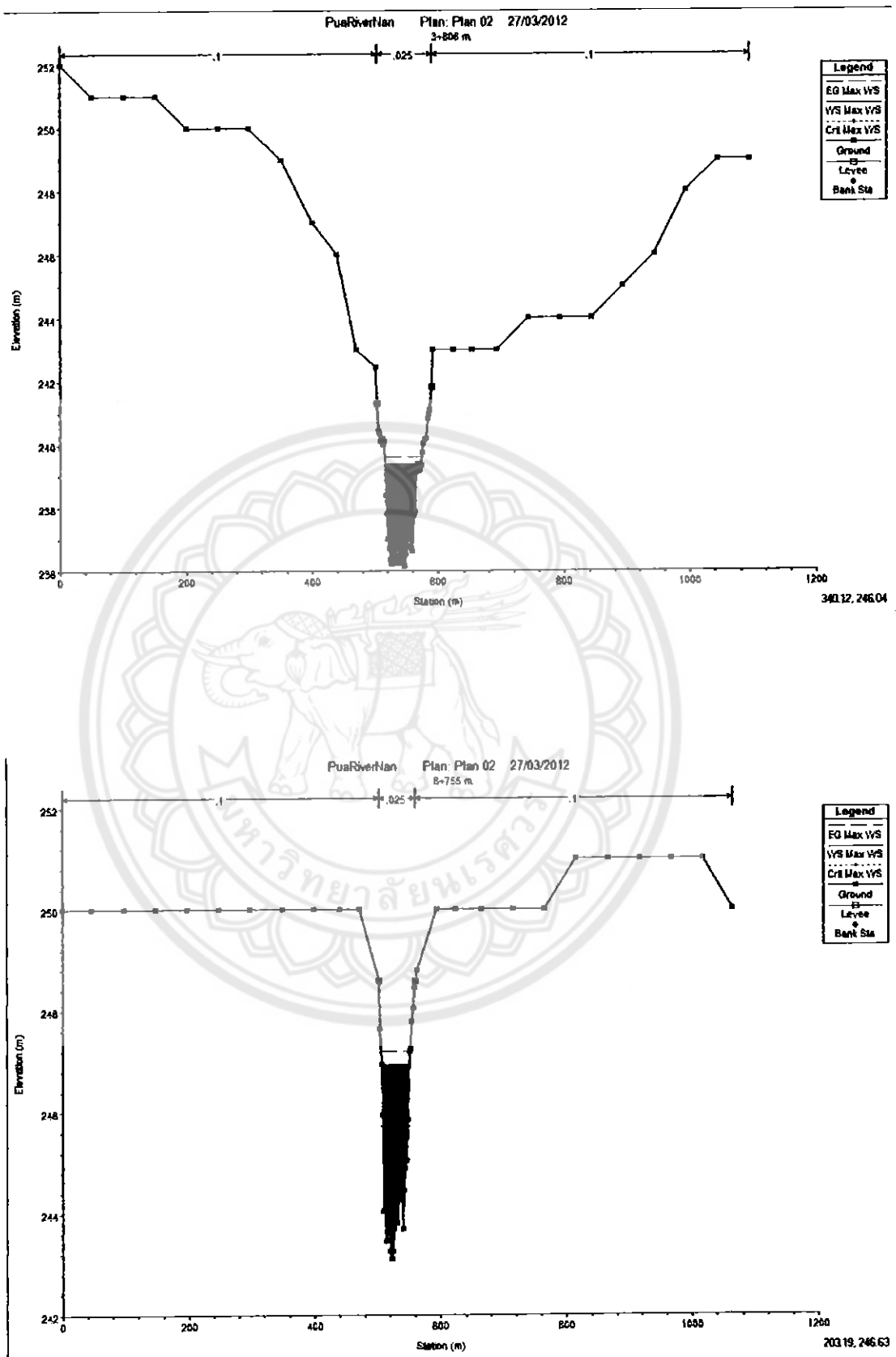
| จำนวนวันที่ท่วม | ปริมาณน้ำสูงสุด |
|-----------------|-------------------------|
| 25 วัน | 493 ลูกบาศก์เมตร/วินาที |

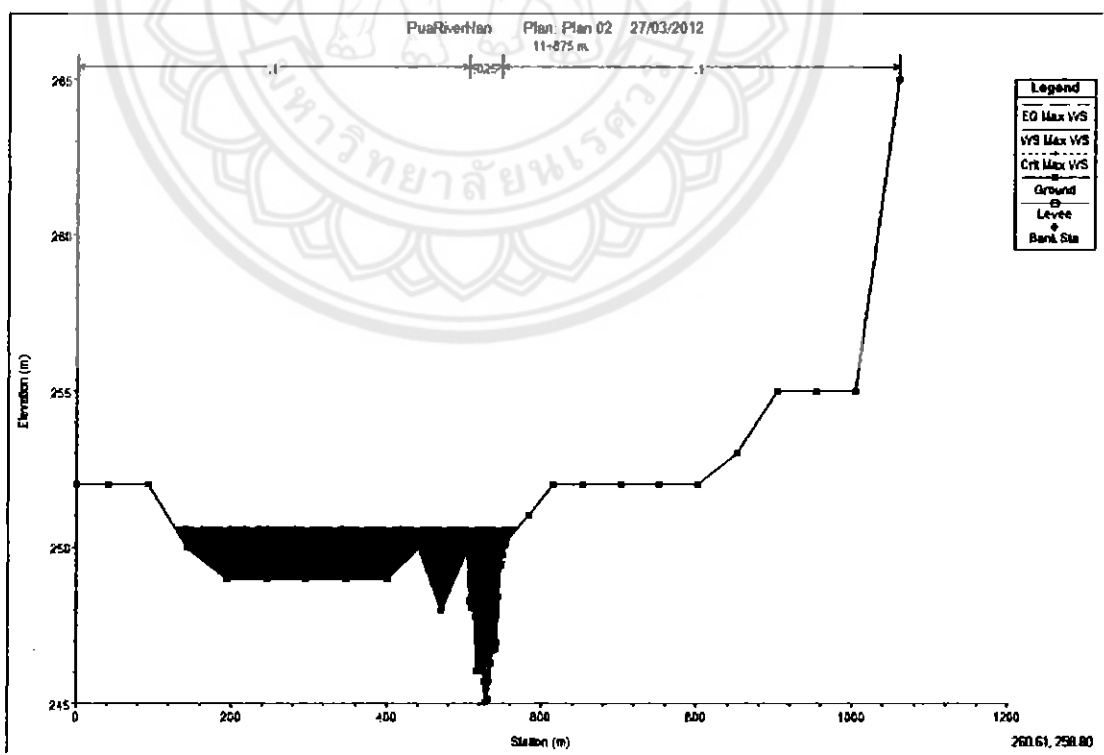
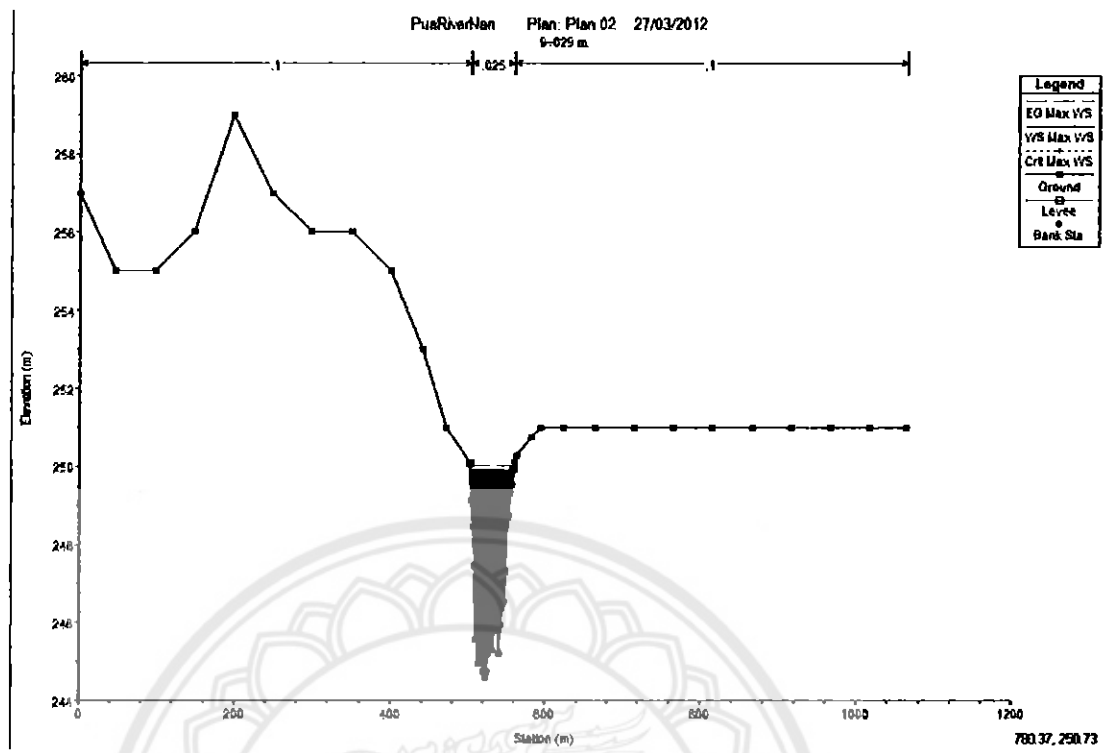
ตารางที่ 5.3 ค่าอัตราการไหลสูงสุด ณ จุดบรรจบลำน้ำป้าและลำน้ำขวาง

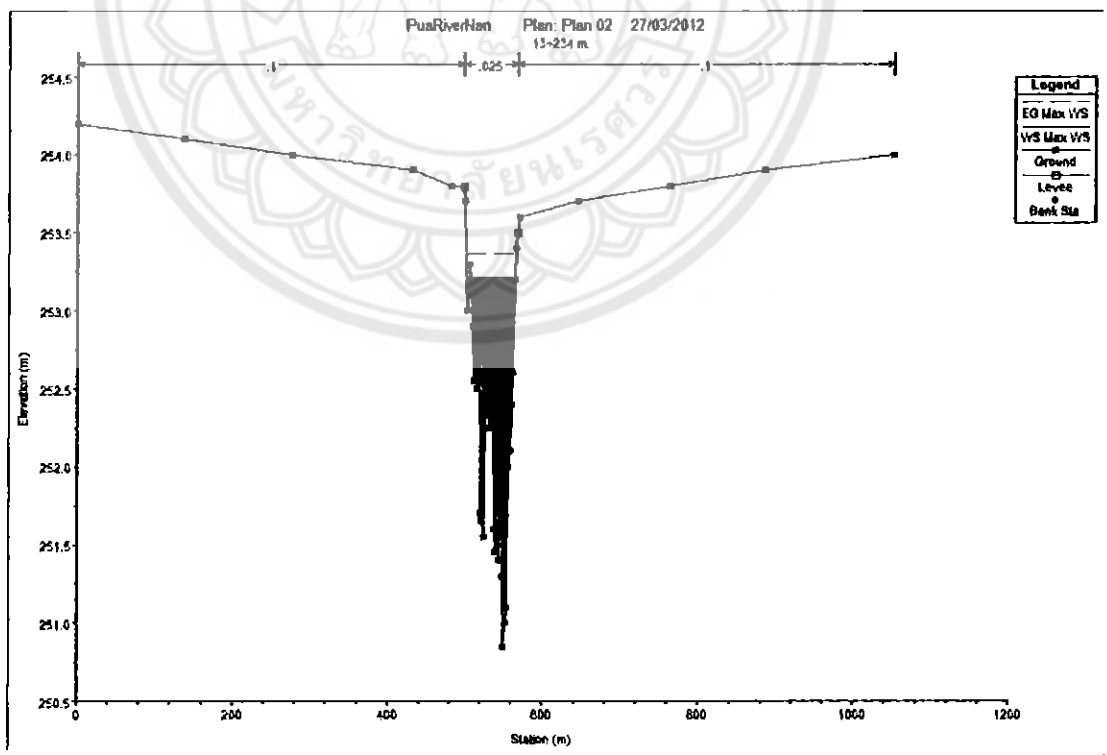
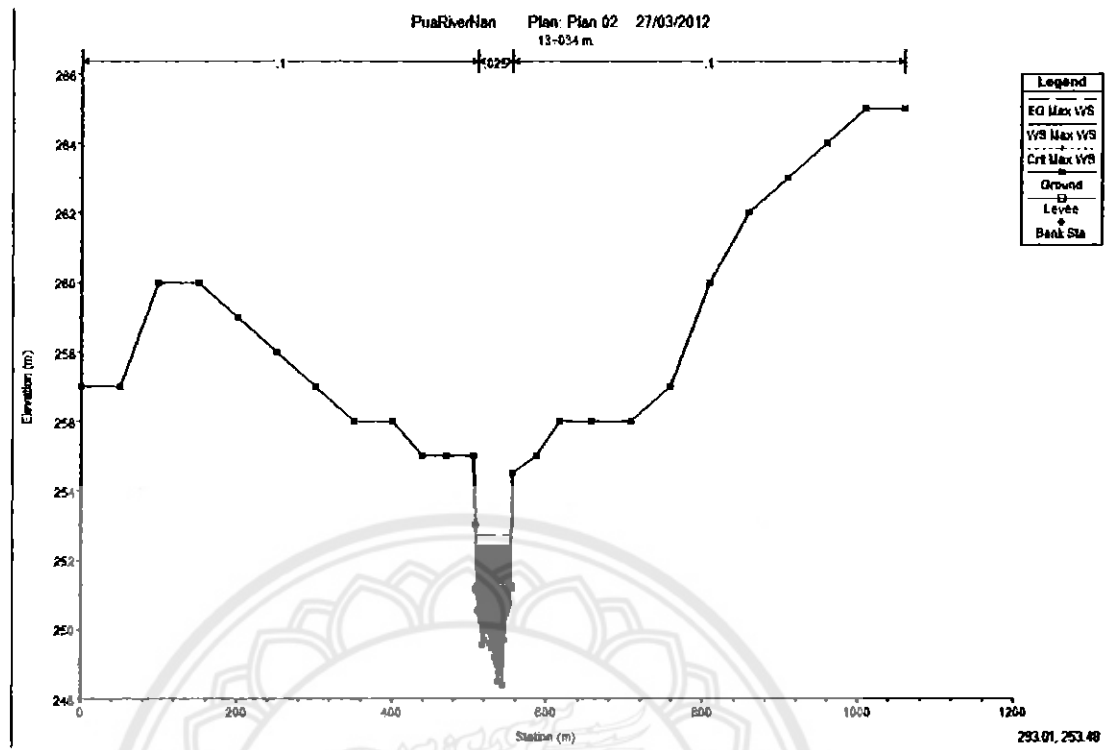
| วันที่ | ปริมาณน้ำสูงสุด |
|-----------|----------------------------|
| 7 สิงหาคม | 475.73 ลูกบาศก์เมตร/วินาที |

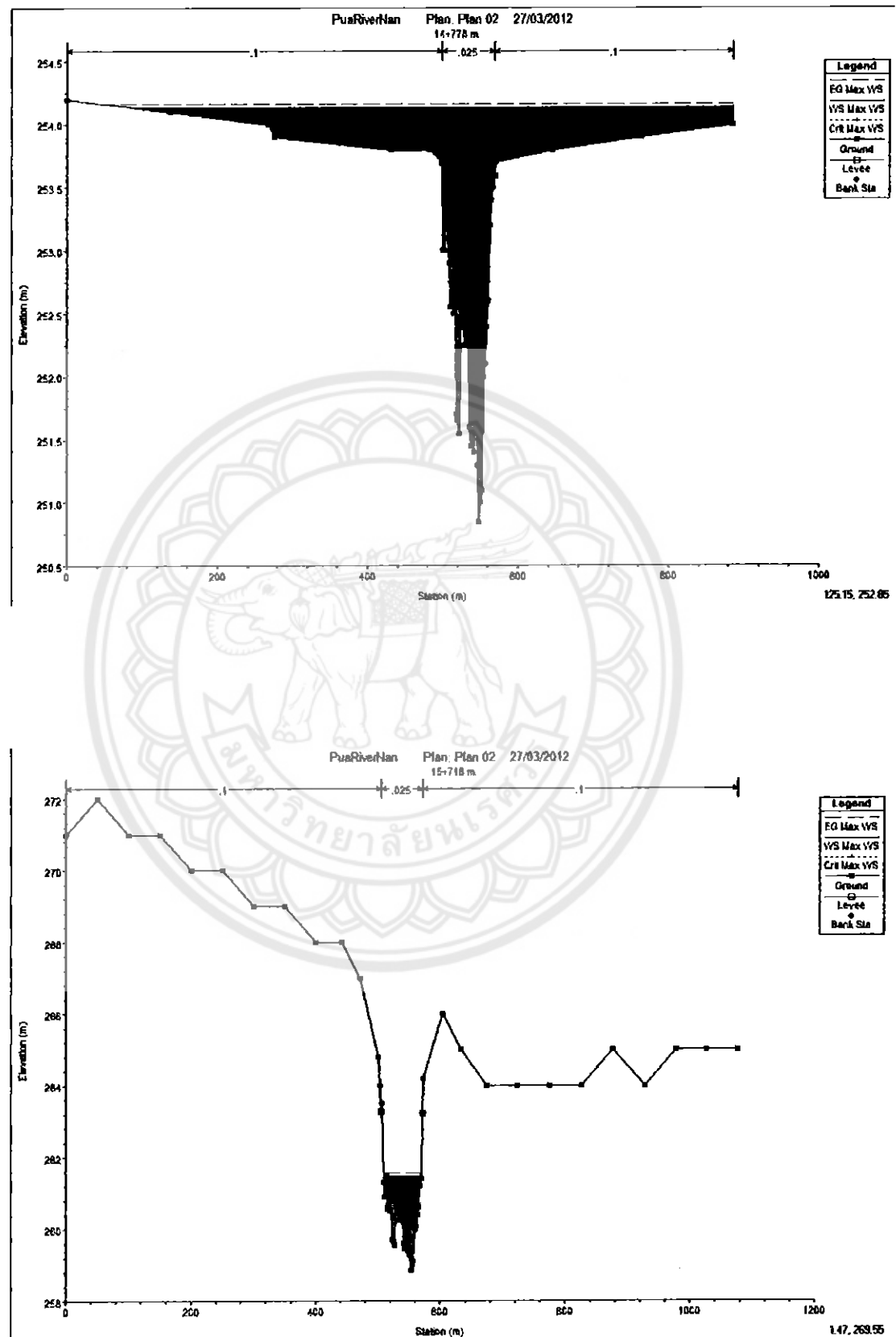
รูปที่ 2 แสดงภาคตัดขวาง ลั่น้ำป่า

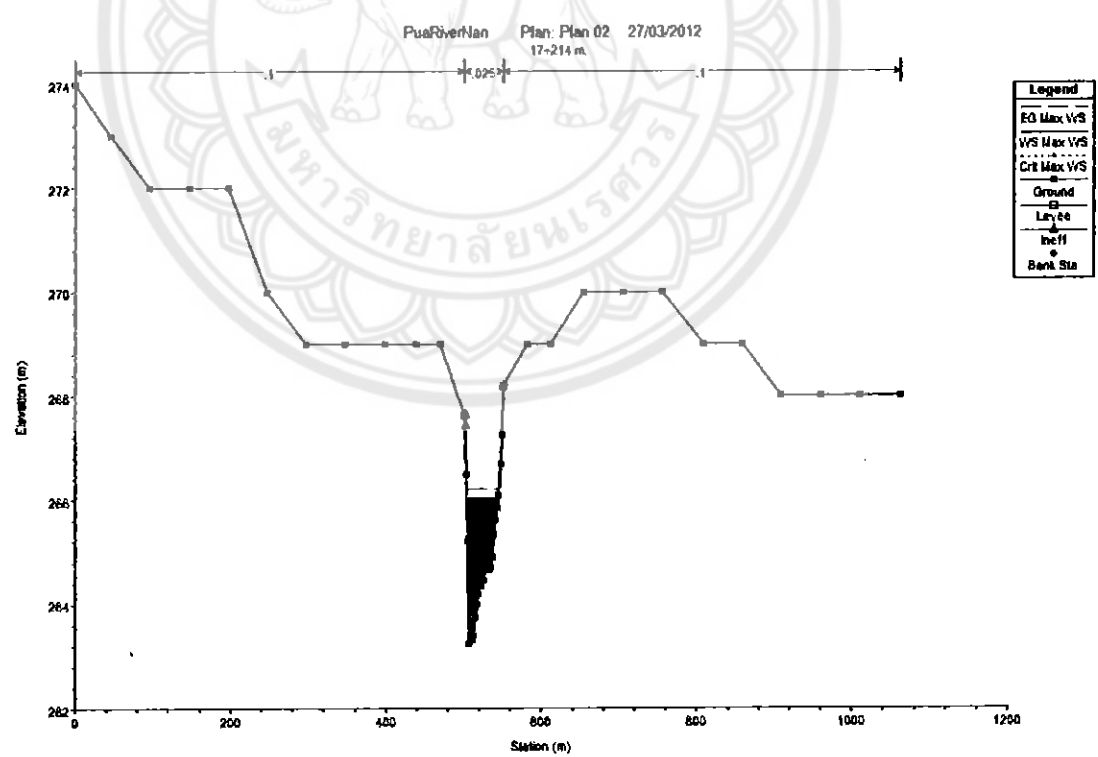
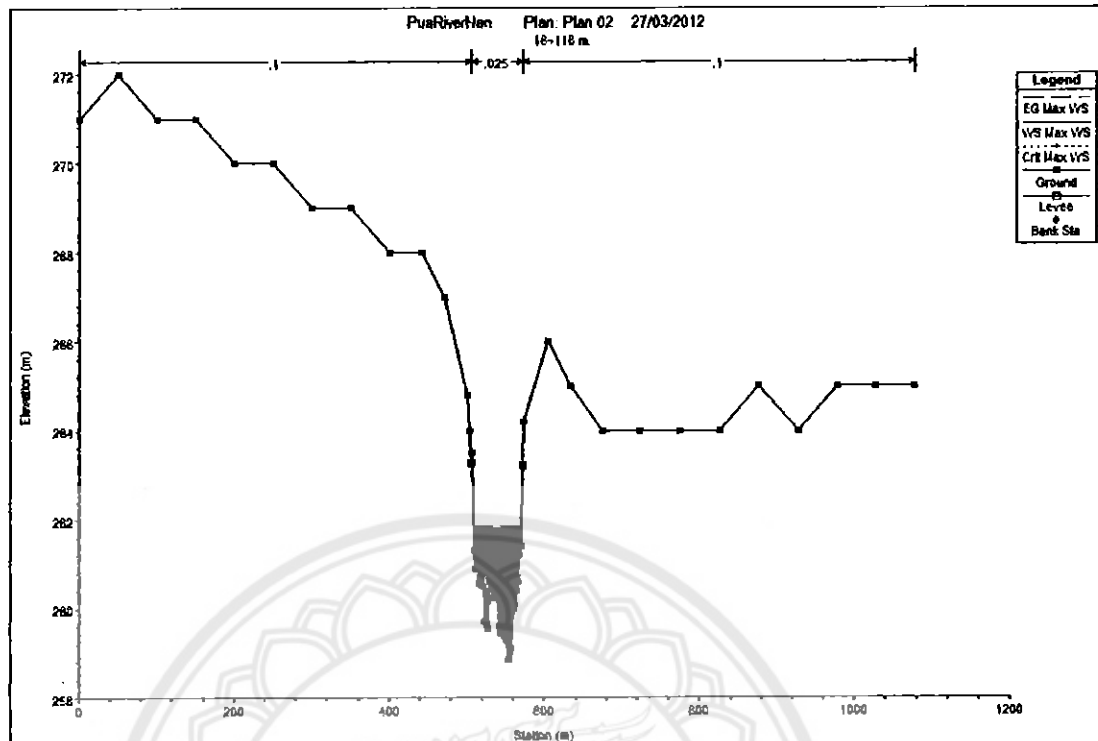


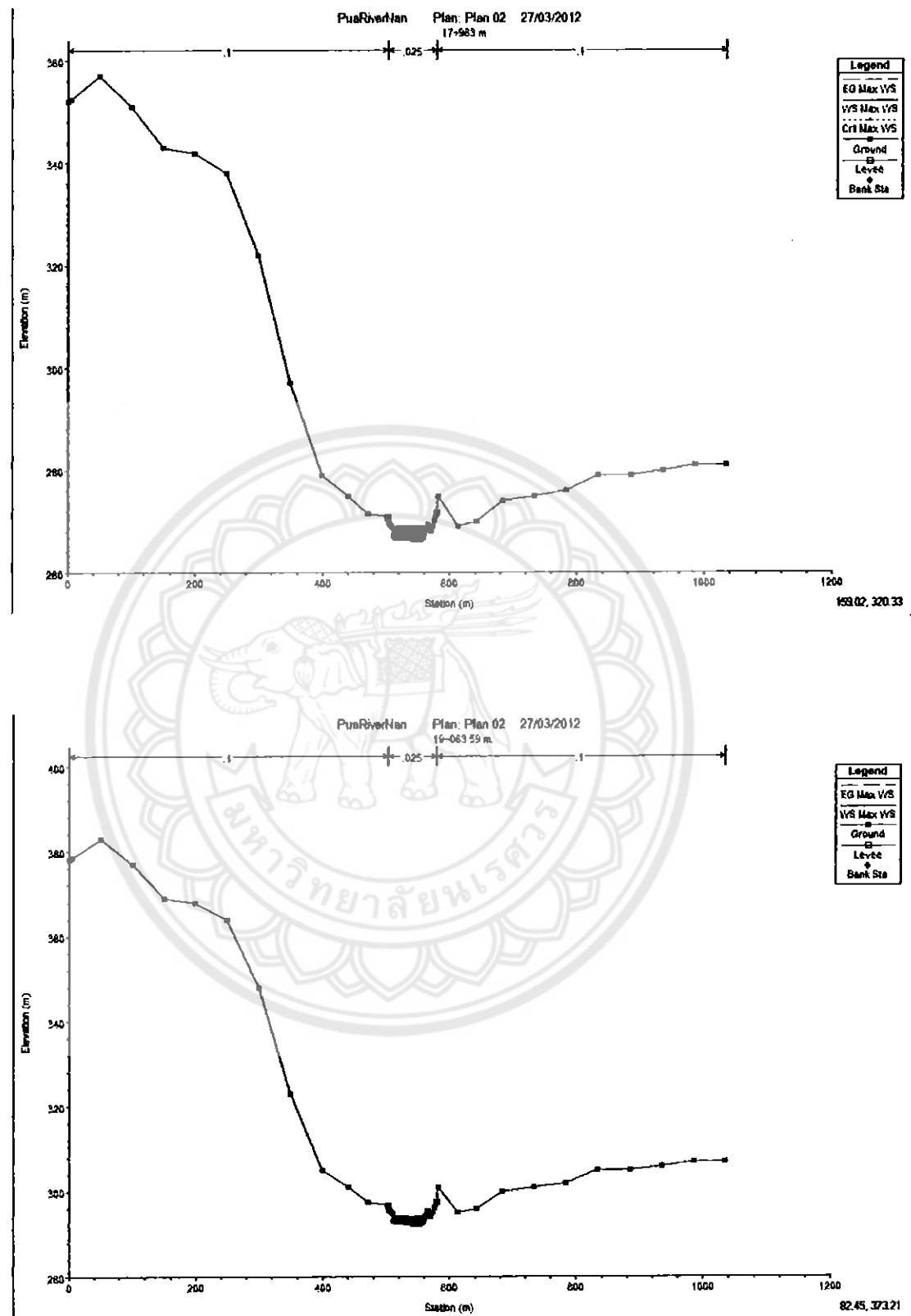




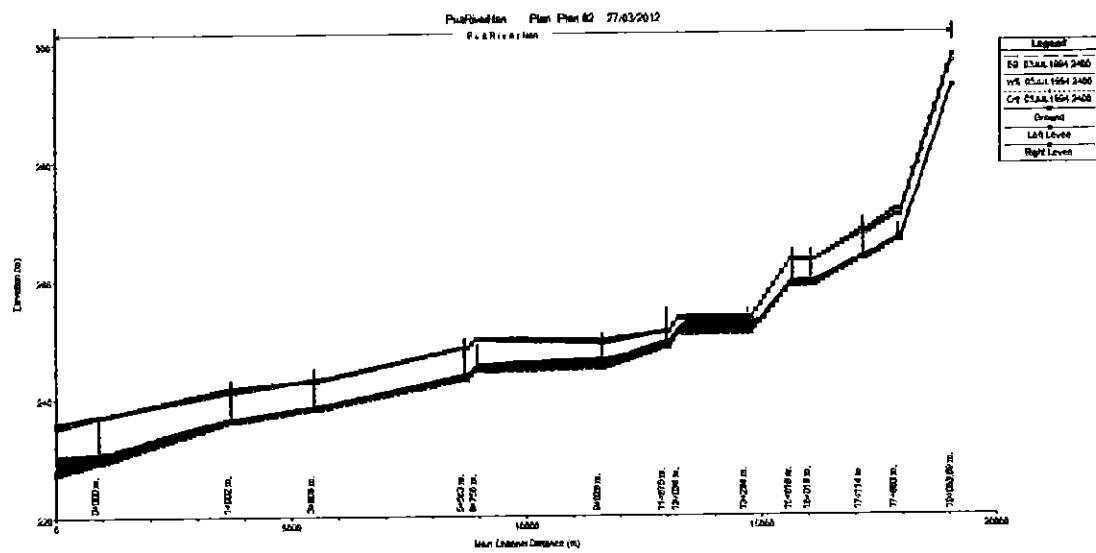
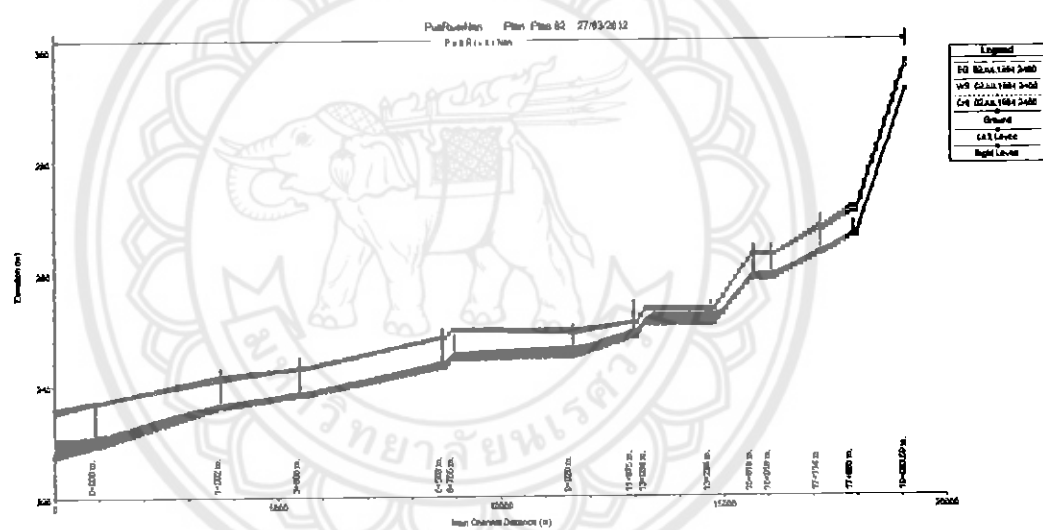
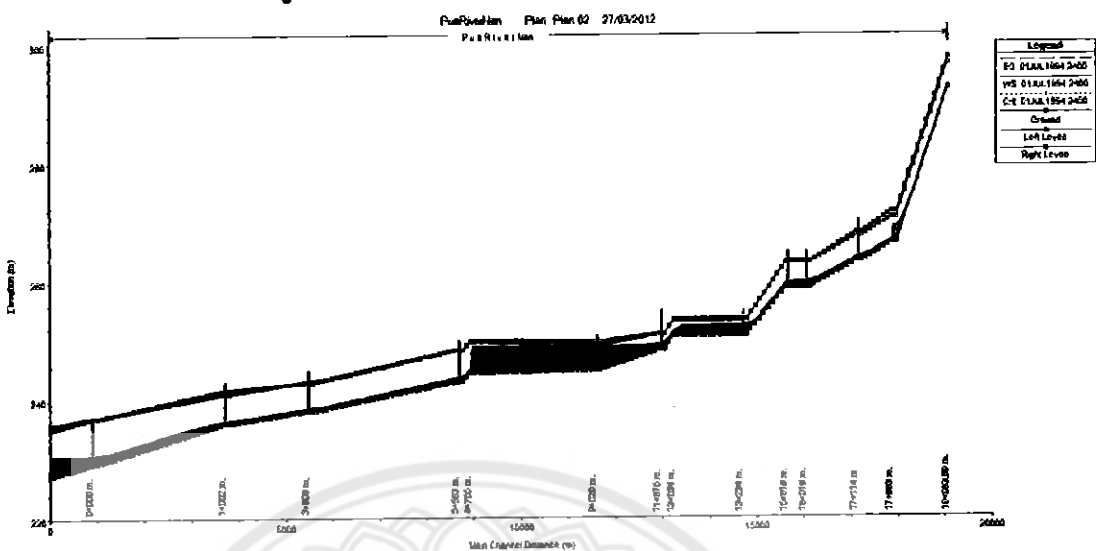


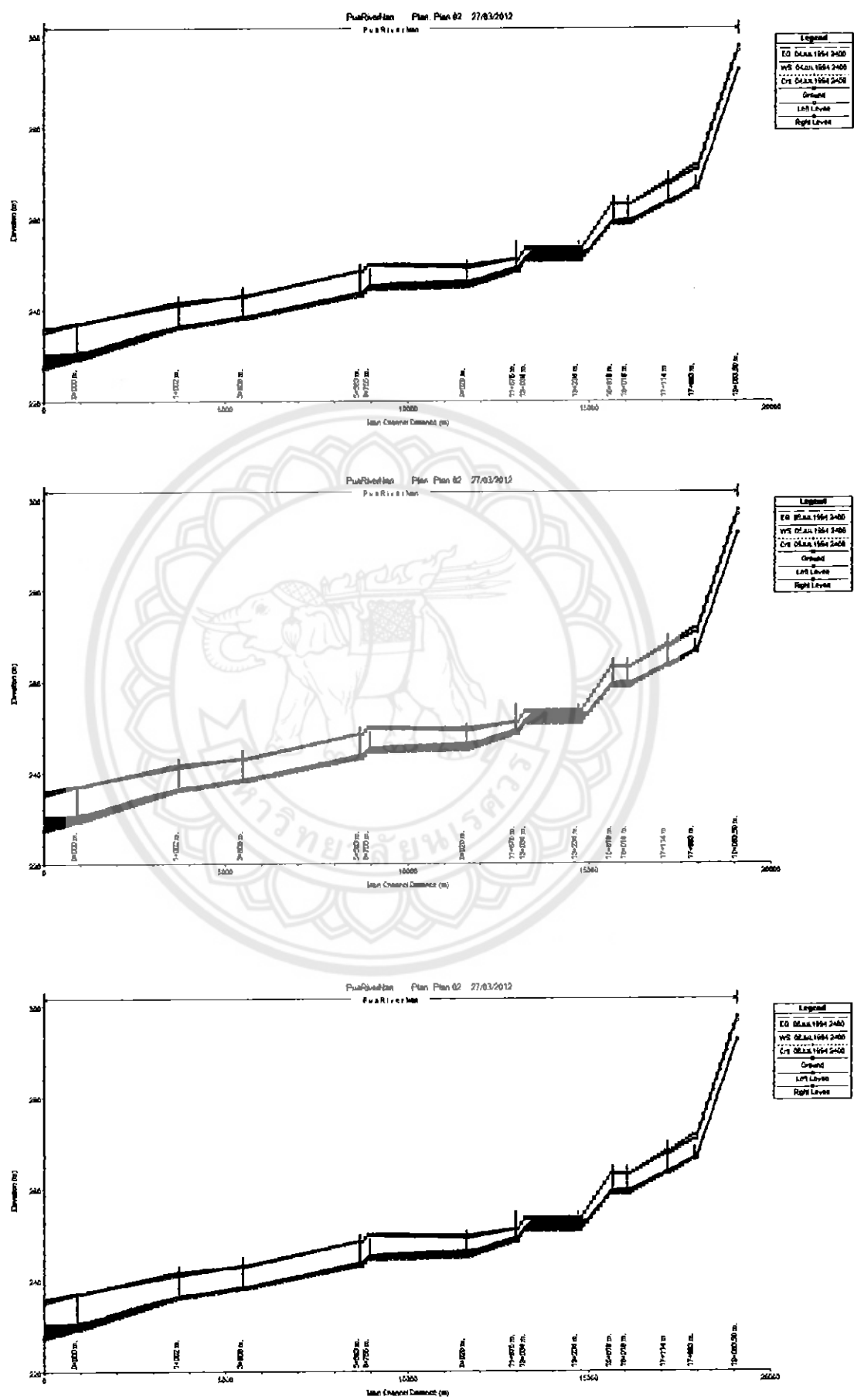


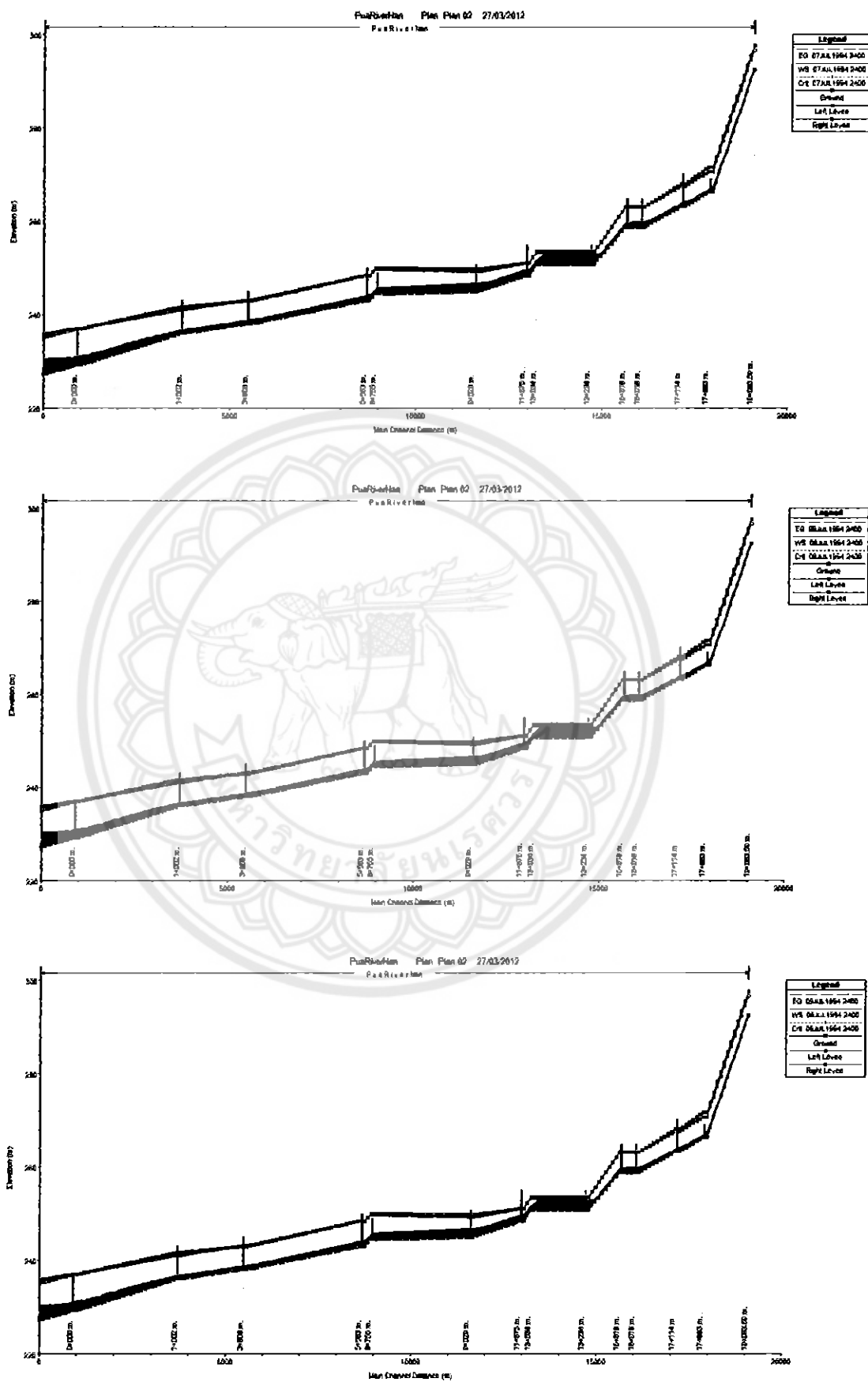


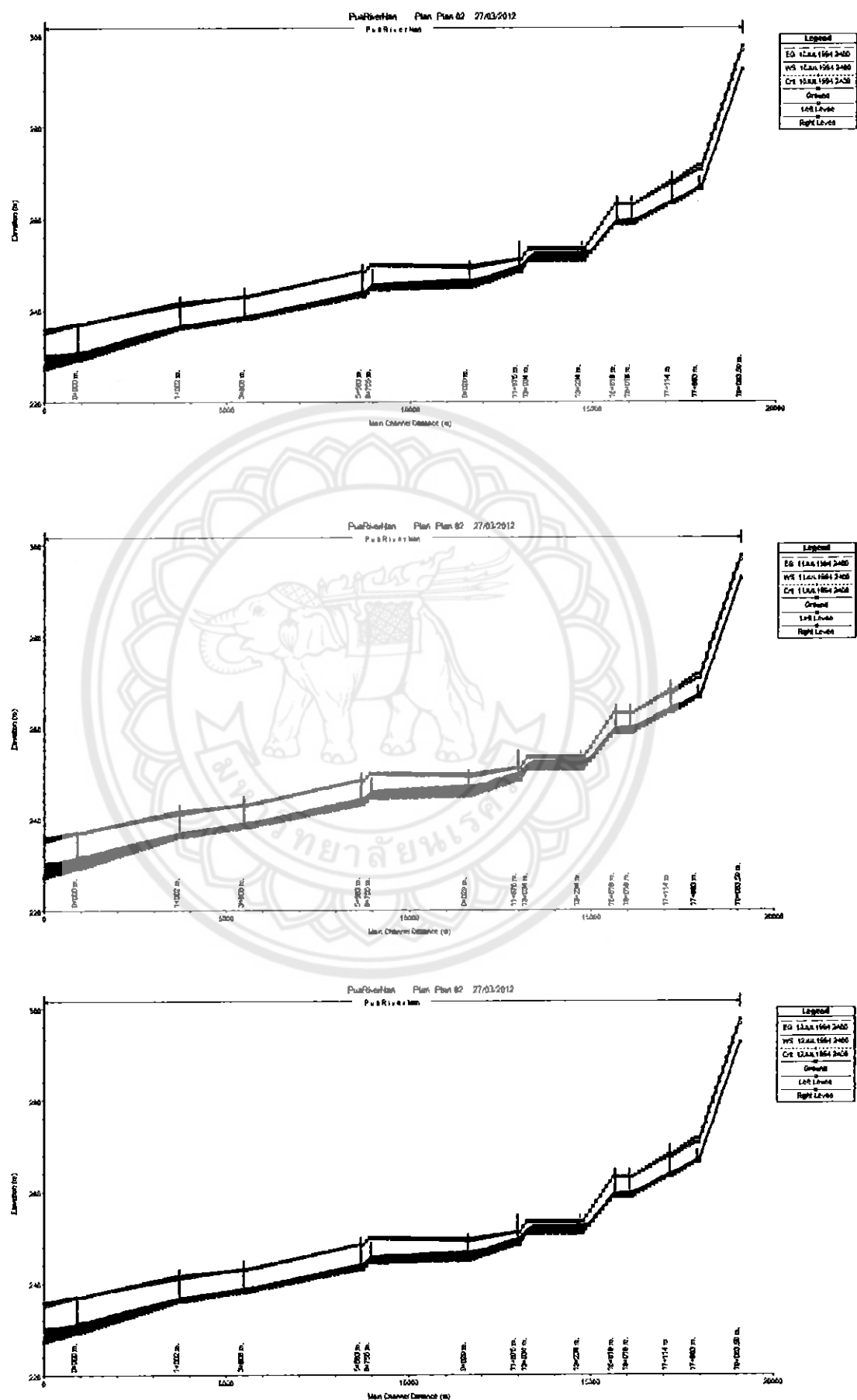


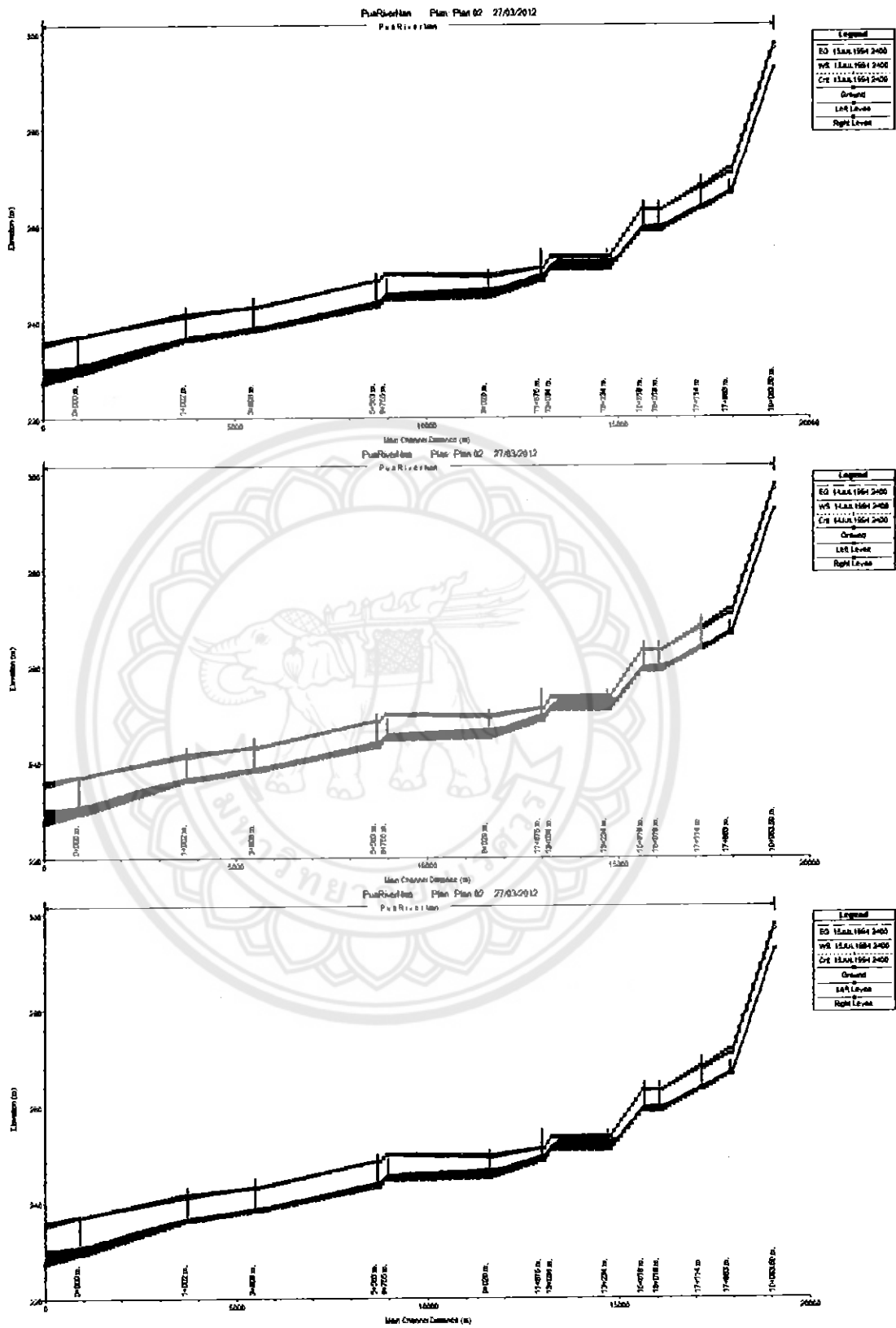
รูปที่ 3 แสดงปริมาณน้ำในภาคตัดขวาง ลั่น้ำปีว

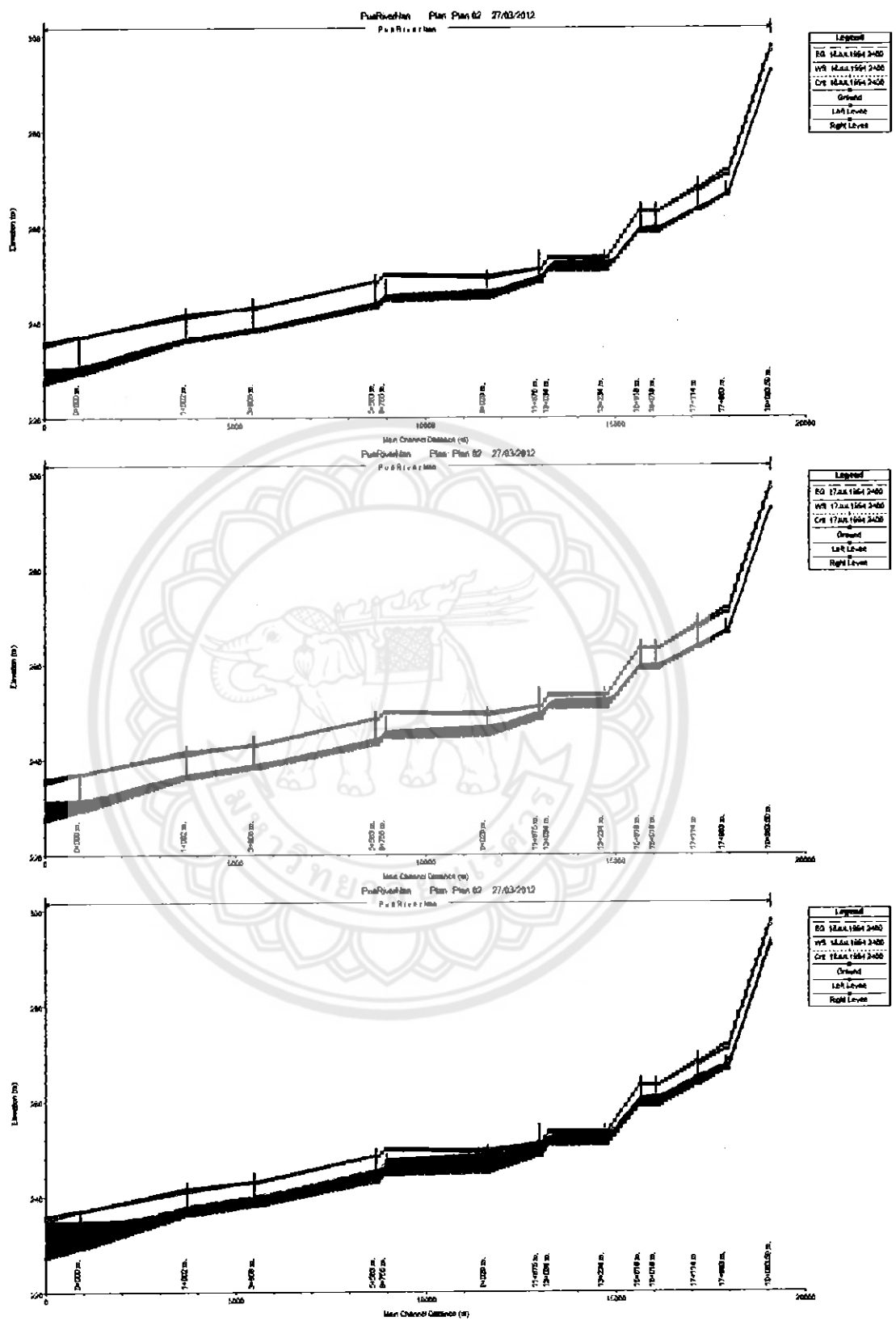


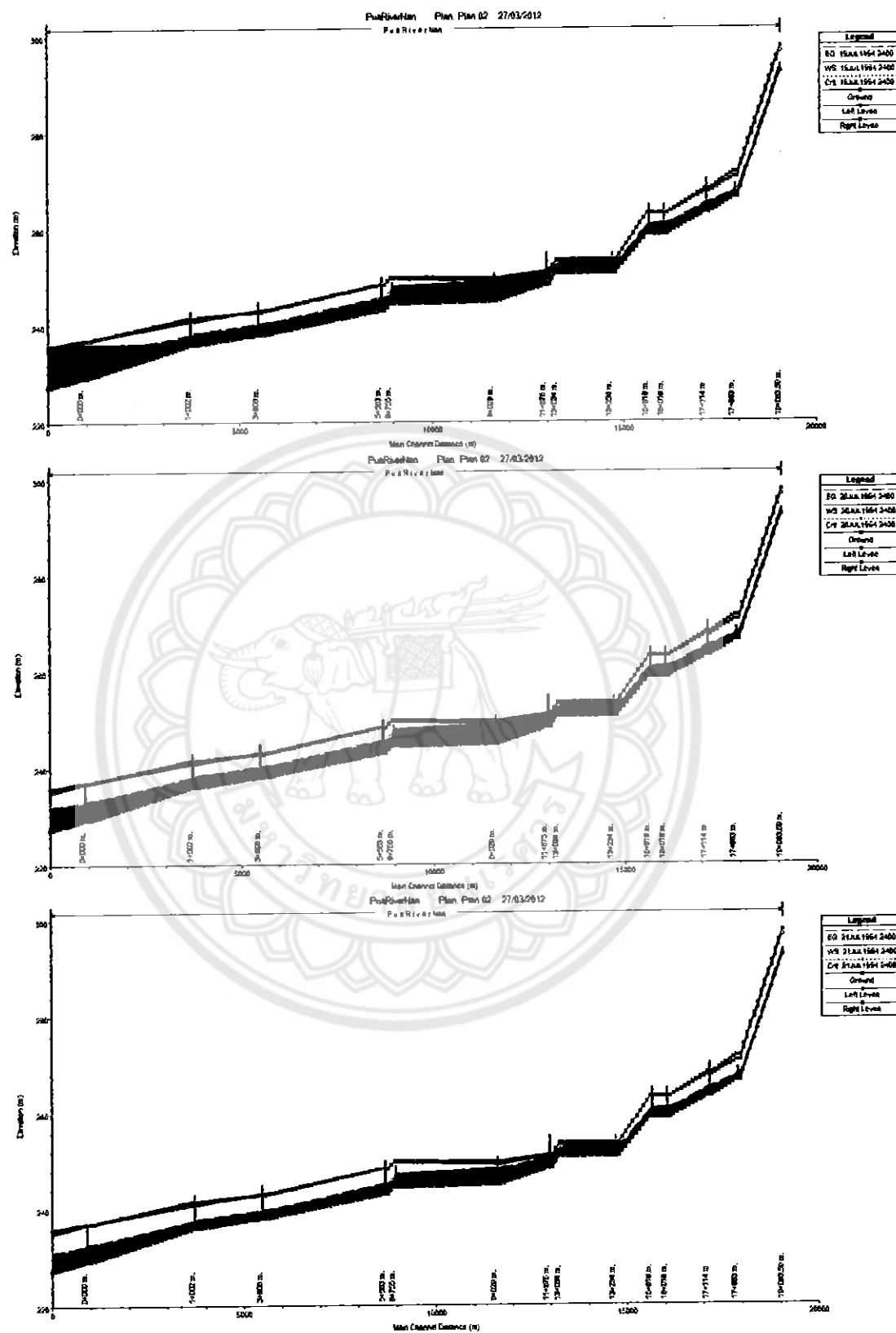


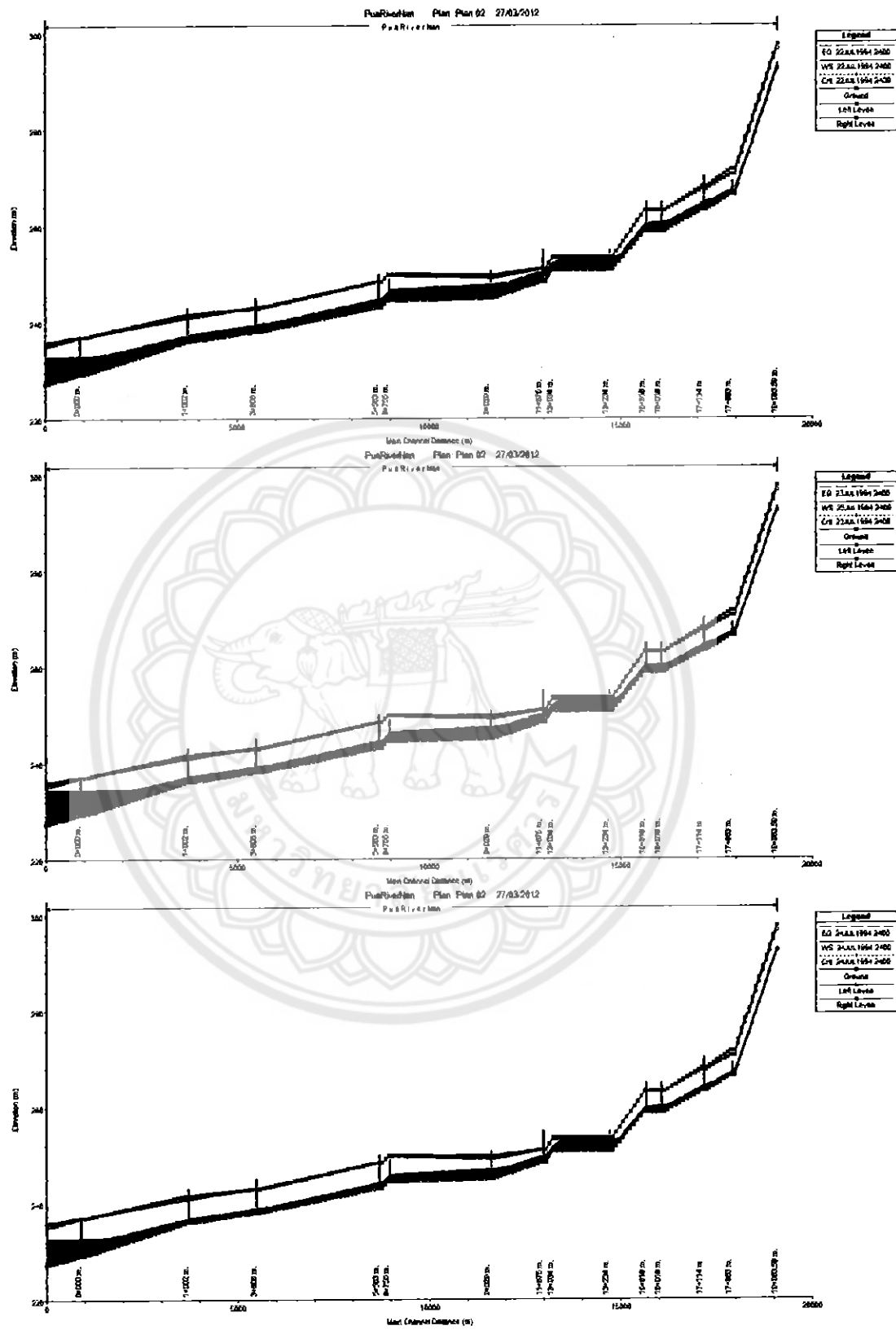


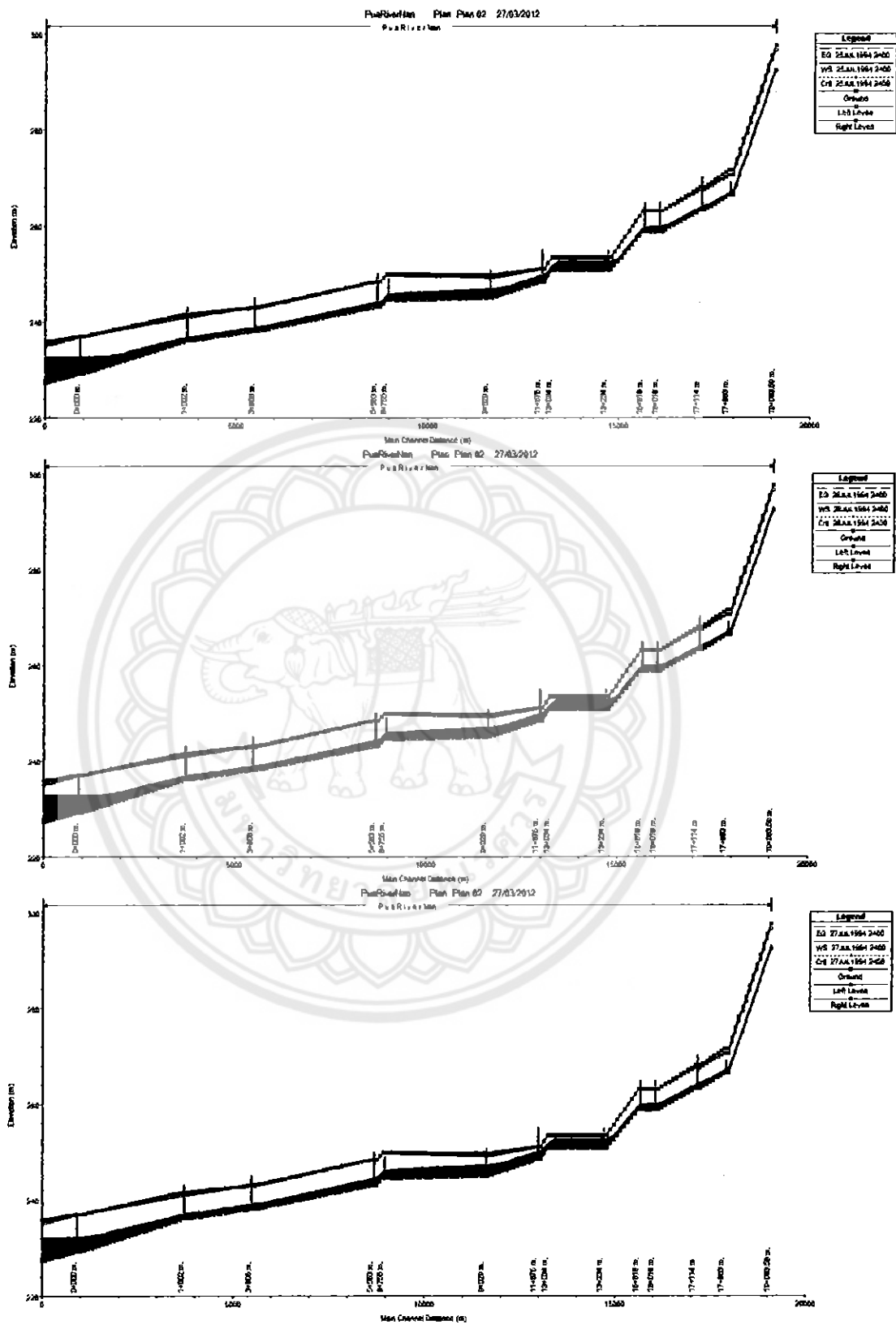


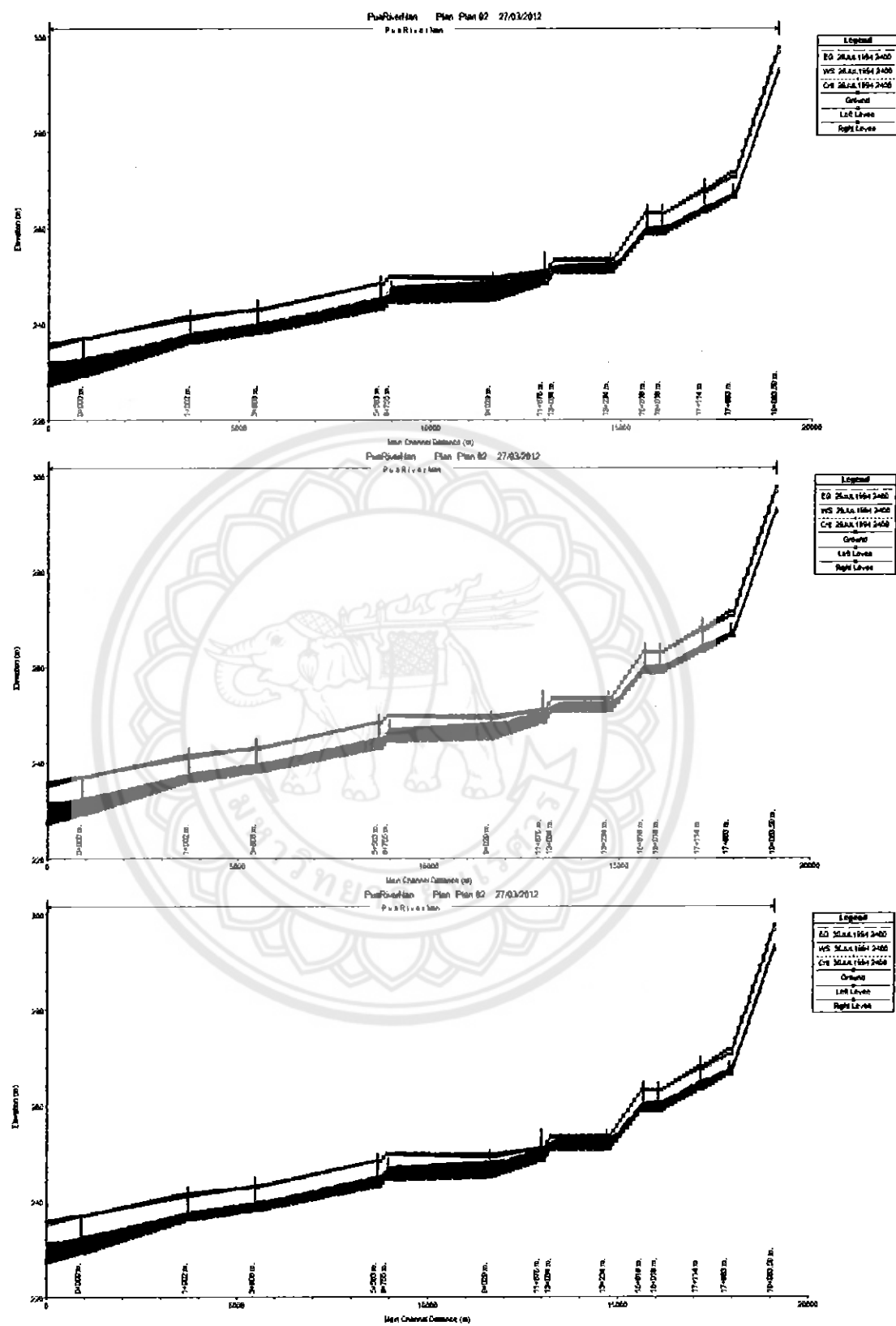


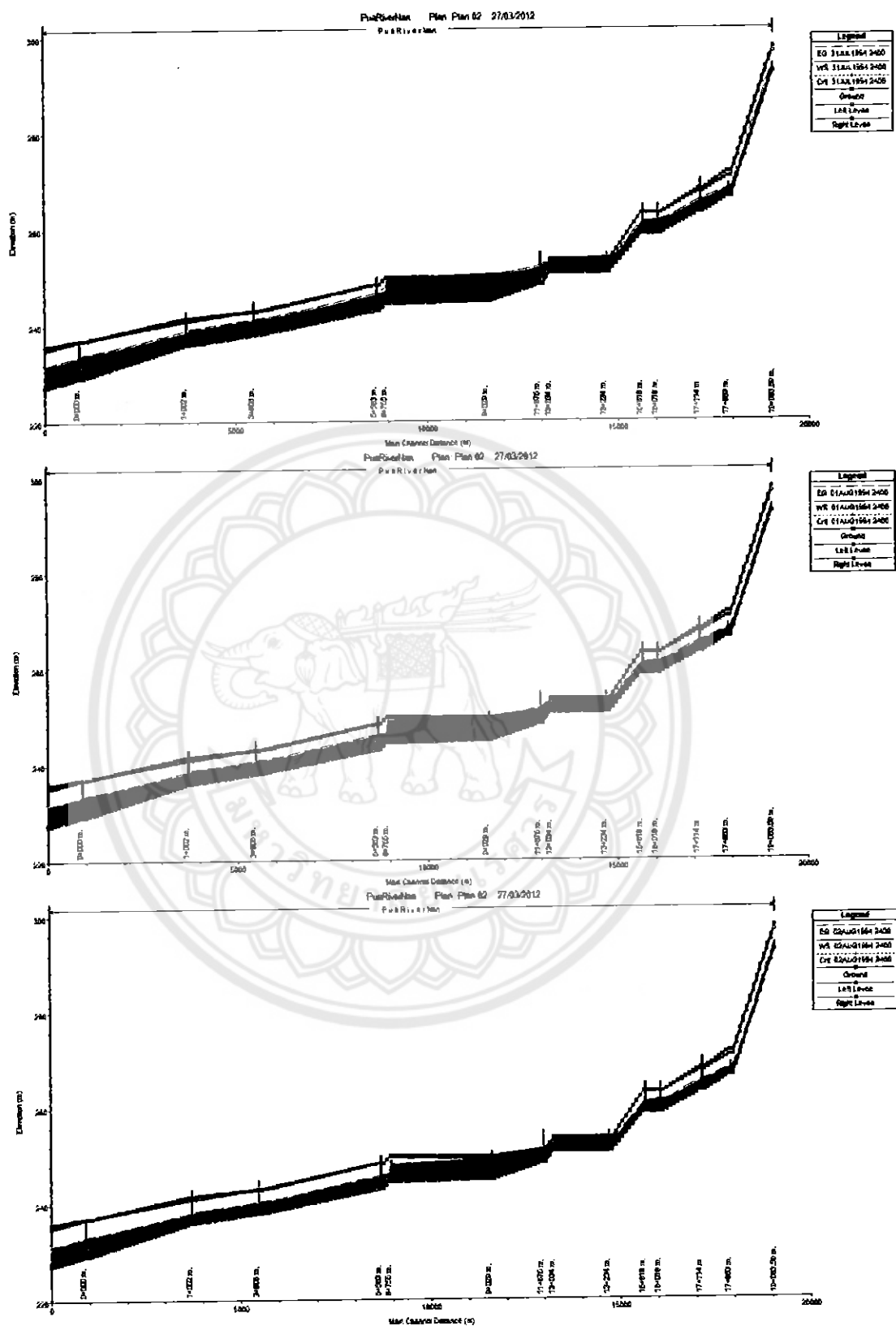


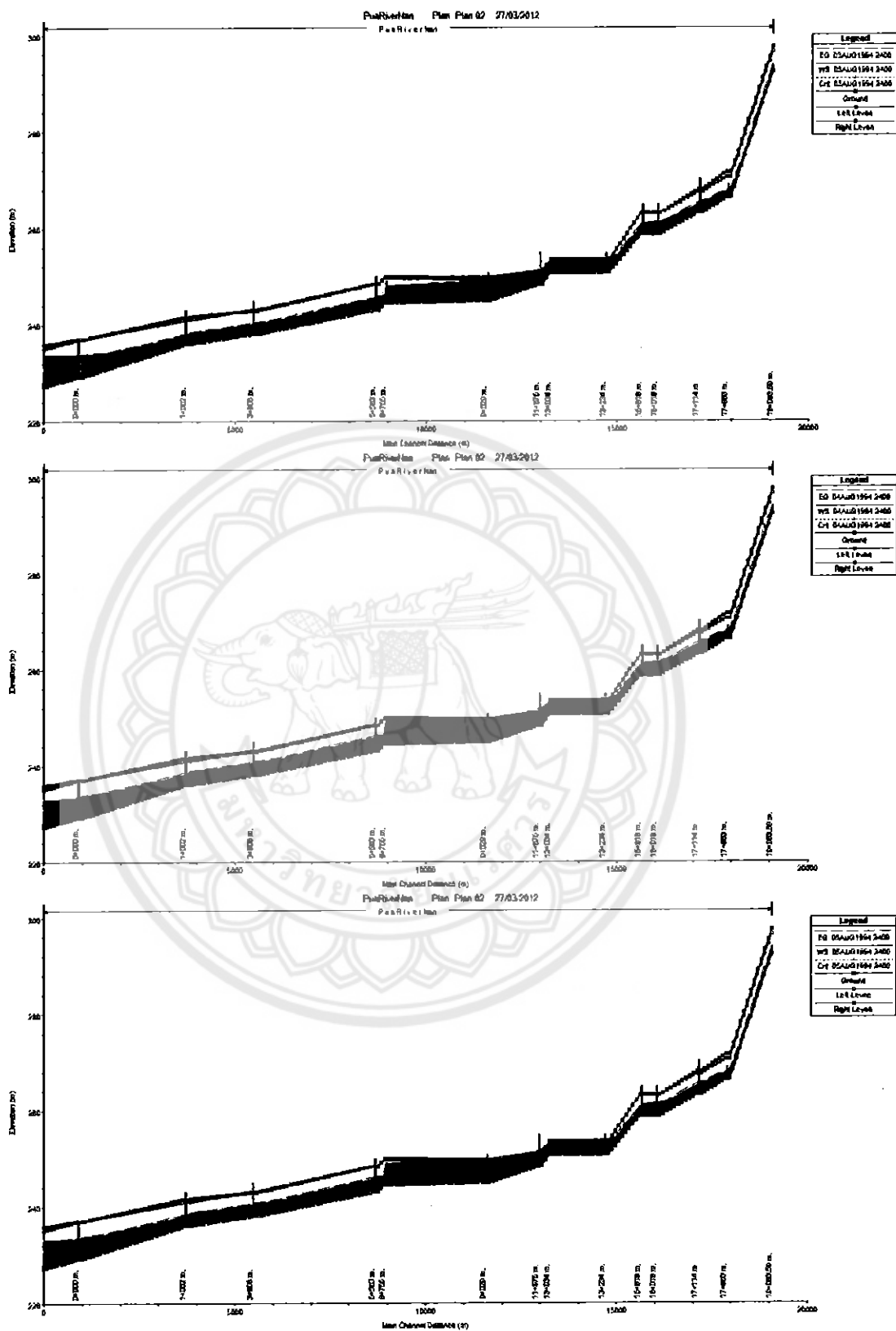


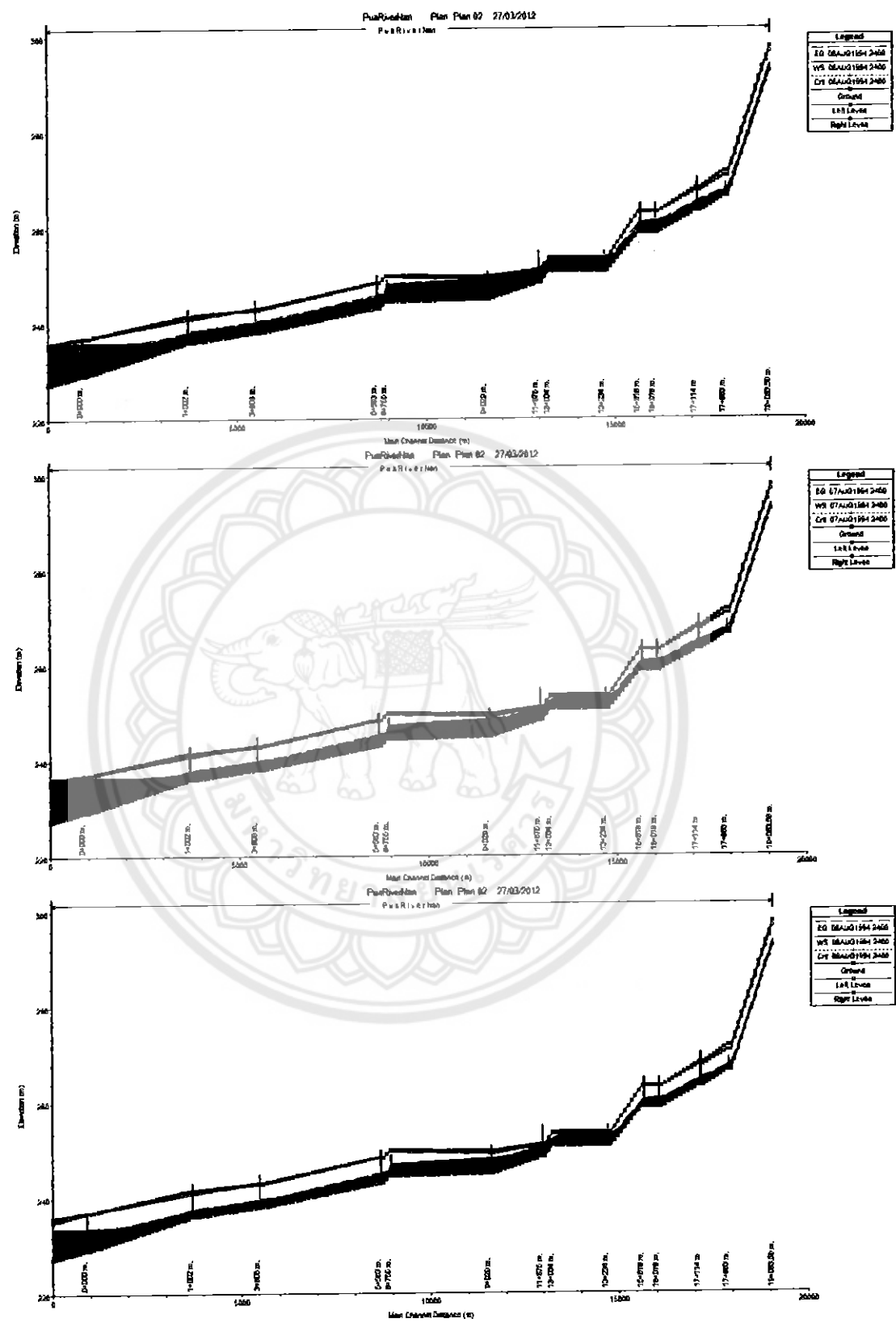


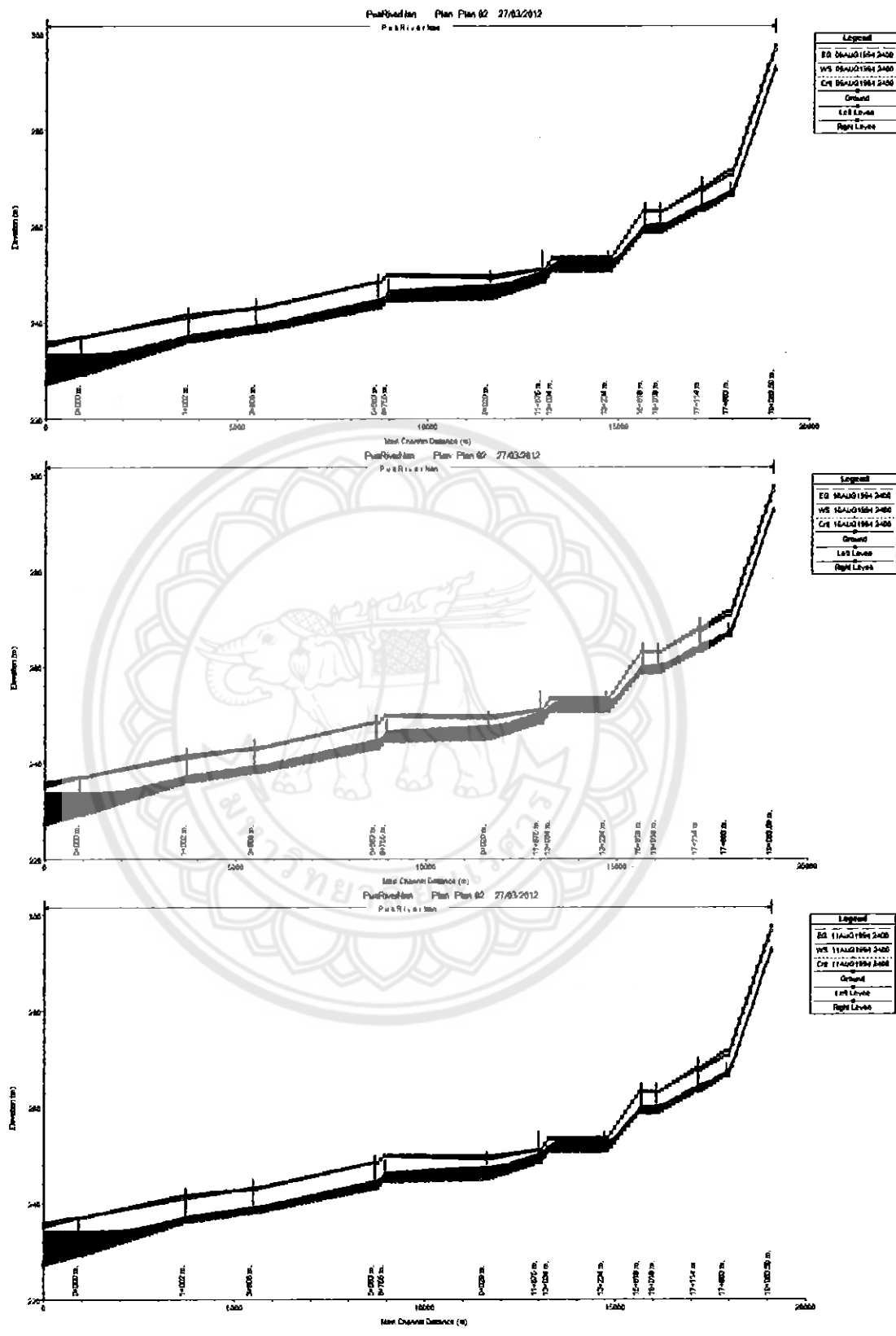


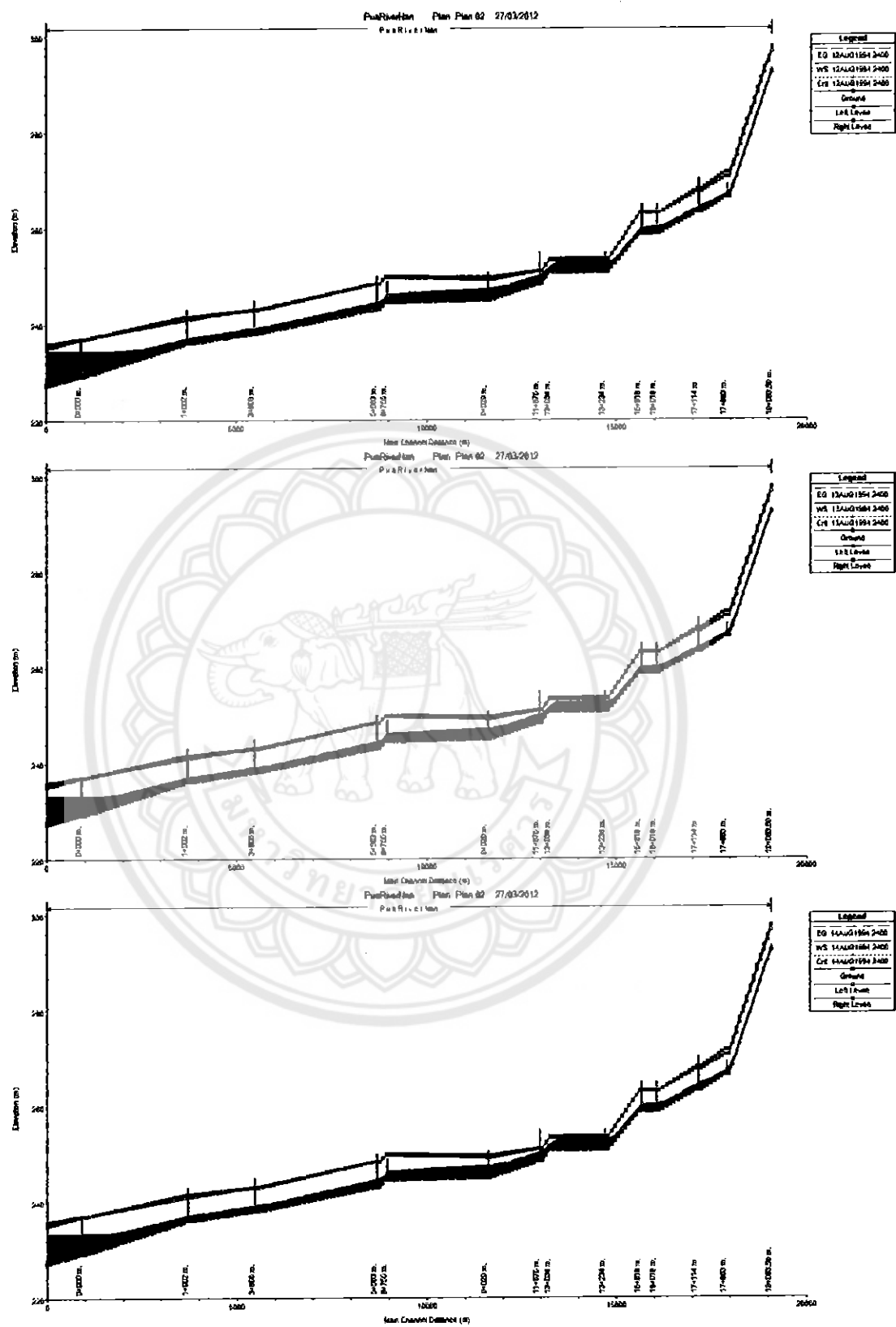


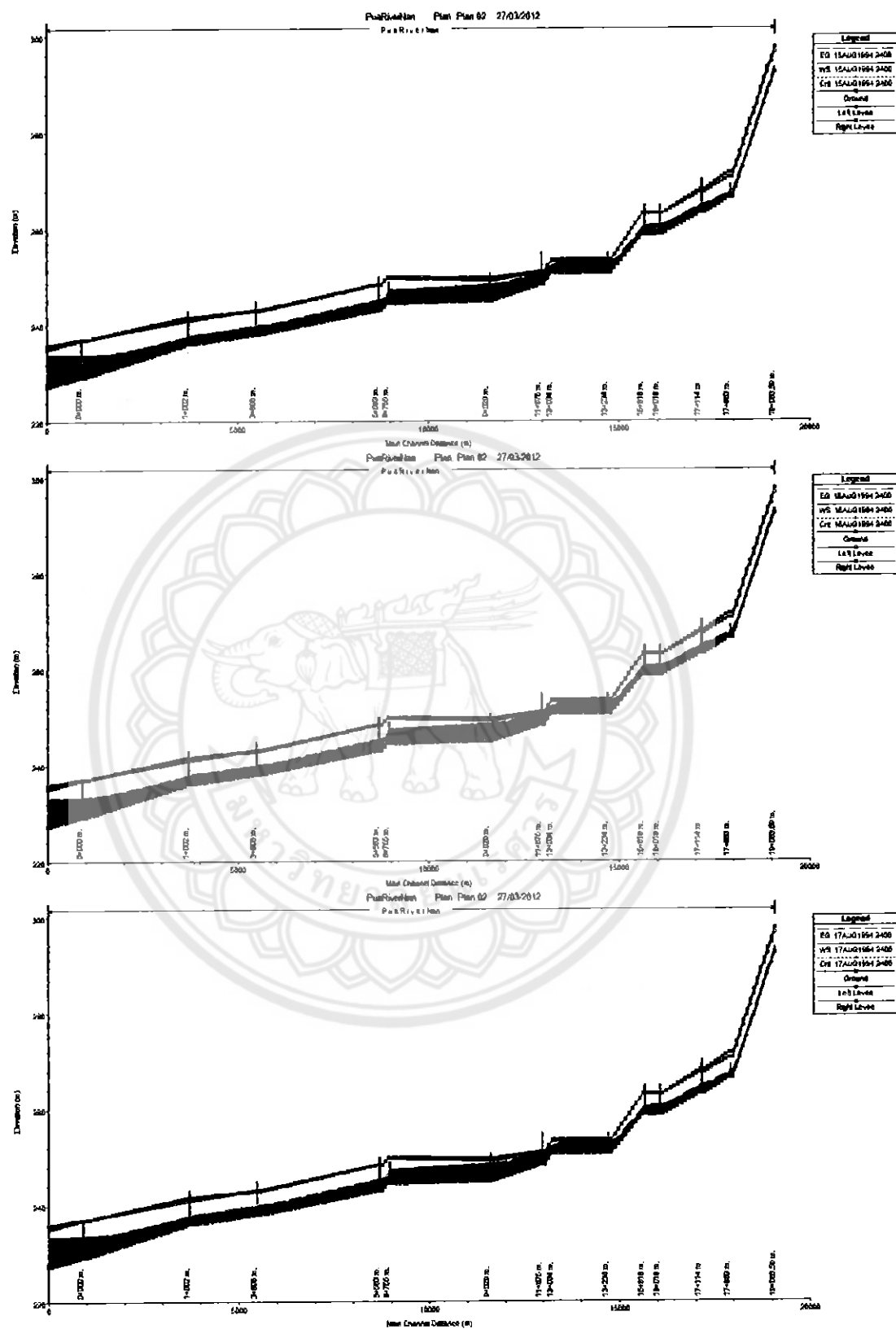


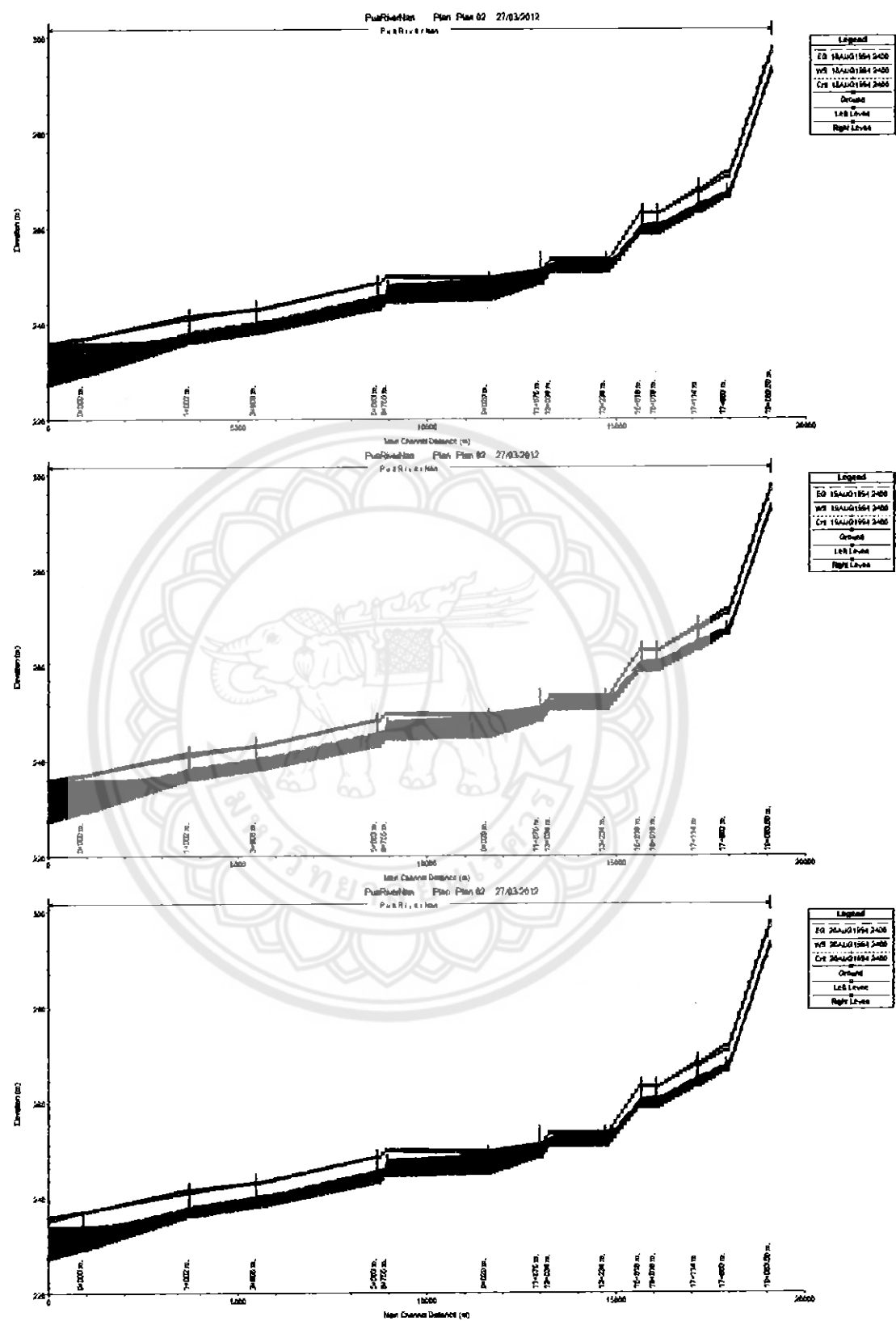


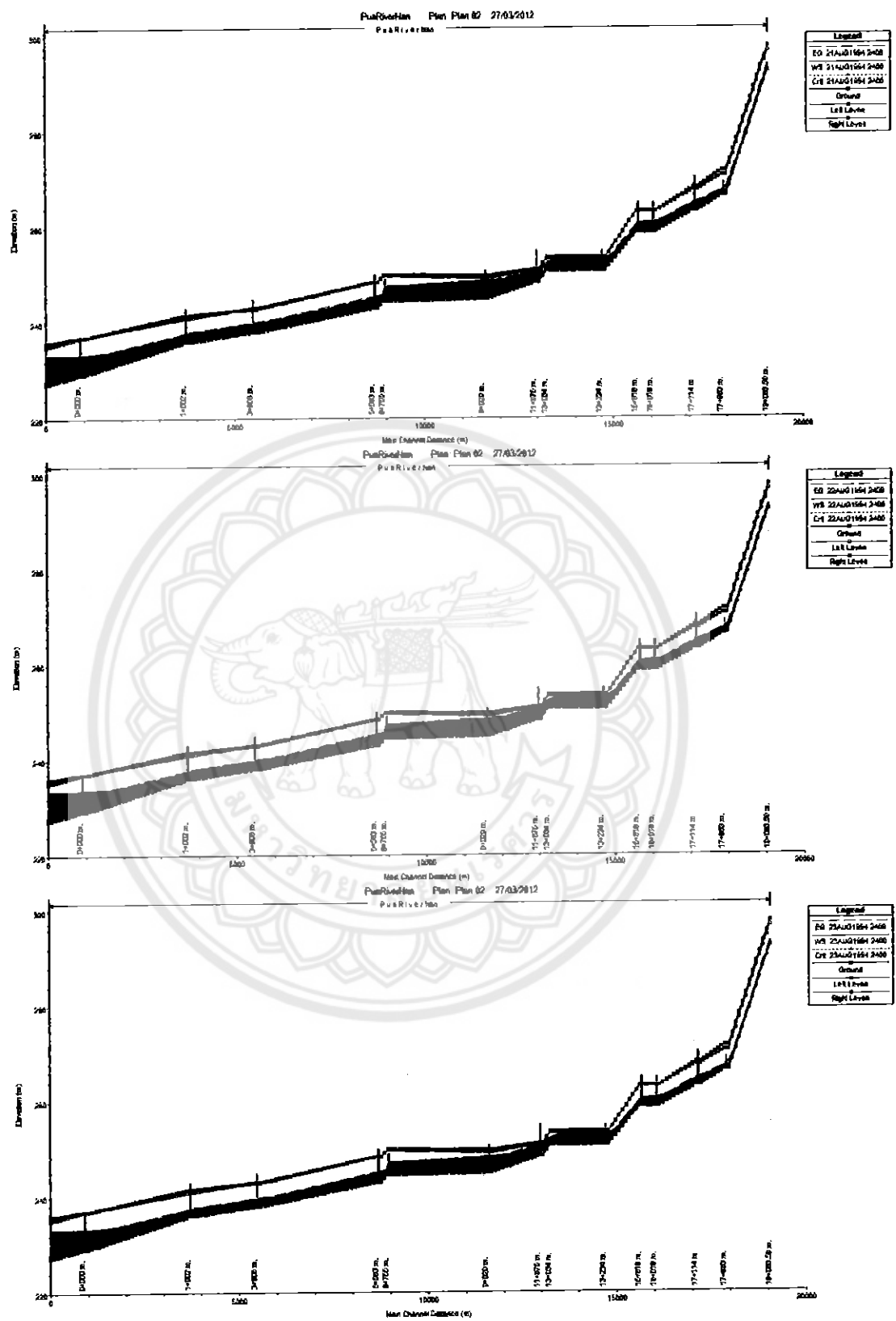


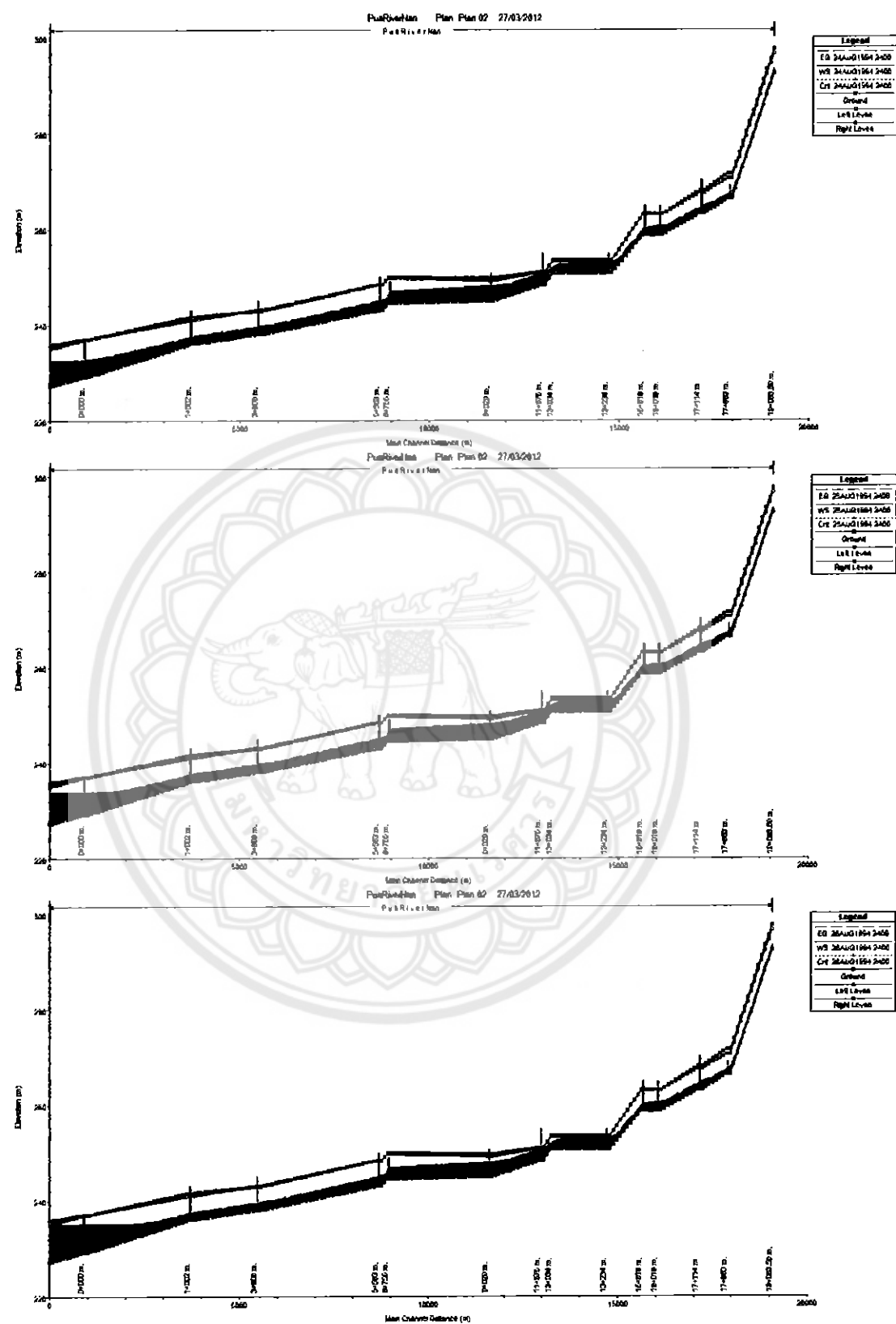


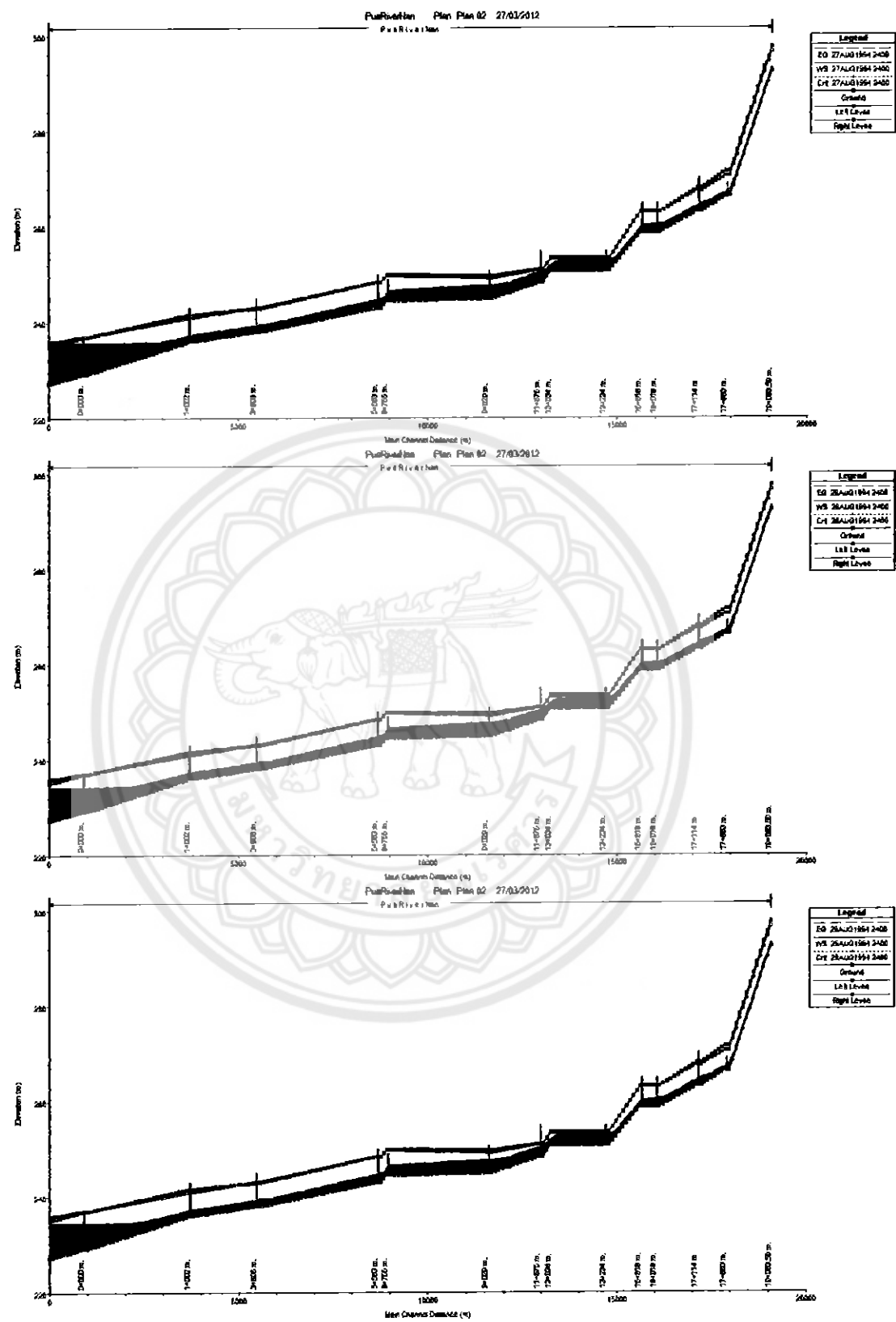


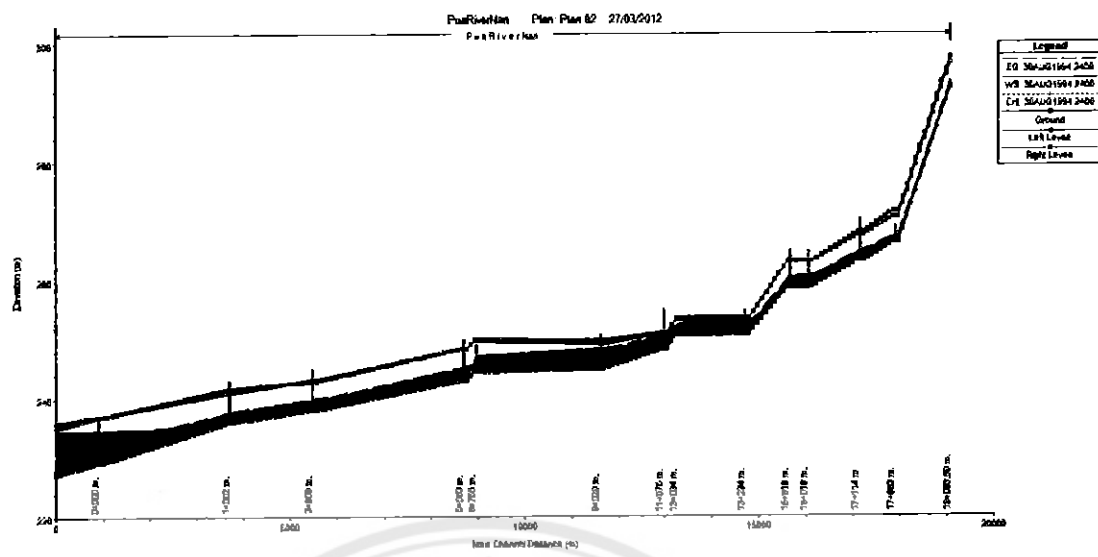




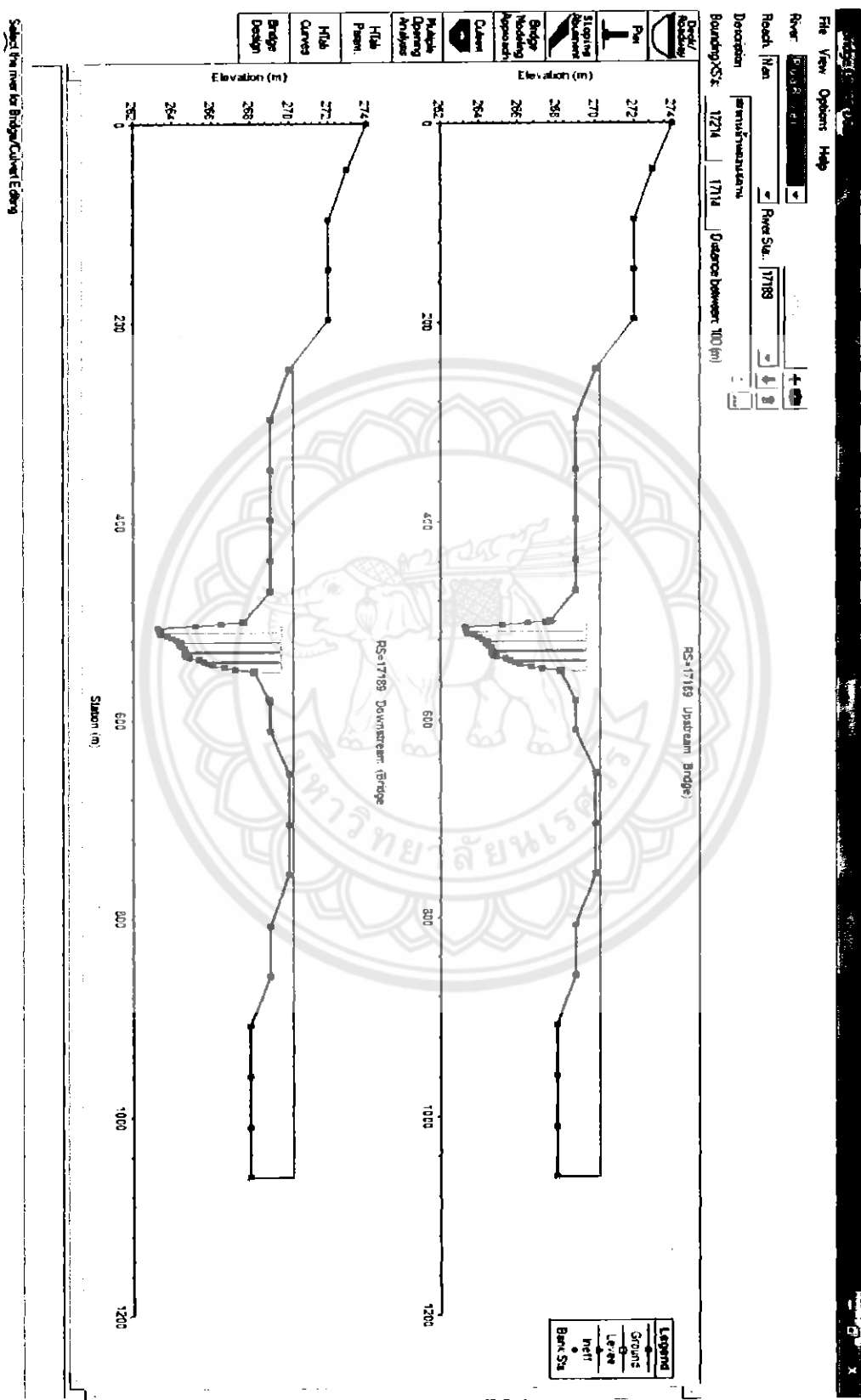


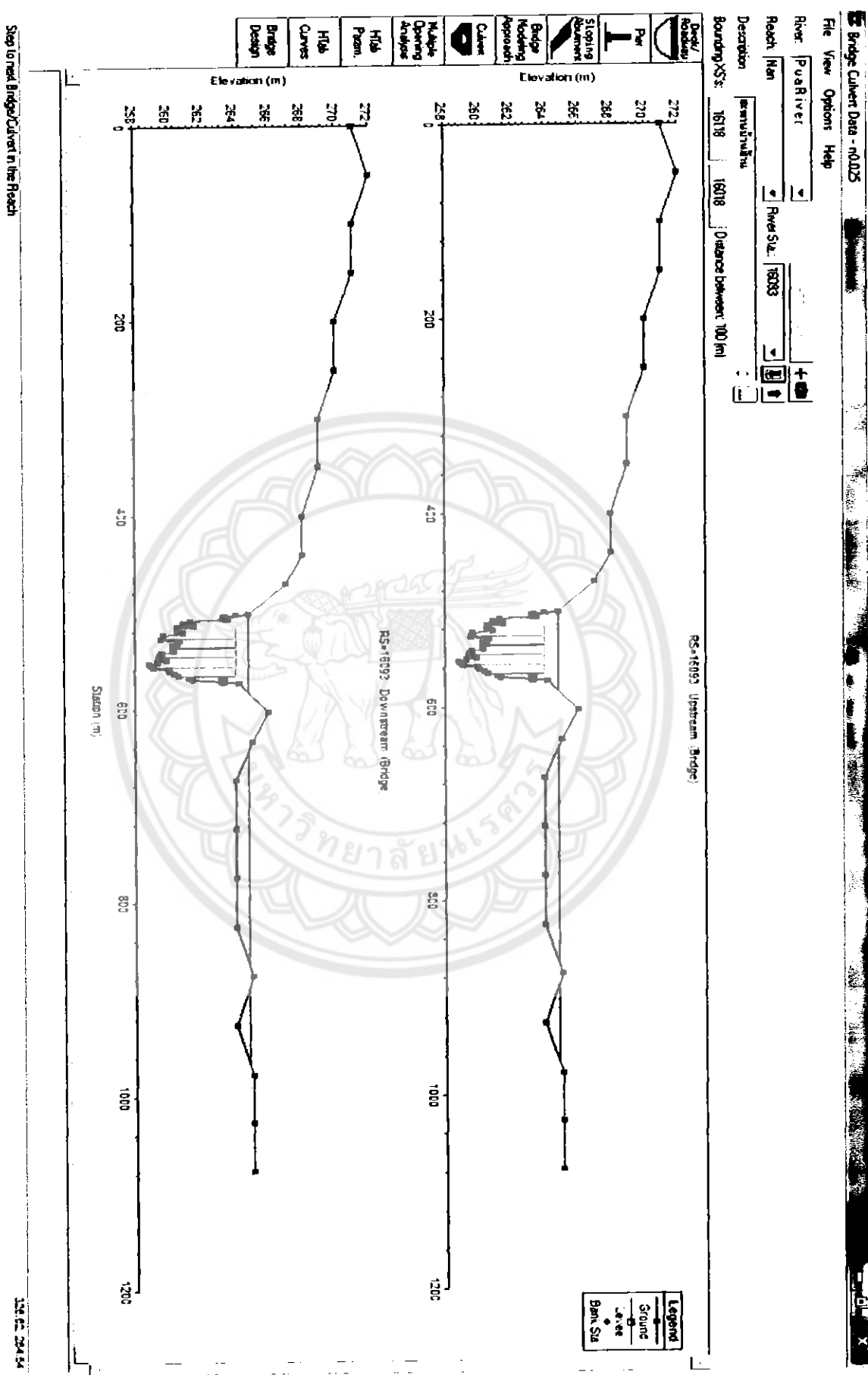


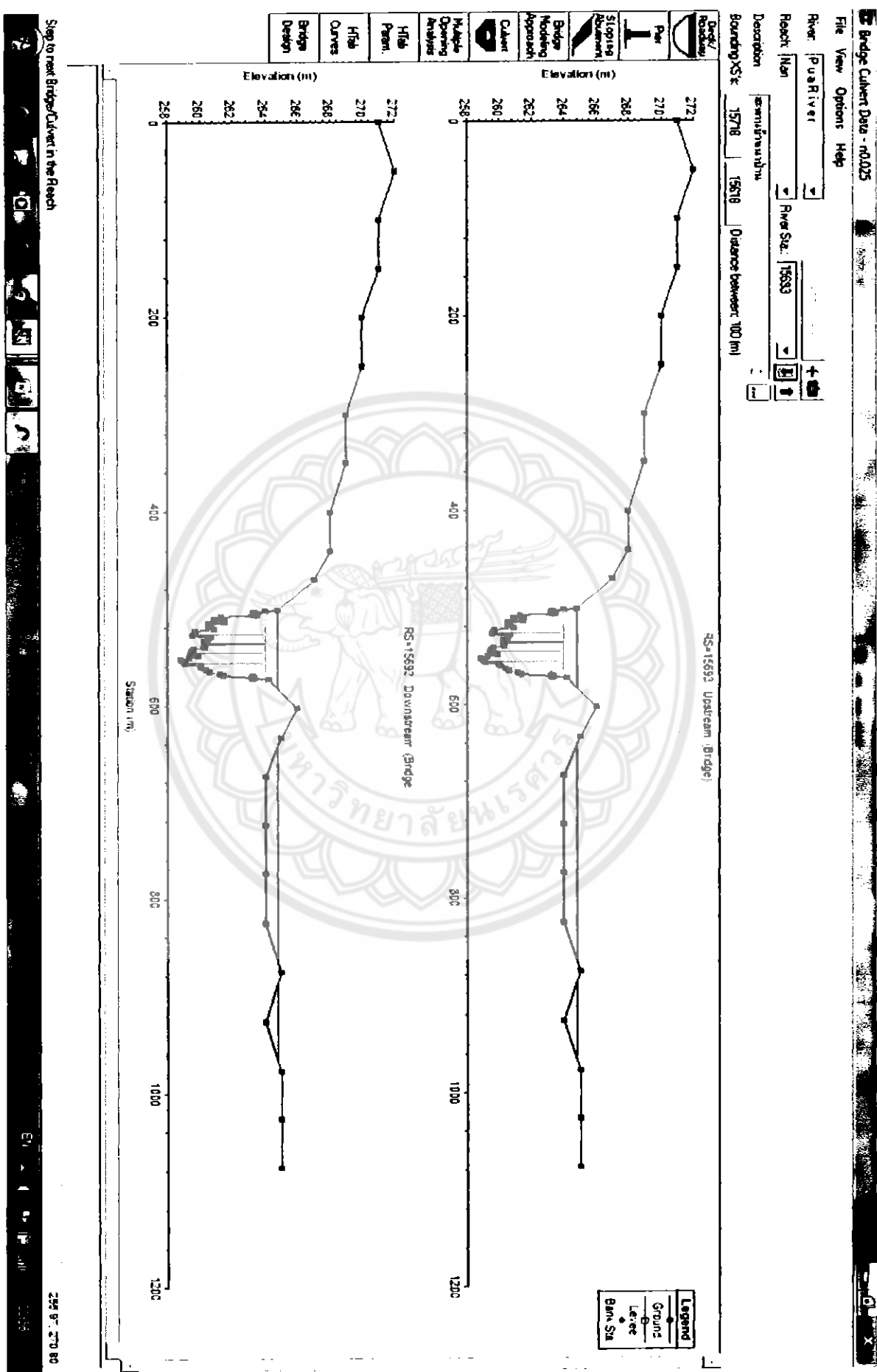


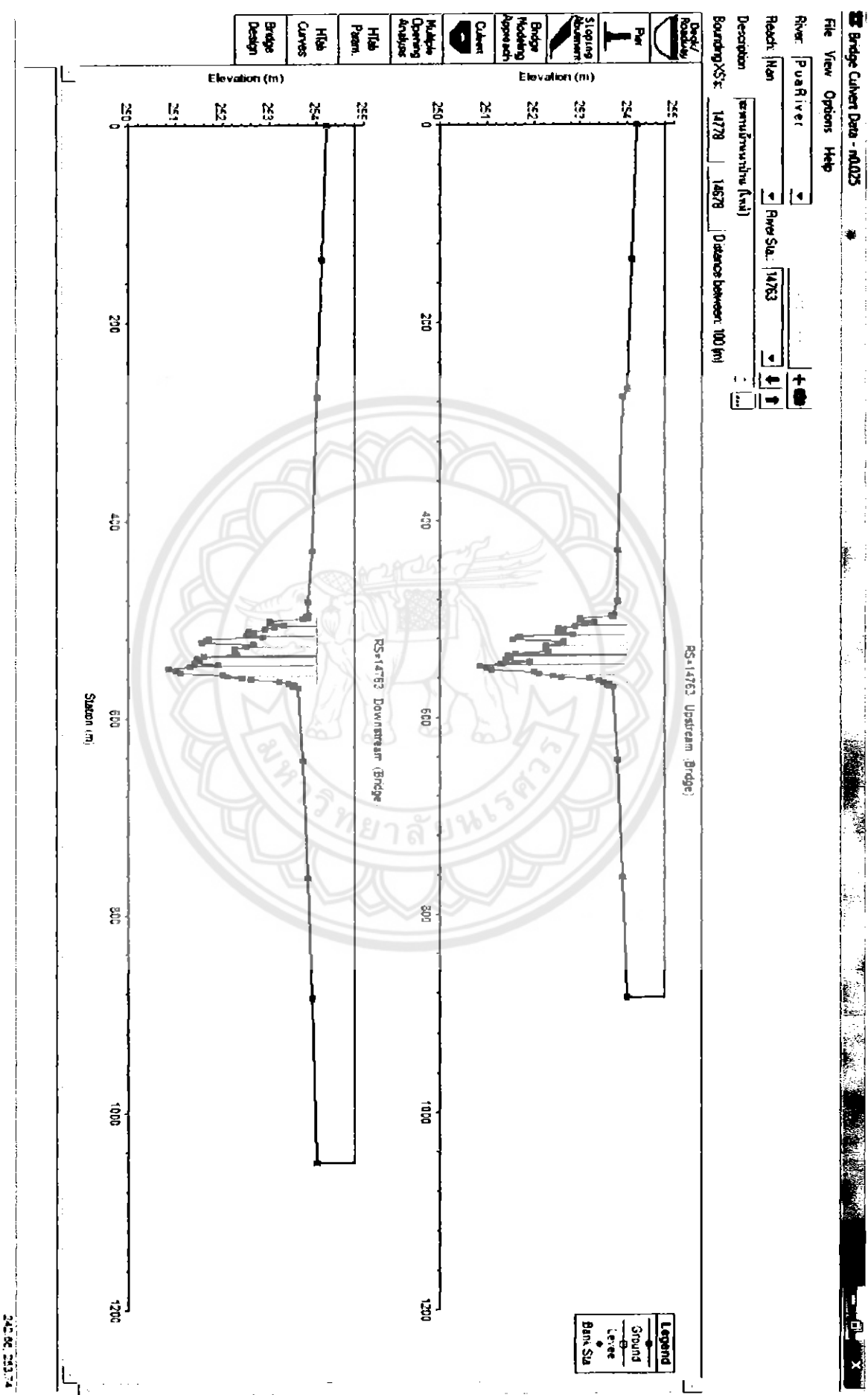


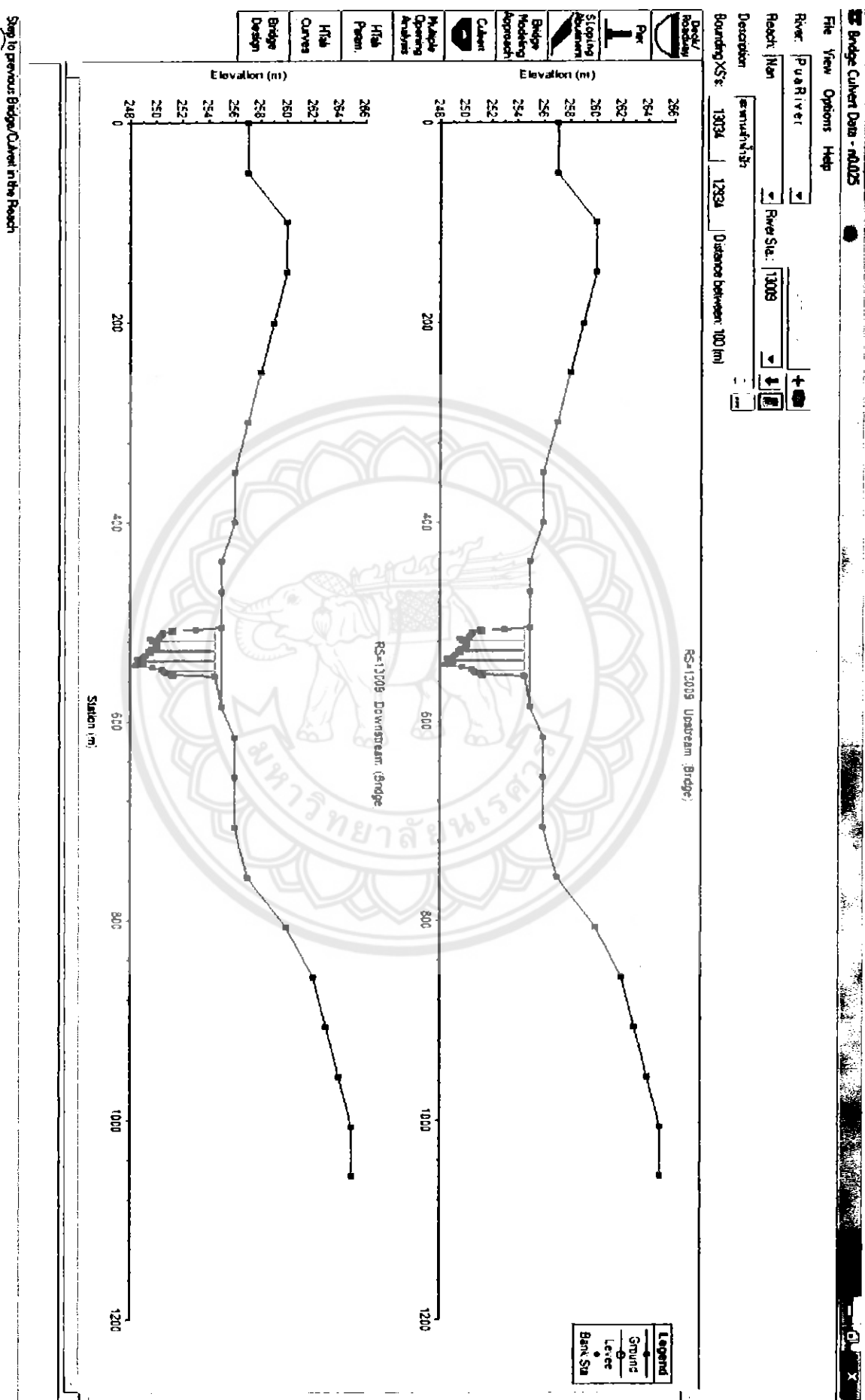
รูปที่ 4 แสดงภาพตัวเลขวางแผนพัฒนา ดำเนินการ

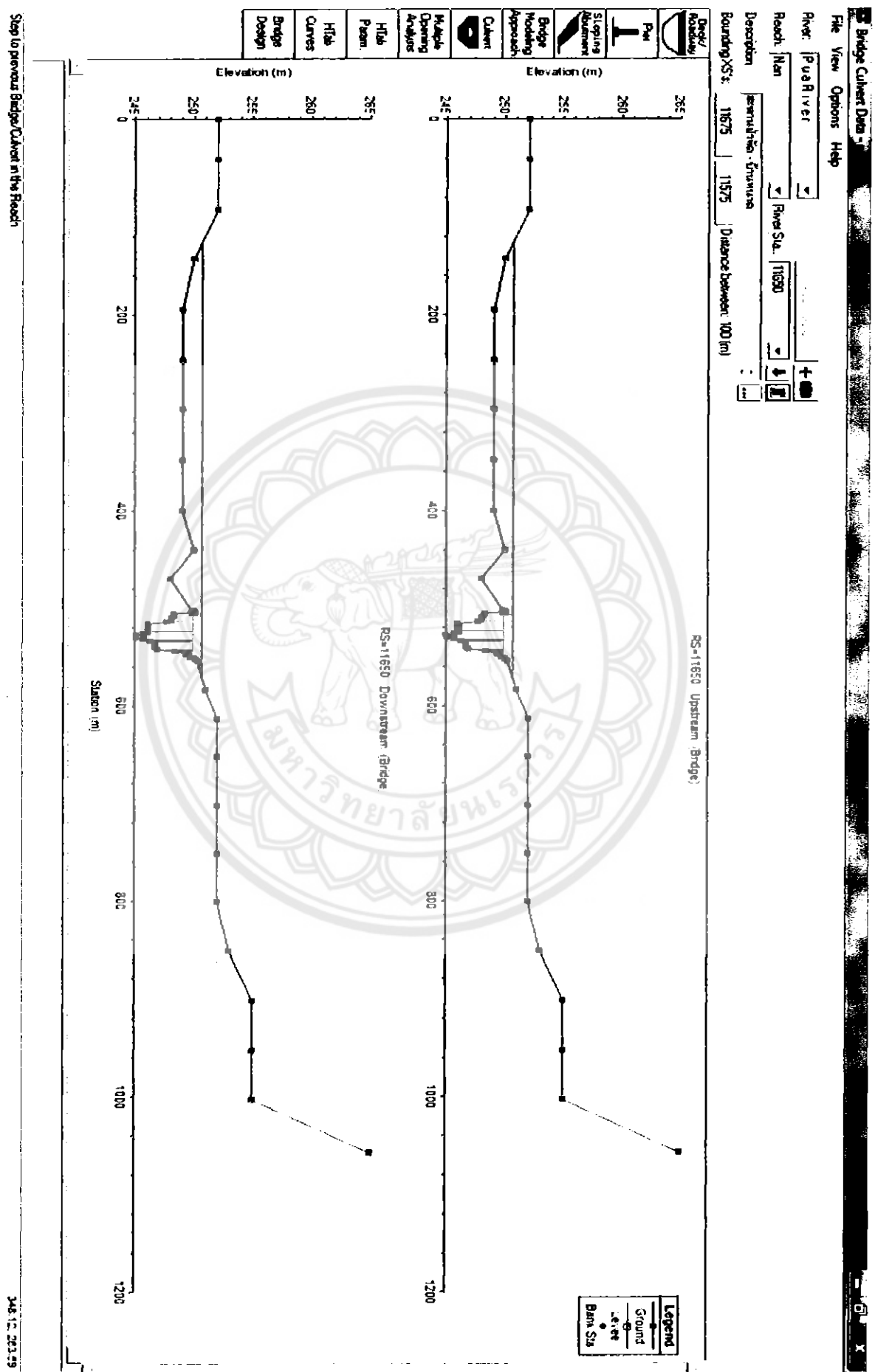


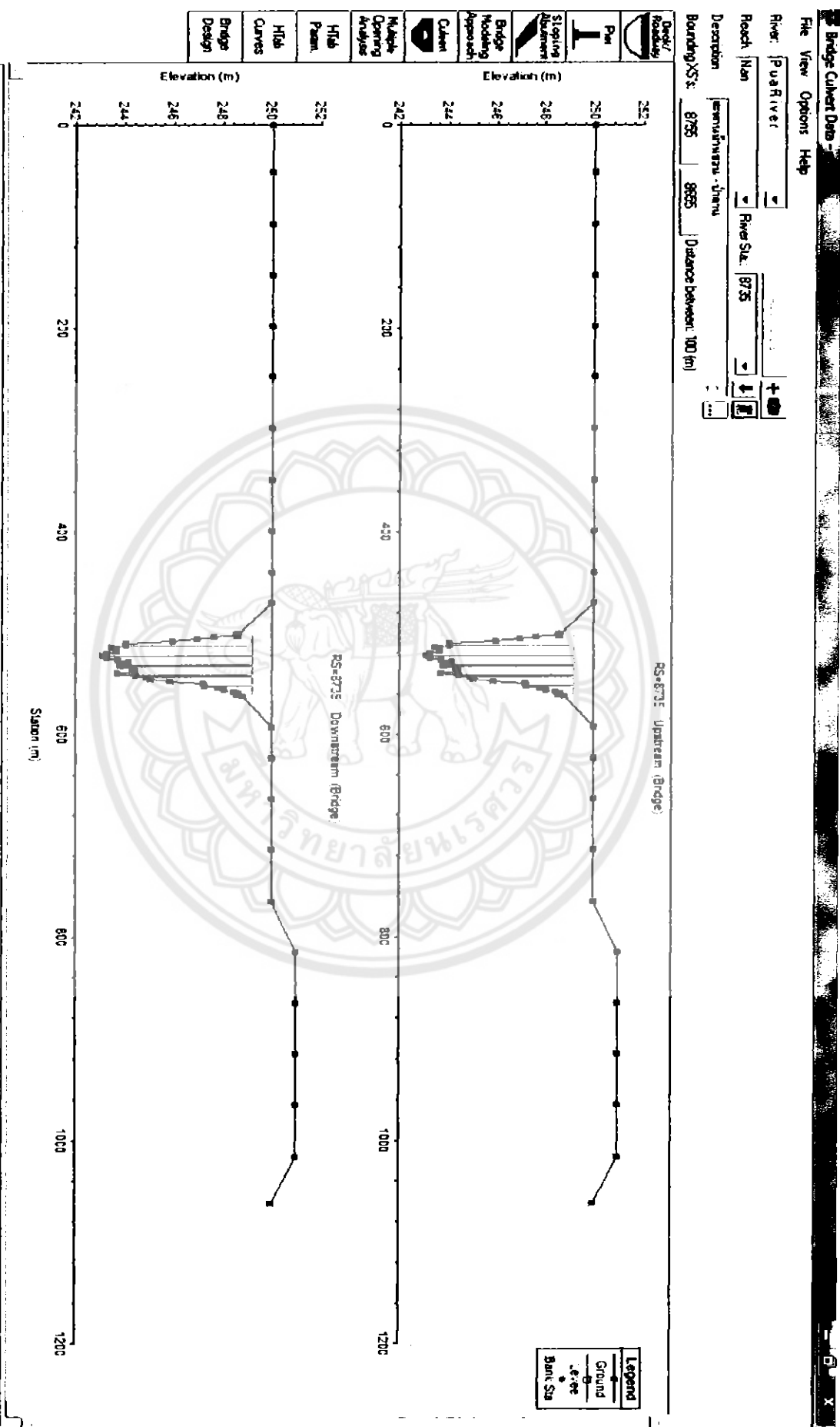




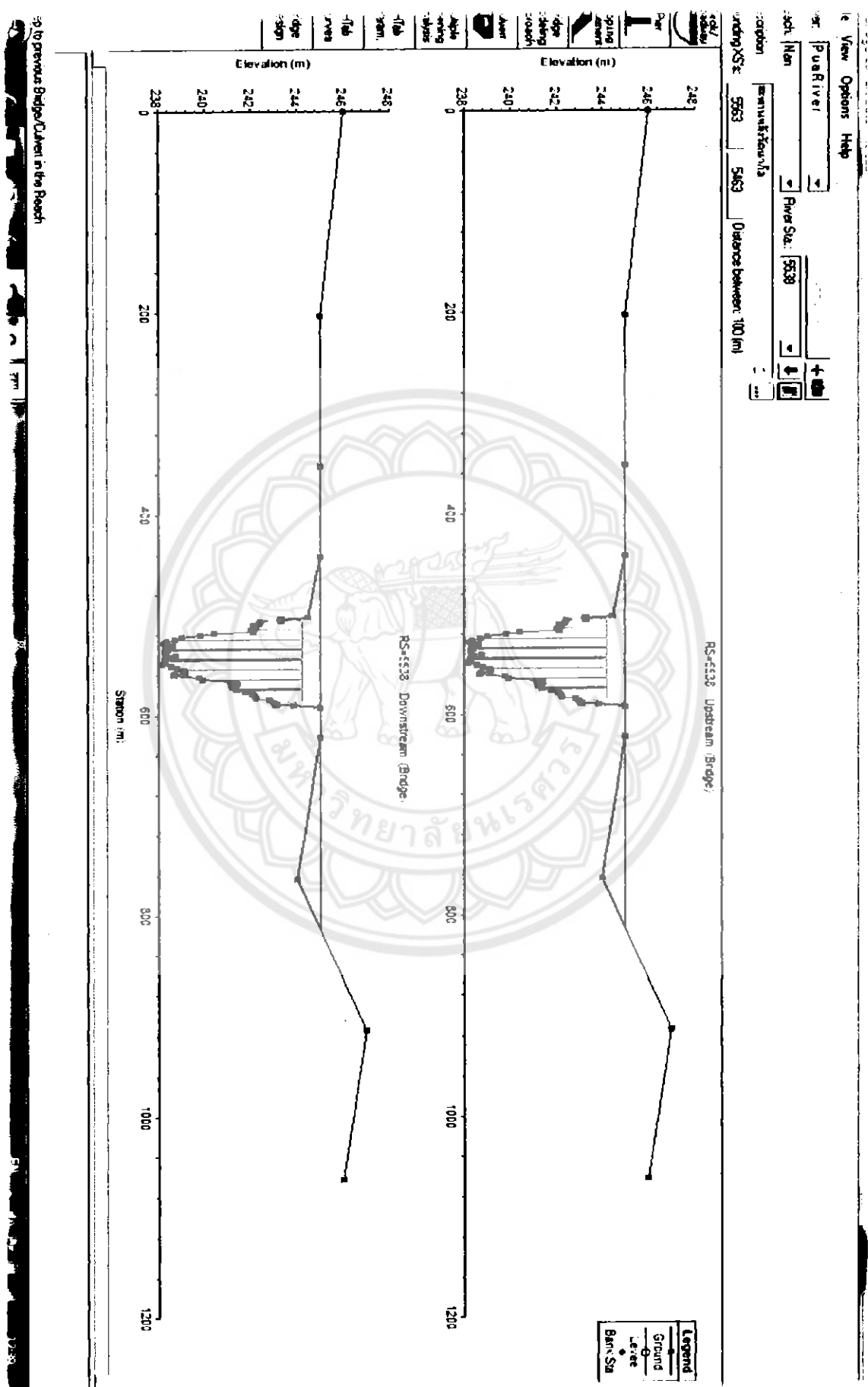




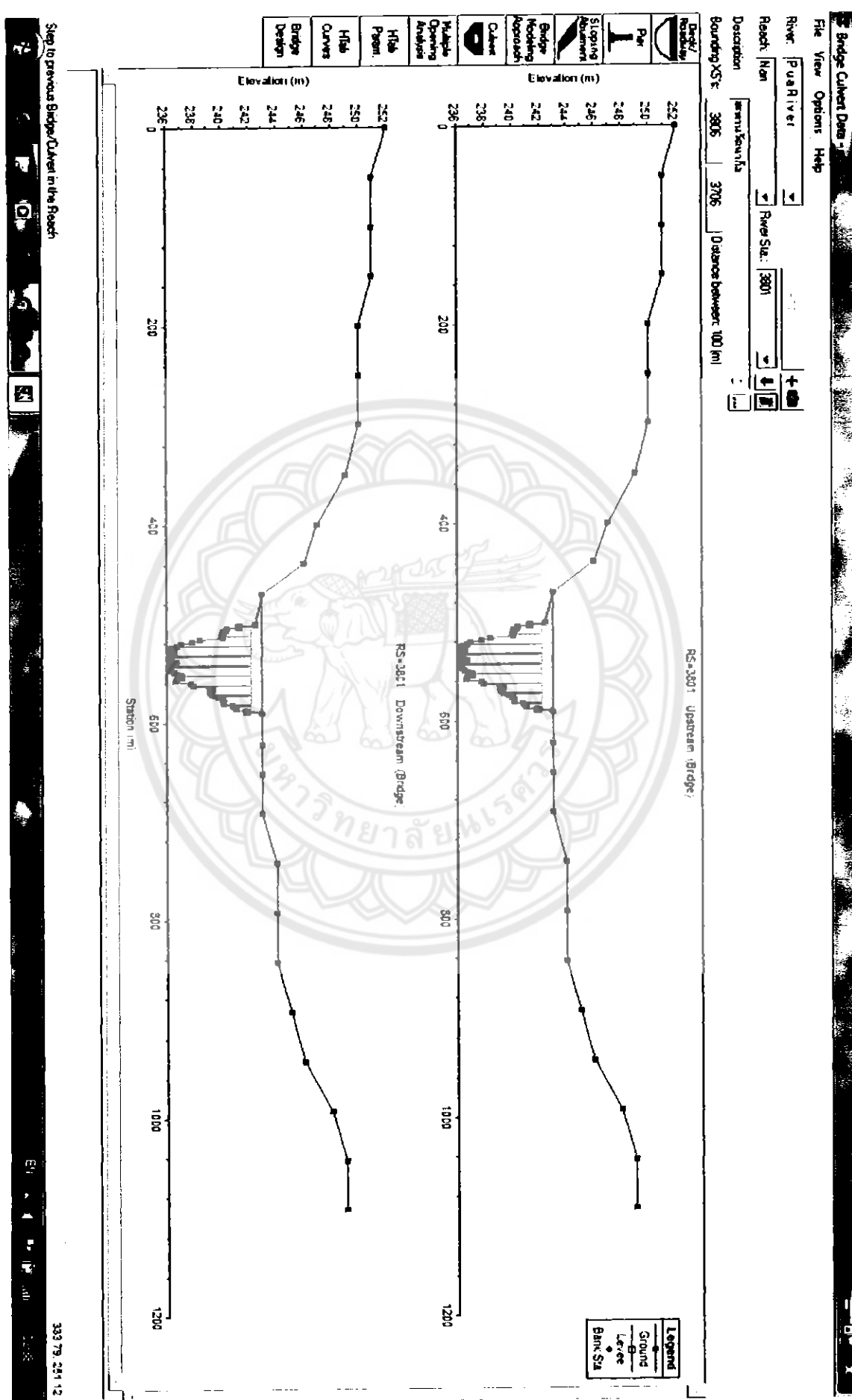


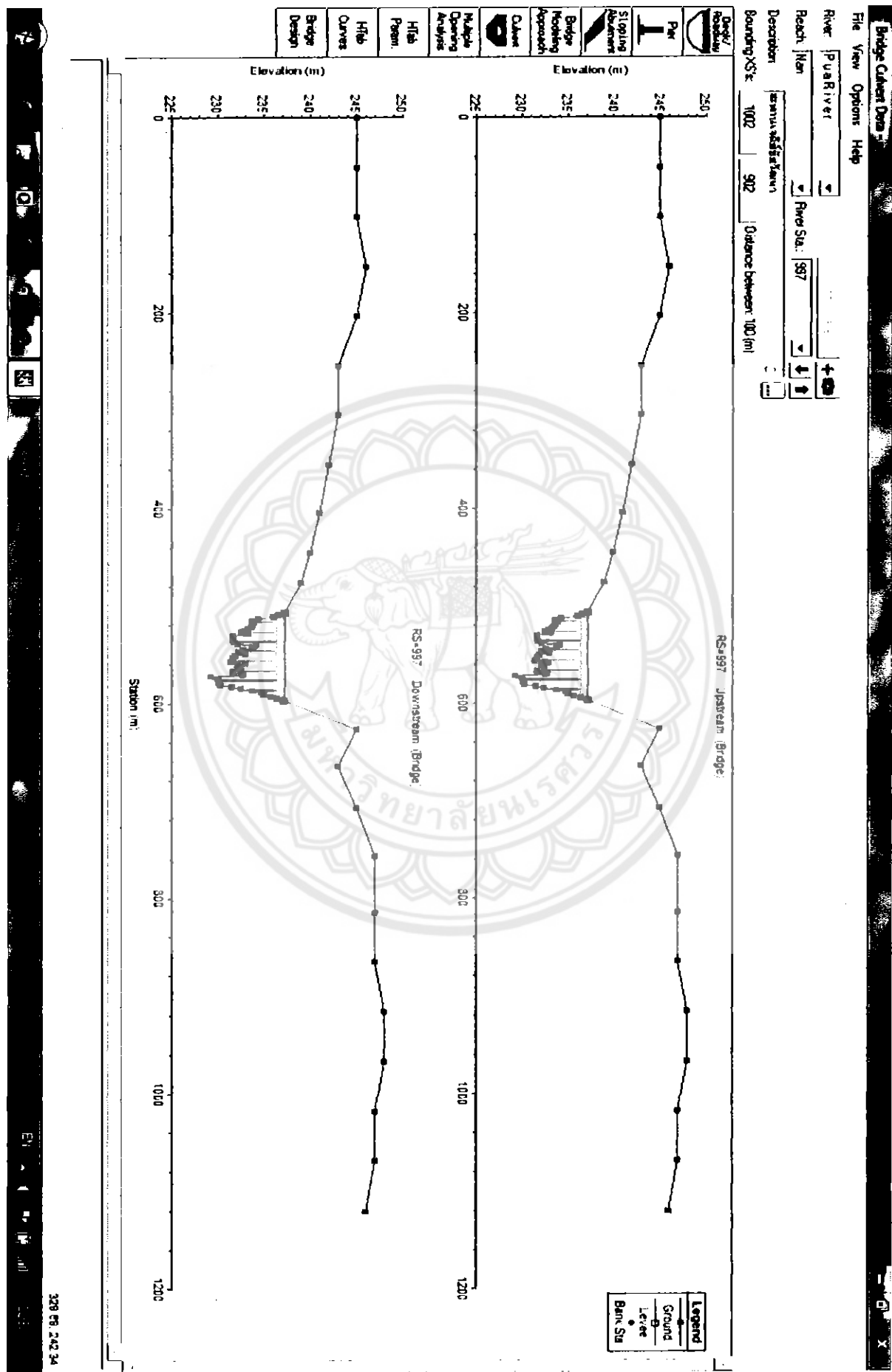


Step to previous Bridge/Culvert in the Reach

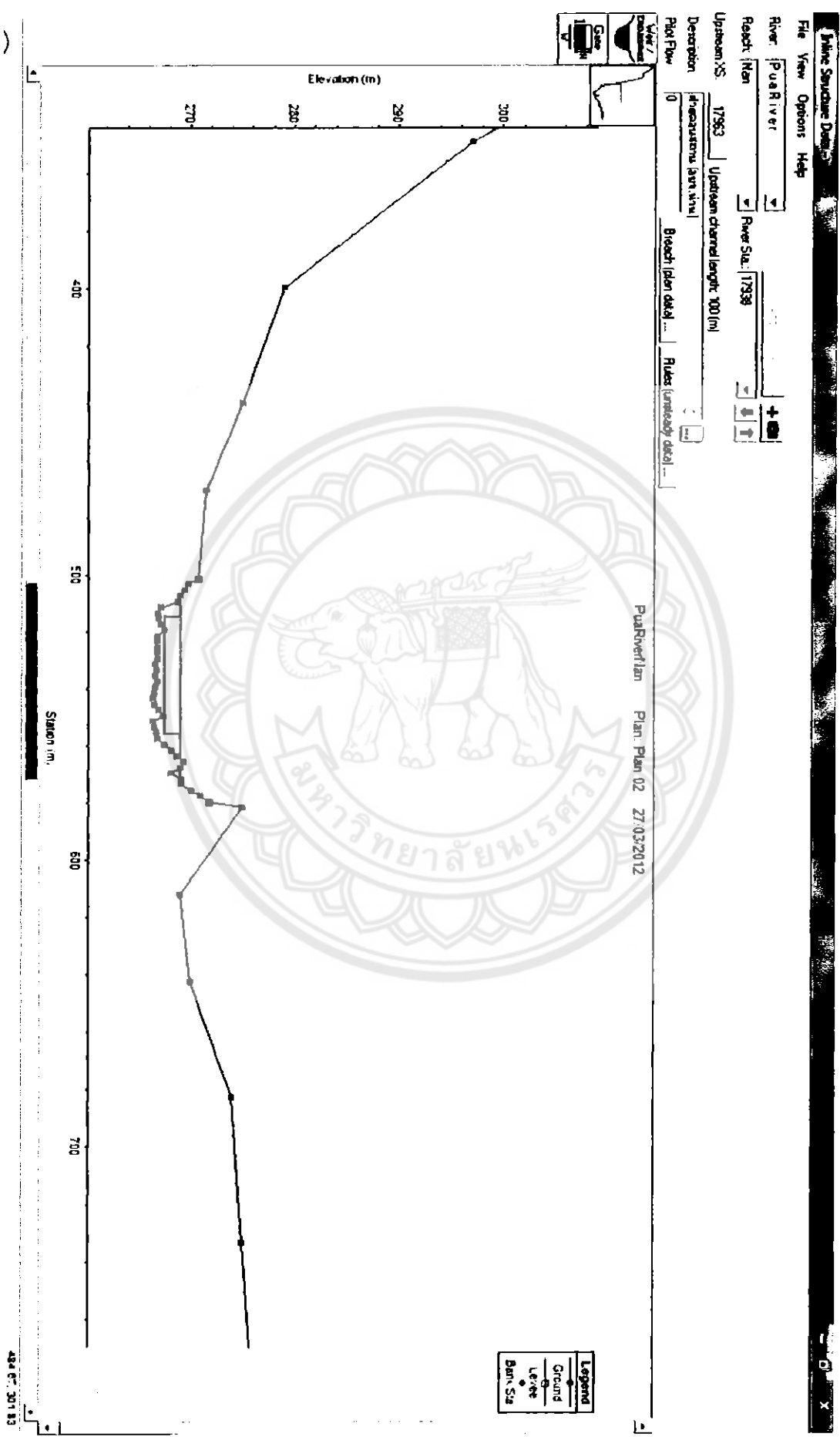


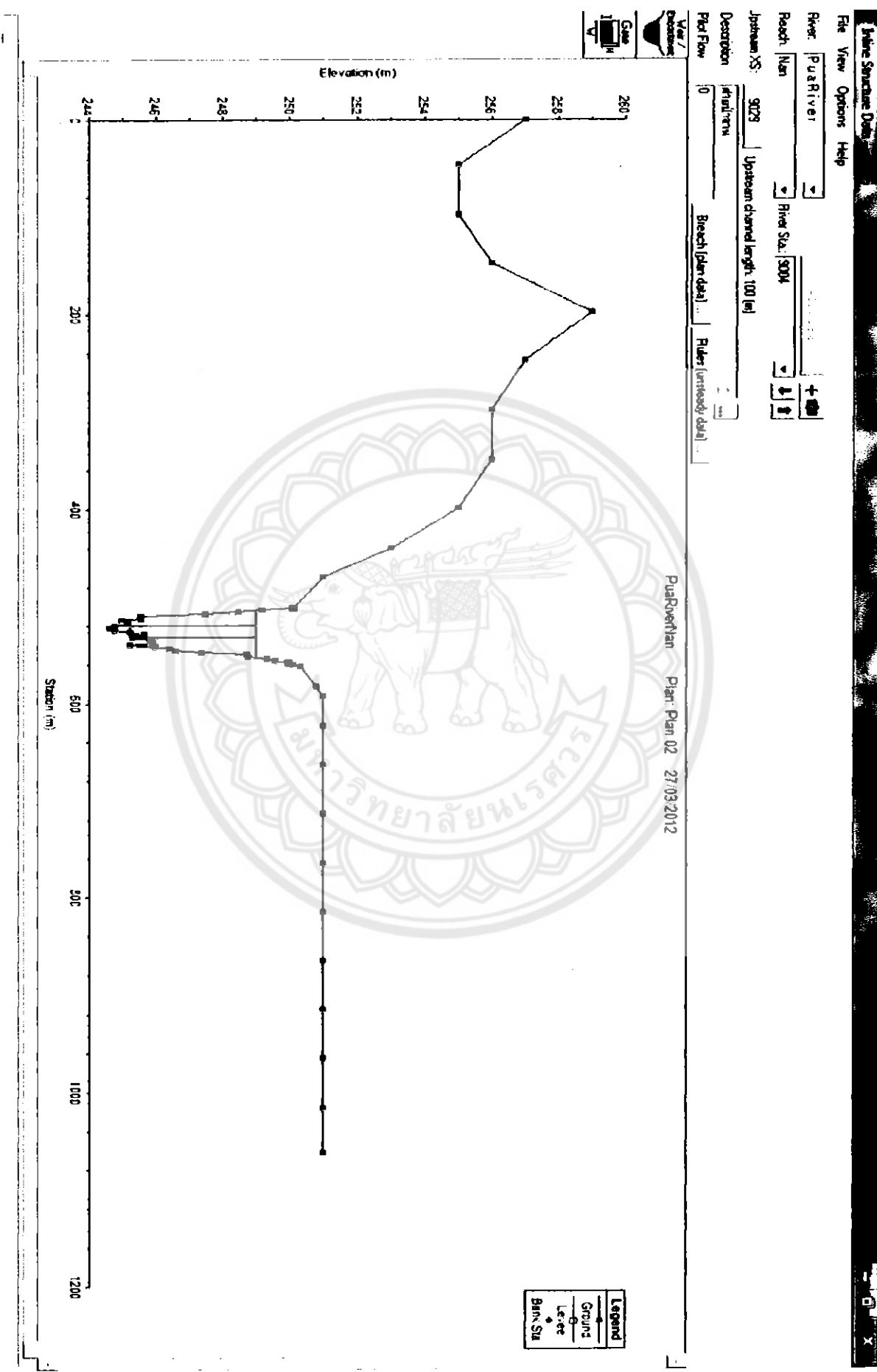
[Go to previous Bridge/Feature in the Reach](#)



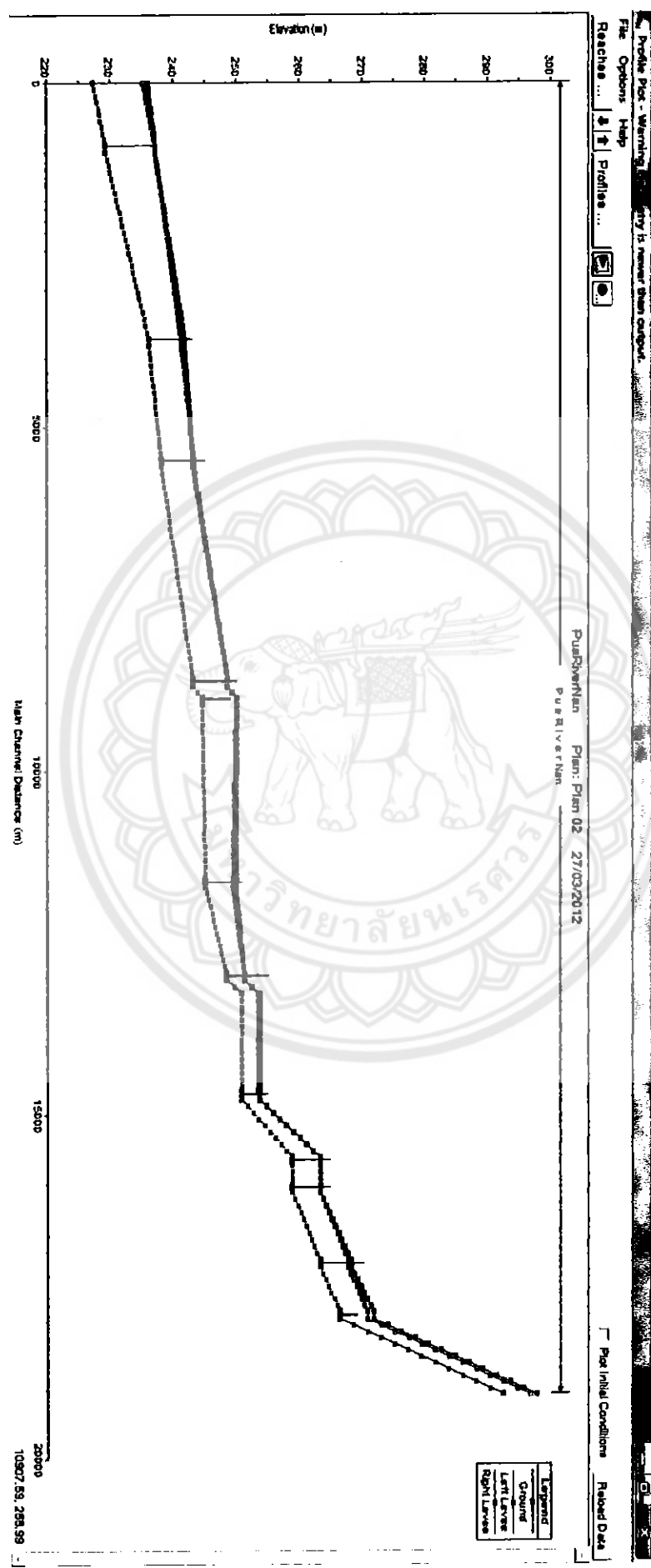


รูปที่ ๕ เส้นทางการศึกษาของแม่น้ำ สำนักงาน

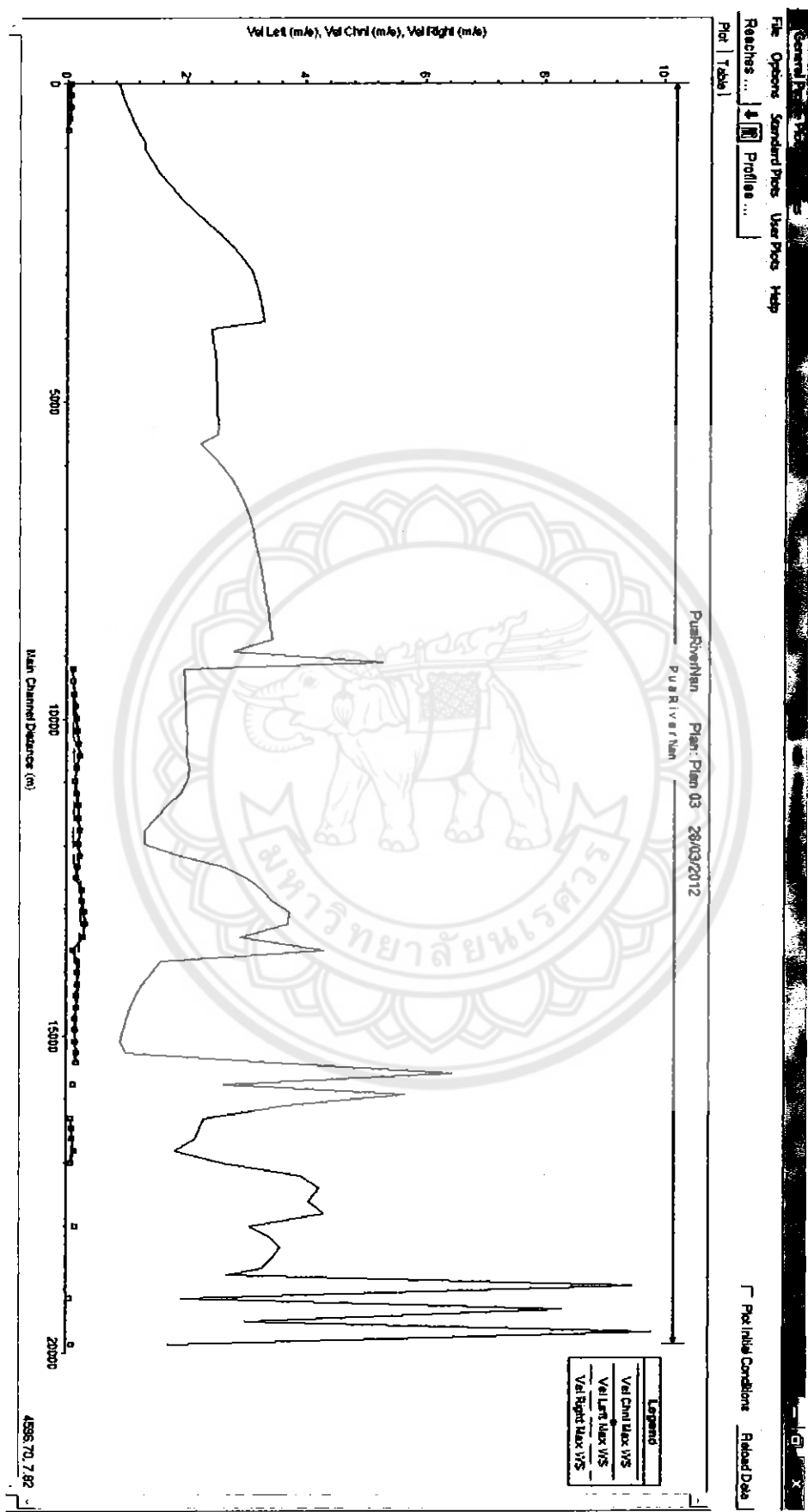




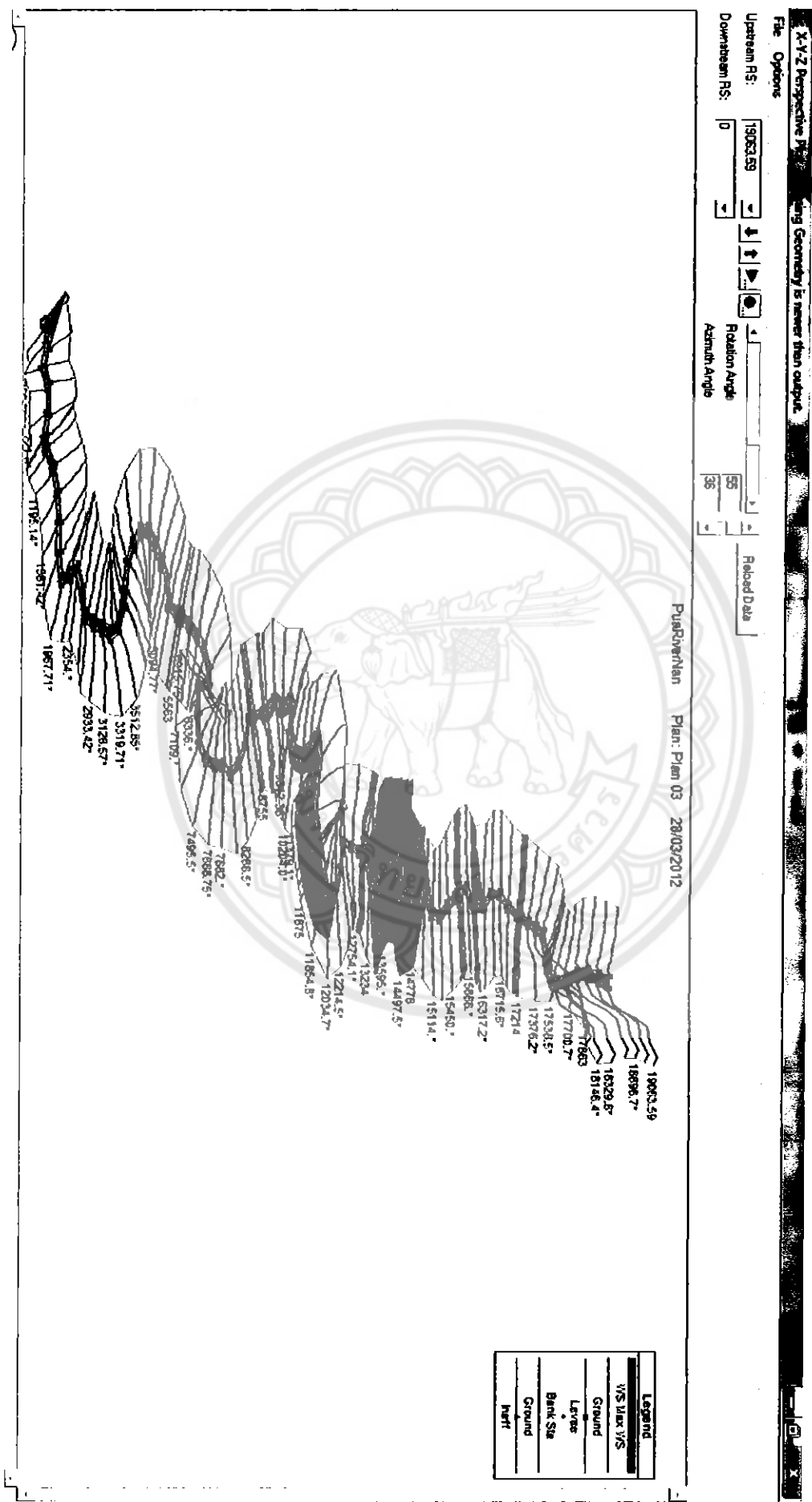
รูปที่ ๖ แสดงการเปลี่ยนแปลงระดับน้ำตามเข้า สำนักงาน



รูปที่ 7 เส้นทางเดินของลักษณะการกระจายความเรื้อรำในลั่นนาว



รัฐปีที่ 8 ภาคสามมิติ เศรษฐพัฒนาที่มาท่วม ปี 2553 ใบเรียนตัวมีภาระน้ำนมนานาชาติสุด



ตารางที่ 5.4 ค่าແໜ່ງຄໍາພົກທີເລືອກ

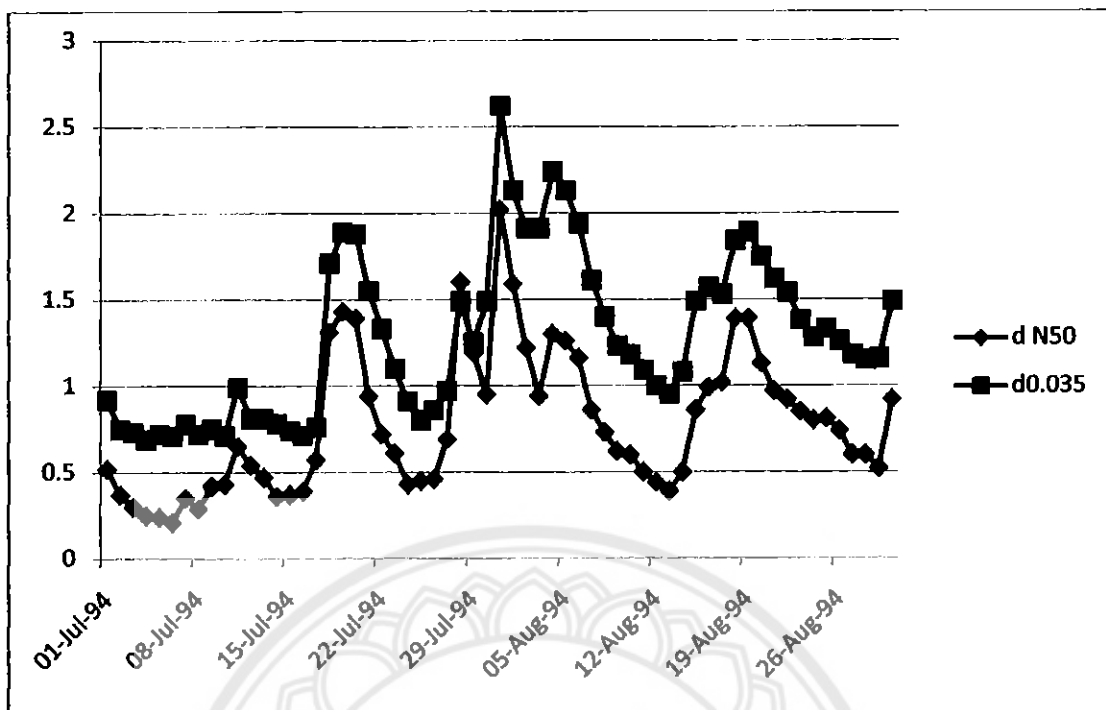
| ພົກທີ N | ພົກທີ E |
|-----------|------------|
| 705069.01 | 2125577.72 |
| 704641.56 | 2125365.03 |
| 704488.46 | 2125192.16 |
| 704271.19 | 2125002.98 |
| 703974.00 | 2125187.04 |
| 703428.11 | 2124955.59 |
| 703149.92 | 2124853.04 |
| 702955.71 | 2124849.65 |
| 702728.37 | 2124470.28 |
| 702372.59 | 2124453.32 |
| 702028.15 | 2123923.00 |
| 701633.18 | 2123931.46 |
| 701608.43 | 2123749.66 |
| 701363.28 | 2123694.40 |
| 701189.17 | 2123871.08 |
| 701059.00 | 2123727.05 |
| 700850.99 | 2123602.66 |
| 700857.39 | 2123314.36 |
| 700495.31 | 2123381.16 |
| 700069.69 | 2123178.93 |
| 700143.82 | 2123023.82 |
| 700099.98 | 2122900.25 |
| 700115.63 | 2122793.47 |
| 700054.59 | 2122719.91 |
| 699889.86 | 2122735.38 |
| 699525.59 | 2122877.51 |
| 699377.11 | 2122970.38 |
| 699329.48 | 2123141.55 |
| 699311.38 | 2123362.69 |
| 699219.09 | 2123404.51 |
| 699138.10 | 2123348.95 |
| 699116.83 | 2123193.20 |
| 699045.08 | 2123085.40 |
| 698819.79 | 2122974.00 |
| 698707.49 | 2123022.50 |
| 698610.87 | 2123128.19 |
| 698665.66 | 2123207.97 |
| 698677.94 | 2123272.34 |
| 698600.99 | 2123273.62 |
| 698483.89 | 2123076.52 |
| 698299.06 | 2123068.05 |
| 698181.69 | 2122857.11 |
| 698031.03 | 2122755.10 |
| 697897.21 | 2122613.47 |
| 697946.13 | 2122355.53 |

| | |
|-----------|------------|
| 697742.64 | 2122061.20 |
| 697594.65 | 2122046.73 |
| 697386.35 | 2121898.16 |
| 697309.38 | 2121880.63 |
| 697247.51 | 2121853.13 |
| 697043.81 | 2121864.29 |
| 696862.90 | 2122103.80 |
| 696868.08 | 2122249.51 |
| 696957.18 | 2122253.99 |
| 697051.34 | 2122197.34 |
| 697133.85 | 2122348.22 |
| 696942.98 | 2122404.94 |
| 696862.62 | 2122446.58 |
| 696788.65 | 2122393.20 |
| 696740.70 | 2122415.14 |
| 696543.29 | 2122391.12 |
| 696350.64 | 2122304.01 |
| 696032.96 | 2122204.11 |
| 695842.72 | 2122371.37 |
| 695731.13 | 2122321.26 |
| 695563.00 | 2122346.09 |
| 695358.31 | 2122323.86 |
| 695185.22 | 2122178.71 |
| 695145.93 | 2122050.52 |
| 695092.96 | 2121955.25 |
| 695213.76 | 2121565.39 |
| 695170.66 | 2121346.03 |
| 694945.87 | 2121246.59 |
| 694540.86 | 2121064.53 |
| 694394.71 | 2121169.22 |
| 694235.02 | 2121202.02 |
| 694151.59 | 2121222.90 |
| 694139.12 | 2121134.33 |
| 693988.56 | 2120952.09 |
| 693830.33 | 2121041.36 |
| 693654.77 | 2121319.79 |
| 693493.77 | 2121421.99 |
| 693325.95 | 2121447.01 |
| 693197.05 | 2121444.16 |
| 693110.82 | 2121506.34 |
| 693126.85 | 2121628.11 |
| 693053.40 | 2121785.01 |
| 692999.50 | 2121817.26 |
| 692919.26 | 2121804.43 |
| 692843.40 | 2121835.89 |
| 692832.90 | 2121936.63 |
| 692854.99 | 2122043.38 |
| 692720.26 | 2122092.07 |

ตารางที่ 5.5 ระดับน้ำที่สถานี N50 และการสอนเทียนหาสัมประสิทธิ์ค่าความชุบชูของแผนนิ่ง
(สมมติค่า $n = 0.035$)

| วัน | WSL | d N50 | d0.035 | Bed C |
|-----------|--------|-------|--------|--------|
| 01-Jul-94 | 251.77 | 0.52 | 0.92 | 250.85 |
| 02-Jul-94 | 251.6 | 0.37 | 0.75 | 250.85 |
| 03-Jul-94 | 251.58 | 0.3 | 0.73 | 250.85 |
| 04-Jul-94 | 251.54 | 0.25 | 0.69 | 250.85 |
| 05-Jul-94 | 251.57 | 0.24 | 0.72 | 250.85 |
| 06-Jul-94 | 251.56 | 0.21 | 0.71 | 250.85 |
| 07-Jul-94 | 251.63 | 0.35 | 0.78 | 250.85 |
| 08-Jul-94 | 251.57 | 0.29 | 0.72 | 250.85 |
| 09-Jul-94 | 251.6 | 0.42 | 0.75 | 250.85 |
| 10-Jul-94 | 251.56 | 0.43 | 0.71 | 250.85 |
| 11-Jul-94 | 251.84 | 0.65 | 0.99 | 250.85 |
| 12-Jul-94 | 251.66 | 0.54 | 0.81 | 250.85 |
| 13-Jul-94 | 251.66 | 0.47 | 0.81 | 250.85 |
| 14-Jul-94 | 251.63 | 0.36 | 0.78 | 250.85 |
| 15-Jul-94 | 251.59 | 0.37 | 0.74 | 250.85 |
| 16-Jul-94 | 251.56 | 0.39 | 0.71 | 250.85 |
| 17-Jul-94 | 251.61 | 0.57 | 0.76 | 250.85 |
| 18-Jul-94 | 252.56 | 1.31 | 1.71 | 250.85 |
| 19-Jul-94 | 252.74 | 1.43 | 1.89 | 250.85 |
| 20-Jul-94 | 252.73 | 1.39 | 1.88 | 250.85 |
| 21-Jul-94 | 252.4 | 0.94 | 1.55 | 250.85 |
| 22-Jul-94 | 252.18 | 0.72 | 1.33 | 250.85 |
| 23-Jul-94 | 251.95 | 0.61 | 1.1 | 250.85 |
| 24-Jul-94 | 251.76 | 0.43 | 0.91 | 250.85 |
| 25-Jul-94 | 251.65 | 0.45 | 0.8 | 250.85 |
| 26-Jul-94 | 251.71 | 0.46 | 0.86 | 250.85 |
| 27-Jul-94 | 251.82 | 0.69 | 0.97 | 250.85 |
| 28-Jul-94 | 252.34 | 1.6 | 1.49 | 250.85 |
| 29-Jul-94 | 252.1 | 1.19 | 1.25 | 250.85 |

| | | | | |
|-----------|--------|------|------|--------|
| 30-Jul-94 | 252.34 | 0.95 | 1.49 | 250.85 |
| 31-Jul-94 | 253.47 | 2.02 | 2.62 | 250.85 |
| 01-Aug-94 | 252.98 | 1.59 | 2.13 | 250.85 |
| 02-Aug-94 | 252.76 | 1.22 | 1.91 | 250.85 |
| 03-Aug-94 | 252.76 | 0.94 | 1.91 | 250.85 |
| 04-Aug-94 | 253.09 | 1.3 | 2.24 | 250.85 |
| 05-Aug-94 | 252.98 | 1.26 | 2.13 | 250.85 |
| 06-Aug-94 | 252.79 | 1.16 | 1.94 | 250.85 |
| 07-Aug-94 | 252.46 | 0.86 | 1.61 | 250.85 |
| 08-Aug-94 | 252.25 | 0.73 | 1.4 | 250.85 |
| 09-Aug-94 | 252.08 | 0.62 | 1.23 | 250.85 |
| 10-Aug-94 | 252.03 | 0.6 | 1.18 | 250.85 |
| 11-Aug-94 | 251.94 | 0.5 | 1.09 | 250.85 |
| 12-Aug-94 | 251.85 | 0.44 | 1 | 250.85 |
| 13-Aug-94 | 251.8 | 0.39 | 0.95 | 250.85 |
| 14-Aug-94 | 251.93 | 0.5 | 1.08 | 250.85 |
| 15-Aug-94 | 252.34 | 0.86 | 1.49 | 250.85 |
| 16-Aug-94 | 252.42 | 0.99 | 1.57 | 250.85 |
| 17-Aug-94 | 252.38 | 1.02 | 1.53 | 250.85 |
| 18-Aug-94 | 252.69 | 1.39 | 1.84 | 250.85 |
| 19-Aug-94 | 252.74 | 1.39 | 1.89 | 250.85 |
| 20-Aug-94 | 252.6 | 1.13 | 1.75 | 250.85 |
| 21-Aug-94 | 252.47 | 0.97 | 1.62 | 250.85 |
| 22-Aug-94 | 252.39 | 0.92 | 1.54 | 250.85 |
| 23-Aug-94 | 252.23 | 0.85 | 1.38 | 250.85 |
| 24-Aug-94 | 252.13 | 0.8 | 1.28 | 250.85 |
| 25-Aug-94 | 252.18 | 0.81 | 1.33 | 250.85 |
| 26-Aug-94 | 252.11 | 0.74 | 1.26 | 250.85 |
| 27-Aug-94 | 252.03 | 0.6 | 1.18 | 250.85 |
| 28-Aug-94 | 252 | 0.6 | 1.15 | 250.85 |
| 29-Aug-94 | 252.01 | 0.52 | 1.16 | 250.85 |
| 30-Aug-94 | 252.34 | 0.92 | 1.49 | 250.85 |

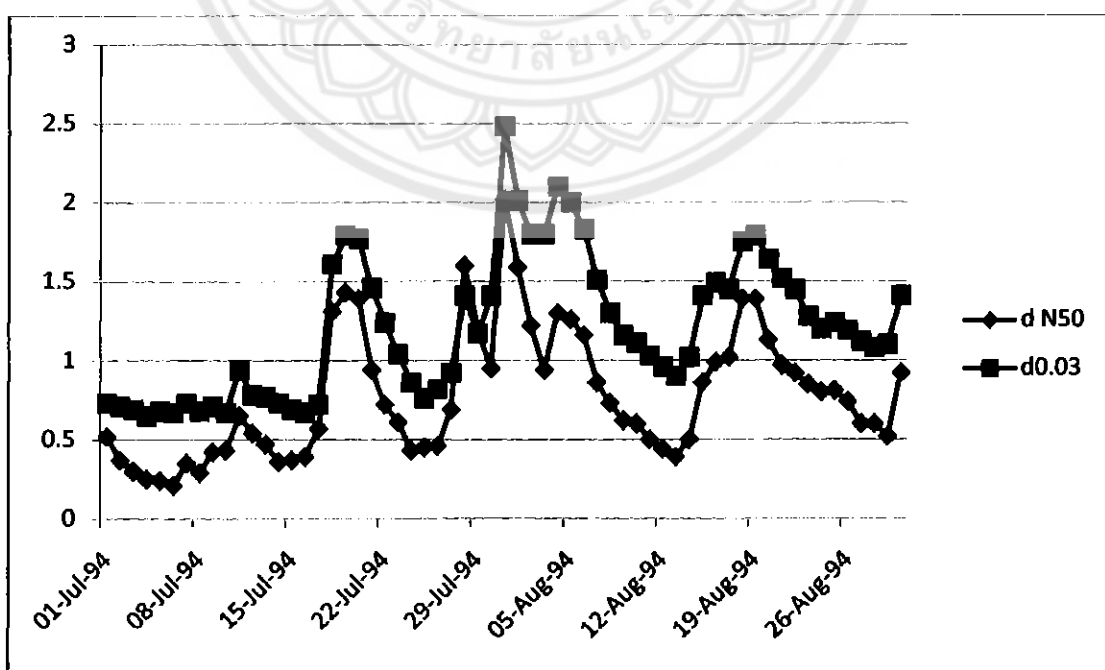
รูปที่ 9 แสดงการเปรียบเทียบกราฟ $n = 0.035$

ตารางที่ 5.6 ระดับน้ำที่สถานี N50 และการสอนเพียนหาสัมประสิทธิ์ค่าความชื้นของแม่น้ำ
(สมมติค่า $n = 0.030$)

| วัน | WSL | d N50 | d 0.03 | Bed C |
|-----------|--------|-------|--------|--------|
| 01-Jul-94 | 251.58 | 0.52 | 0.73 | 250.85 |
| 02-Jul-94 | 251.56 | 0.37 | 0.71 | 250.85 |
| 03-Jul-94 | 251.54 | 0.3 | 0.69 | 250.85 |
| 04-Jul-94 | 251.5 | 0.25 | 0.65 | 250.85 |
| 05-Jul-94 | 251.53 | 0.24 | 0.68 | 250.85 |
| 06-Jul-94 | 251.52 | 0.21 | 0.67 | 250.85 |
| 07-Jul-94 | 251.58 | 0.35 | 0.73 | 250.85 |
| 08-Jul-94 | 251.53 | 0.29 | 0.68 | 250.85 |
| 09-Jul-94 | 251.56 | 0.42 | 0.71 | 250.85 |
| 10-Jul-94 | 251.52 | 0.43 | 0.67 | 250.85 |
| 11-Jul-94 | 251.79 | 0.65 | 0.94 | 250.85 |
| 12-Jul-94 | 251.63 | 0.54 | 0.78 | 250.85 |

| | | | | |
|-----------|--------|------|------|--------|
| 13-Jul-94 | 251.62 | 0.47 | 0.77 | 250.85 |
| 14-Jul-94 | 251.58 | 0.36 | 0.73 | 250.85 |
| 15-Jul-94 | 251.54 | 0.37 | 0.69 | 250.85 |
| 16-Jul-94 | 251.52 | 0.39 | 0.67 | 250.85 |
| 17-Jul-94 | 251.57 | 0.57 | 0.72 | 250.85 |
| 18-Jul-94 | 252.46 | 1.31 | 1.61 | 250.85 |
| 19-Jul-94 | 252.64 | 1.43 | 1.79 | 250.85 |
| 20-Jul-94 | 252.62 | 1.39 | 1.77 | 250.85 |
| 21-Jul-94 | 252.31 | 0.94 | 1.46 | 250.85 |
| 22-Jul-94 | 252.09 | 0.72 | 1.24 | 250.85 |
| 23-Jul-94 | 251.89 | 0.61 | 1.04 | 250.85 |
| 24-Jul-94 | 251.71 | 0.43 | 0.86 | 250.85 |
| 25-Jul-94 | 251.61 | 0.45 | 0.76 | 250.85 |
| 26-Jul-94 | 251.67 | 0.46 | 0.82 | 250.85 |
| 27-Jul-94 | 251.77 | 0.69 | 0.92 | 250.85 |
| 28-Jul-94 | 252.26 | 1.6 | 1.41 | 250.85 |
| 29-Jul-94 | 252.02 | 1.19 | 1.17 | 250.85 |
| 30-Jul-94 | 252.26 | 0.95 | 1.41 | 250.85 |
| 31-Jul-94 | 253.33 | 2.02 | 2.48 | 250.85 |
| 01-Aug-94 | 252.86 | 1.59 | 2.01 | 250.85 |
| 02-Aug-94 | 252.65 | 1.22 | 1.8 | 250.85 |
| 03-Aug-94 | 252.65 | 0.94 | 1.8 | 250.85 |
| 04-Aug-94 | 252.95 | 1.3 | 2.1 | 250.85 |
| 05-Aug-94 | 252.85 | 1.26 | 2 | 250.85 |
| 06-Aug-94 | 252.68 | 1.16 | 1.83 | 250.85 |
| 07-Aug-94 | 252.36 | 0.86 | 1.51 | 250.85 |
| 08-Aug-94 | 252.15 | 0.73 | 1.3 | 250.85 |
| 09-Aug-94 | 252.01 | 0.62 | 1.16 | 250.85 |
| 10-Aug-94 | 251.96 | 0.6 | 1.11 | 250.85 |
| 11-Aug-94 | 251.88 | 0.5 | 1.03 | 250.85 |
| 12-Aug-94 | 251.81 | 0.44 | 0.96 | 250.85 |
| 13-Aug-94 | 251.75 | 0.39 | 0.9 | 250.85 |

| | | | | |
|-----------|--------|------|------|--------|
| 14-Aug-94 | 251.87 | 0.5 | 1.02 | 250.85 |
| 15-Aug-94 | 252.26 | 0.86 | 1.41 | 250.85 |
| 16-Aug-94 | 252.34 | 0.99 | 1.49 | 250.85 |
| 17-Aug-94 | 252.3 | 1.02 | 1.45 | 250.85 |
| 18-Aug-94 | 252.6 | 1.39 | 1.75 | 250.85 |
| 19-Aug-94 | 252.64 | 1.39 | 1.79 | 250.85 |
| 20-Aug-94 | 252.49 | 1.13 | 1.64 | 250.85 |
| 21-Aug-94 | 252.37 | 0.97 | 1.52 | 250.85 |
| 22-Aug-94 | 252.3 | 0.92 | 1.45 | 250.85 |
| 23-Aug-94 | 252.13 | 0.85 | 1.28 | 250.85 |
| 24-Aug-94 | 252.05 | 0.8 | 1.2 | 250.85 |
| 25-Aug-94 | 252.09 | 0.81 | 1.24 | 250.85 |
| 26-Aug-94 | 252.04 | 0.74 | 1.19 | 250.85 |
| 27-Aug-94 | 251.97 | 0.6 | 1.12 | 250.85 |
| 28-Aug-94 | 251.93 | 0.6 | 1.08 | 250.85 |
| 29-Aug-94 | 251.95 | 0.52 | 1.1 | 250.85 |
| 30-Aug-94 | 252.26 | 0.92 | 1.41 | 250.85 |

รูปที่ 10 แสดงการเปลี่ยนเที่ยบกราฟ $d_{0.03}$